

نظرية الاتصالات

الرقمية الحديثة

للدكتور سعيد النوبى

الأستاذ بكلية الهندسة

جامعة الاسكندرية

مقدمة الكتاب

إن الهدف من هذا الكتاب هو عرض نظرية الاتصالات الرقمية الحديثة بطريقة مبسطة لتيسر فهمها للقارئ العربي من الطلبة و المهندسين و لتسهيل استذكارها واستيعابها لطلاب السنوات النهائية بكليات الهندسة في أقسام الهندسة الكهربائية والحاسب ، ويتميز بتلخيص مركز للمادة العلمية التي تم جمعها من عدة مراجع تشمل كتباً و أبحاثاً حديثة منشورة في دوريات علمية متخصصة ، و يزود القارئ بالمفاهيم الأساسية المطلوبة كخلفية علمية نظرية لازمة لفهم كيفية عمل نظم الاتصالات الرقمية الحديثة كشبكات الهواتف الرقمية ونظم الأقمار الصناعية و النظم الخليوية للهواتف المحمول والشبكات الرقمية للخدمات المتكاملة و شبكات اتصال الحاسبات و نظم الإذاعة و التلفزة الرقمية وضغط المعلومات و الإعلام المتعدد و الاتصالات الحرية وغيرها.

يحتاج القارئ إلى خلفية جيدة في حساب المثلثات و نظرية الاحتمالات ومعرفة سابقة بالتحليل الطيفي للإشارات (سلسلة فورير وتحويل فورير) وتحليل الإشارات والنظم الخطية و التعاريف الأساسية في التضمين التشاهي .
نسأل الله أن يجعل هذا العمل علماً ينتفع به.

المؤلف

أ.د. سعيد محمد النوبى

أستاذ بكلية الهندسة جامعة الاسكندرية

المؤلف

الدكتور سعيد النوبى حاصل علي بكالوريوس الهندسة الكهربائية من جامعة
الأسكندرية سنة ١٩٧٤ بتقدير ممتاز مع مرتبة الشرف (الأول على القسم) وعين
معيدا بالكلية ثم حصل على الماجستير من جامعة الأسكندرية عام ١٩٧٧ وحصل
على الدكتوراه من جامعة سوثرن ميثوديست الأمريكية عام ١٩٨٠.
يعمل أستاذا بكلية الهندسة جامعة الاسكندرية منذ عام ١٩٩٤ كما عمل
بالولايات المتحدة أستاذ مساعد في جامعة ايلينوى بشيكاغو من ١٩٨١ الى
١٩٨٧ وأستاذ زائر في جامعة ويتشيتا ستيت بولاية كانساس عام ١٩٨٩/١٩٩٠
و عضو في الهيئة التقنية بمركز تطوير نظم الطيران المتقدمة بشركة ميترو بواشنطن
المستشار للإدارة الفيدرالية للطيران بالولايات المتحدة من ١٩٩٠ الى ١٩٩٤.
له عشرون بحثا منشورة في مجلات عالمية محكمة متخصصة و عشرات من الأبحاث
منشورة في أكثر من خمسة وعشرين مؤتمرا عالميا بأمريكا و كندا في مجال
الاتصالات اللاسلكية وكتاب بعنوان "نظم الاتصالات اللاسلكية الخلوية
للمتنقلات" واختارته مجلات عالمية متخصصة كمحكم للأبحاث التي تنشر فيها مثل
IEEE transactions on vehicular technology, IEEE transactions on
communications, IEEE transactions on wireless communications, IEE
proceedings
حصل على جائزة الدولة التشجيعية للعلوم الهندسية وجائزة المهندس صلاح عامر
للالكترونيات عام ١٩٨٩ واعتبرته الهيئة العامة للاستعلامات من الشخصيات
المصرية البارزة في موسوعة الشخصيات المصرية البارزة كما منحه الرئيس حسنى
مبارك نوط الامتياز من الطبقة الأولى عام ١٩٩٥.
واختارته مؤسسة Marquis Who is who in the world بنشر نبذة عن تاريخه
العلمي عام ٢٠٠٢ وكذلك International Biographical Center (IBC), Cambridge

محتويات الكتاب

1	الباب الأول: مقدمة
1	1.1 عناصر الاتصالات
4	2.1 مكونات الكتاب
5	الباب الثاني: توليد الإشارات الرقمية
5	1.2 نظرية أخذ العينات
10	2.2 التضمين بتشفير النبضات
19	3.2 التضمين التفاضلي
22	4.2 التضمين التفاضلي الموائم
23	5.2 التضمين بتشفير تفاضل النبضات
25	الباب الثالث: تمثيل الإشارات الرقمية الأساسية
27	1.3 أشهر الطرق للتشفير الثنائي للخط
29	2.3 الخواص المفضلة لتشفير الخط
33	3.3 طيف القدرة للتضمين بسعة النبضات
36	1.3.3 الإشارة أحادية القطبية.
38	2.3.3 الإشارة القطبية
39	3.3.3 الإشارة ثنائية القطبية
41	4.3.3 إشارة الطور المفصوم
42	5.3.3 الإشارة ثنائية القطبية عالية الكثافة
43	4.3 التشفير التفاضلي
44	4.4 التضمن بالسعة المتعددة للنبضات

49	7.3 تشكيل النبضات و التداخل بين الرموز
51	1.7.3 المعيار الأول لنيكويس
55	2.4.3 المعيار الثاني لنيكويس
64	4.4.3 المعيار الثالث لنيكويس
67	الباب الرابع طرق التضمن الرقمي للموجة الحاملة
67	1.4 طرق التضمن الرقمي الثنائي
67	1.1.4 تبديل الفتح و القفل
70	2.1.4 تبديل ازاحة الطور الثنائي
72	3.1.4 تبديل ازاحة التردد الثنائي
76	4.1.4 تبديل ازاحة فرق الطور
79	2.4 طرق التضمن الرقمي المتعدد
80	1.2.4 تبديل الإزاحة للسعة المتعددة
80	2.2.4 تبديل الإزاحة للطور المتعدد
82	3.2.4 التضمن السعوى المتعامد
85	4.2.4 تبديل ازاحة الطور الرباعي
87	5.2.4 تبديل ازاحة الطور الرباعي المؤخرة
91	6.2.4 تبديل الازاحة الدنيا
99	7.2.4 تبديل ازاحة فرق الطور الرباعي
104	8.2.4 تبديل الازاحة الدنيا الجاوسية
113	الباب الخامس: أداء نظم الاتصالات الرقمية في وجود الضوضاء
113	1.5 المرشح الموائم

117	2.5 احتمال الخطأ للإشارات الثنائية في وجود الضوضاء الجاوسية
120	1.2.5 الإشارة أحادية القطبية
121	2.2.5 الإشارة القطبية
122	3.2.5 إشارة تبديل الفتح و القفل
122	4.2.5 إشارة تبديل إزاحة الطور الثنائي
123	5.2.5 إشارة تبديل إزاحة التردد الثنائي
125	6.2.5 إشارة تبديل إزاحة الطور الرباعي
125	7.2.5 إشارة تبديل الإزاحة الدنيا
125	8.2.5 إشارة التضمين السعوى المتعامد
129	9.2.5 إشارة تبديل الإزاحة للطور المتعدد
132	3.5 احتمال الخطأ للكشف الغير متماسك
132	1.3.5 إشارة تبديل الفتح و القفل
133	2.3.5 إشارة تبديل إزاحة التردد الثنائي
135	3.3.5 إشارة تبديل إزاحة فرق الطور
137	الباب السادس : نظرية المعلومات وتشفير المصدر
137	1.6 المصدر المتقطع عدم الذاكرة
137	2.6 الانتروبيا وقياس المعلومات
139	1.2.6 امتداد للمصدر المتقطع عدم الذاكرة
139	3.6 نظرية تشفير المصدر
140	1.3.6 نظرية شانون للتشفير
140	2.3.6 تشفير المقدمة

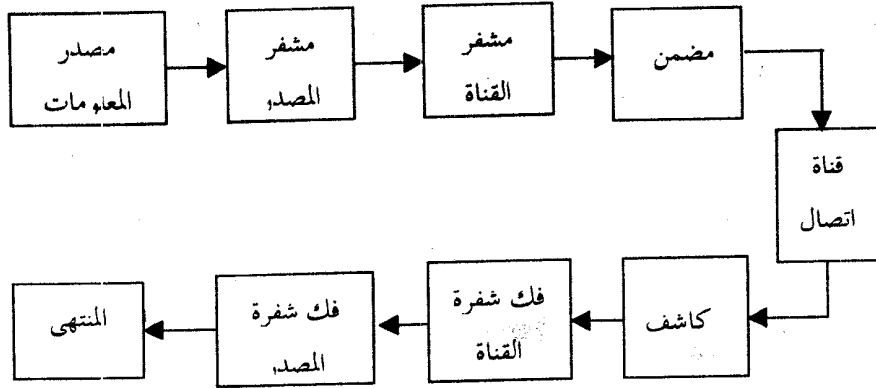
141	3.3.6 متباينة كرافت
143	4.3.6 تشفير هافمان
146	4.6 القناة المقطعة عديمة الذاكرة
148	1.4.6 القناة الثنائية المتماثلة
148	2.4.6 المعلومات المتبادلة
149	3.4.6 نظرية سعة المعلومات
151	5.6 مصدر ماركوف
159	2.5.6 تشفير خرج مصدر ماركوف
163	الباب السابع: شفرات التحكم في الأخطاء
163	1.7 شفرات التكافؤ
164	2.7 شفرات التكرار
165	3.7 شفرات المجموعات
171	المراجع
173	ترجمة المصطلحات

الباب الأول : مقدمة

يعرض هذا الكتاب نظرية الاتصالات الرقمية الحديثة التي تشمل المفاهيم الأساسية لتوليد الإشارات الرقمية في أجهزة الإرسال والتي تمثل معلومات مطلوب نقلها بدقة وكفاءة من مكان إلى آخر ثم كيفية استخراج هذه المعلومات من الإشارات التي تصل إلى أجهزة الاستقبال.

1.1 عناصر نظم الاتصالات الرقمية

يبين شكل (1.1) أهم عناصر نظم الاتصالات الرقمية.



شكل (1.1) أهم عناصر نظم الاتصالات الرقمية

إن الهدف الأساسي لنظام اتصالات رقمية هو نقل رسائل تتكون من متتابعة من الرموز من مصدر معلومات إلى المتلقي بمعدل مرتفع وبأكبر دقة ممكنة، وعادة تكون هناك مسافة فاصلة بين المصدر والمتلقي ولكن يربطهما قناة اتصال. تتسبب قناة الاتصال عادة في تشويه شكل الإشارة المرسل من جهاز الإرسال نتيجة لخواص القناة الغير مثالية والتي تضيف إشارة عشوائية تعرف بالضوضاء (noise) للإشارة المرسل وهذا يحد من معدل نقل المعلومات ويسبب أخطاء في كشفها عند

المنتهى. وعادة يستخدم احتمال الخطأ كمقياس لأداء نظم الاتصالات الرقمية وتصمم المشفرات والمضمنات والكواشف لتقليل هذا الاحتمال ولزيادة معدل نقل المعلومات.

1.1.1 مصدر المعلومات Information source

يمكن تقسيم مصادر المعلومات إلى نوعين حسب طبيعة الخرج و هما:
مصدر معلومات تشابهي analog و مصدر معلومات مقطعة discrete.
في النوع الأول مثل الميكروفون الذي يفعل بالصوت أو آلة التصوير التي تصور منظرا يصدر المصدر إشارة سعتها مستمرة مع الزمن، أما النوع الثاني مثل الآلة الكاتبة و الحاسب الآلي فيصدر المصدر متتابعة من الرموز المنفصلة أو الحروف ، ويمكن تحويل المعلومات التشابهي إلى متتابعة من الرموز المنفصلة بعدة طرق سوف تناقش بالتفصيل في الباب الثاني. وتعرف مصادر المعلومات الرقمية بالخواص الآتية:
رموز المصدر ومعدل الرموز و احتمالات الرموز واحتمالات الاعتماد البيني للرموز في متتابعة. فمثلا تصدر الآلة الكاتبة للحروف اللاتينية ستة وعشرين رمزا هي الحروف اللاتينية بحيث يعتمد معدل الرموز على معدل إصدار الحروف من الآلة كعشرة حروف في الثانية مثلا ، أما احتمالات الرموز الصادرة ففي اللغة الإنكليزية تتردد بعض الحروف أكثر من الأخرى فمثلا تتردد الحرف e أكبر من تتردد الحرف q ، وفي الغالب يأتي الحرف u بعد الحرف q .

2.1.1 مشفر المصدر source encoder

يحول مشفر المصدر متتابعة من الرموز بمعدل R_s رمز في الثانية إلى متتابعة من الرموز الثنائية واحد وصفر بمعدل R رمز ثنائي في الثانية ، وأبسط طرق التشفير هو تعيين كلمة شفرة تتكون من عدد ثابت من الرموز الثنائية لكل رمز يدخل

المشفر فمثلا يمكن تمثيل أى حرف من الحروف اللاتينية بخمسة رموز ثنائية كما في الشفرة الأمريكية العيارية لتبادل المعلومات (ASCII)، ورغم بساطة هذه الشفرة إلا أن كفاءتها جيدة فقط في حالة حدوث الرموز الأصلية باحتمالات متساوية مستقلة احصائيا في المتابعة التي تمثل المعلومات و هناك طرق تشفير أكثر كفاءة ولكن أكثر تعقيدا.

3.1.1 جهاز فك شفرة المصدر source decoder

يقوم بعملية التحويل العكسي في جهاز الاستقبال فيحول مجموعات الرموز الثنائية إلى متتابعة من الرموز تكون المعلومات المطلوب وصولها ويكون جهاز فك الشفرة بسيطا في حالة الشفرة الثابتة الطول ومعقدا في حالة الشفرة المتغيرة الطول.

4.1.1 مشفر القناة channel coder/ decoder

إن الهدف من استخدام مشفر القناة هو تقليل احتمال الخطأ عند كشف الرموز الثنائية في جهاز الاستقبال وذلك بإضافة رموز ثنائية بطريقة معينة تمكن جهاز فك الشفرة في جهاز الاستقبال من تصحيح بعض الأخطاء.

5.1.1 المضمن modulator

يقبل المضمن سيلا من الرموز الثنائية ويحولها إلى إشارة كهربية مناسبة للانتقال عبر قناة الاتصال.

6.1.1 الكاشف demodulator

ينفذ الكاشف عملية عكسية لعملية التضمين لاستخراج الرموز الثنائية من الإشارة الكهربية وقد توجد أكثر من طريقة كشف لطريقة تضمين معينة ويشرح هذا الكتاب طرق تمثيل الإشارات الرقمية وطرق التضمين والكشف وأيضا استنتاج احتمال الخطأ لطرق الكشف المختلفة.

2.1 مكونات الكتاب

بعد هذه المقدمة في الباب الأول يناقش الباب الثاني توليد المعلومات الرقمية من المعلومات التشاهمية ويعتمد هذا على نظرية هامة جدا هي نظرية أخذ العينات التي تقدم أولا ثم تناقش طريقة التضمين بتشفير النبضات وطريقة التضمين التفاضلي وكيفية تحسينهما بتشفير تفاضل النبضات والتضمين التفاضلي الموالم.

يناقش الباب الثالث تمثيل الإشارات الرقمية الأساسية فيشرح أشهر الطرق للتشفير الثنائي للخط والخواص المفضلة لتشفير الخط، ويشترك طيف القدرة للتضمين بسعة النبضات كما يناقش التضمين بالسعة المتعددة للنبضات ثم يناقش كيفية تشكيل النبضات لتجنب التداخل بين الرموز باستخدام معايير نيكويست الثلاثة

يناقش الباب الرابع طرق التضمين الرقمية للموجة الحاملة بدءا من طرق التضمين الرقمية الثنائي كتبديل الفتح و القفل وتبديل إزاحة الطور الثنائي و تبديل إزاحة الطور الثنائي وتبديل إزاحة فرق الطور، ويلى ذلك شرح طرق التضمين الرقمية المتعدد بأنواعه وانتهاءا بتبديل الإزاحة الدنيا الجاوسية و الإشارات مستمرة الطور جزئية الاستجابة التي تعتبر من أهم الإشارات المستخدمة في نظم الاتصالات الحديثة. توصف الإشارة في مجال الزمن و في مجال التردد كما يوصف المضمن والكاشف لكل إشارة.

يناقش الباب الخامس أداء نظم الاتصالات الرقمية في وجود الضوضاء بدءا بمفهوم المرشح الموائم ثم يشتق احتمال الخطأ لبعض الإشارات السابق وصفها في وجود الضوضاء الجاوسية باستخدام الكشف الأمثل و طرق كشف أخرى.

الباب الثاني : توليد الإشارات الرقمية

1.2 نظرية أخذ العينات Sampling Theorem

يمكن تمثيل أى إشارة كهربية ذات نطاق تردد bandwidth محدود B بعينات تؤخذ على فترات زمنية منتظمة بحيث يكون طول الفترة أقل من $1/2B$ أى أن معدل أخذ العينات يكون على الأقل $2B$ عينة فى الثانية ، ويمكن إثبات هذه النظرية كما يلى

بفرض أن الإشارة $g(t)$ لها نطاق تردد محدود B يمكن تمثيل عيناتها $g_s(t)$ بالمعادلة

$$\begin{aligned} g_s(t) &= g(t) \sum_{n=-\infty}^{\infty} \delta(t - nT_s) \\ &= \sum_{n=-\infty}^{\infty} g(nT_s) \delta(t - nT_s) \end{aligned} \quad (1.2)$$

حيث T_s هى طول الفترة الزمنية بين العينات و $\delta(t)$ هى دالة دلتا أو دالة النبضة الحادة التى تتميز بالخاصية التالية

$$\delta(t-t_0)g(t) = \delta(t-t_0)g(t_0)$$

و يلاحظ أن الطرف الأيمن للمعادلة (1.2) هو حاصل ضرب الإشارة $g(t)$ فى قطار

النبضات الحادة $\sum_{n=-\infty}^{\infty} \delta(t - nT_s)$ و نظرا لأن هذا القطار هو دالة دورية يمكن

تمثيله بسلسلة فوريير كما يلى

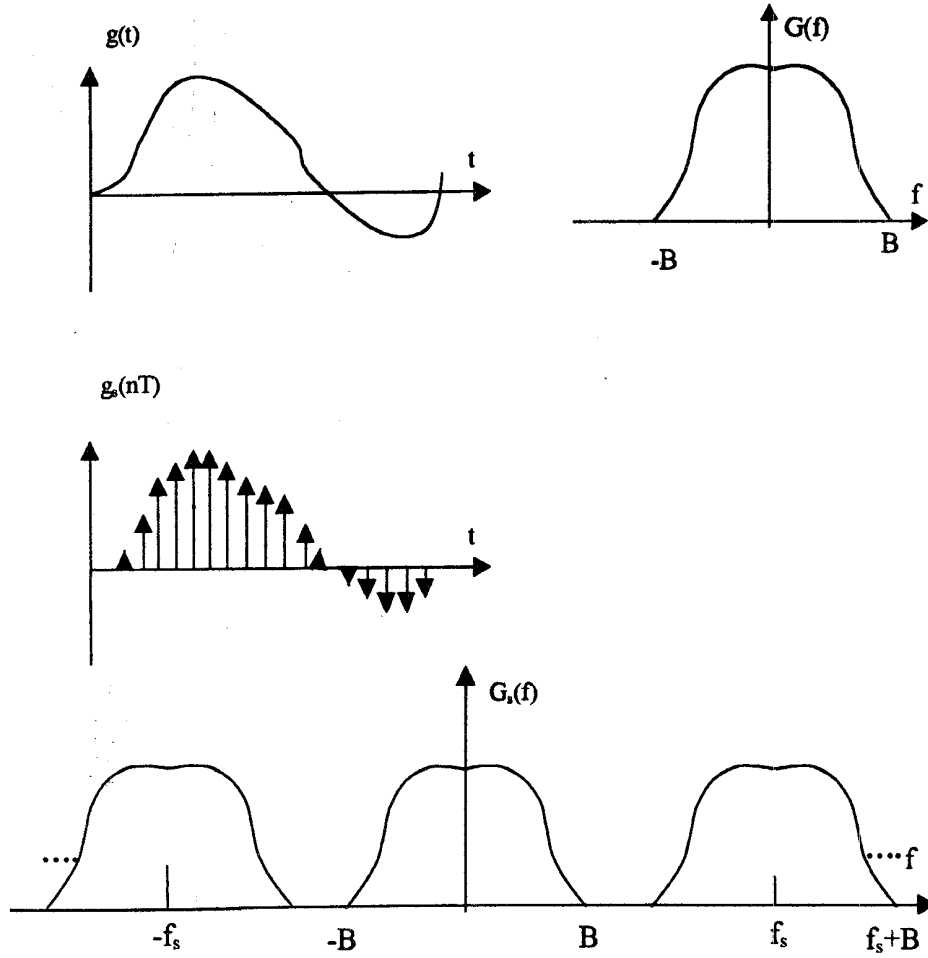
$$g_s(t) = g(t) \sum_{n=-\infty}^{\infty} \frac{1}{T_s} \exp\{j2\pi n f_s t\}$$

حيث $f_s = 1/T_s$ هو معدل أخذ العينات ويسمى هذا بالأخذ المثالى للعينات ideal sampling

و بأخذ تحويل فوريير للمعادلة السابقة

$$G_s(f) = \frac{1}{T_s} \sum_{n=-\infty}^{\infty} G(f - nf_s)$$

و يبين شكل (1.2) الإشارة $g(t)$ في الزمن وطيفها $G(f)$ مع التردد وكذلك إشارة العينات $g_s(t)$ في الزمن و طيفها $G_s(f)$ مع التردد.



شكل (1.2) طيف إشارة العينات كتكرار لطيف الإشارة الأصلية

يتضح من هذا الشكل أن الطيف $G_s(f)$ يتكون من تكرار الطيف $G(f)$ كل f_s وبذلك لا يحدث انطواء بين مركبتين متجاورتين في $G_s(f)$ إذا تحقق الشرط

$$f_s \geq 2B$$

(لاحظ أن الحافة اليمنى للمركبة المركزة عند الصفر هي B بينما الحافة اليسرى للمركبة التي على يمينها هي $f_s - B$ ولذلك فشرط عدم الانطواء

$$f_s - B \geq B \text{ أو } f_s \geq 2B$$

وعند تحقق هذا الشرط يمكن استخلاص الإشارة $G(f)$ من $G_s(f)$ بواسطة مرشح امرار الترددات المنخفضة (LPF) بحيث يكون عرض نطاق التردد B_f لهذا المرشح مستوفيا للشرط

$$B \leq B_f \leq f_s - B$$

بفرض أن نطاق التردد لهذا المرشح هو B و دالة استجابته الترددية مستطيلة

$$H(f) = T_s \text{rect}(f/2B)$$

تكون استجابته الزمنية للنبضة الحادة $\delta(t)$ هي

$$h(t) = (2BT_s) \text{sinc}(2Bt)$$

وتكون استجابته للإشارة $g_s(t)$ هي

$$g(t) = \sum_{n=-\infty}^{\infty} g(nT_s) \cdot 2T_s B \text{sinc}(2B(t - nT_s))$$

أى أن الإشارة $g(t)$ أمكن تكوينها من مركبات كل منها دالة "سينكية" مركزة

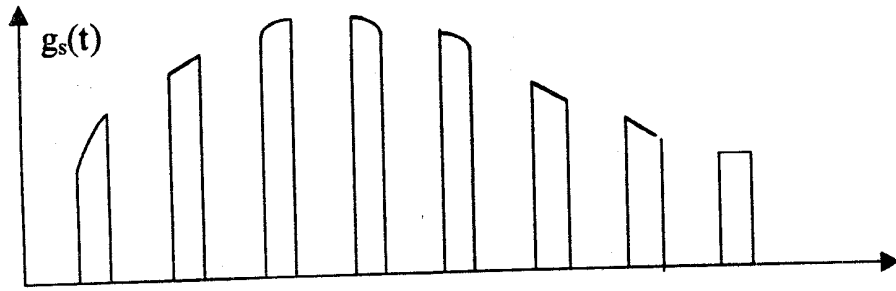
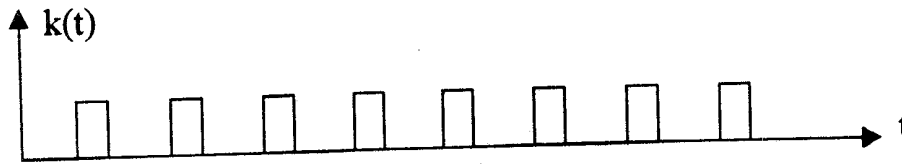
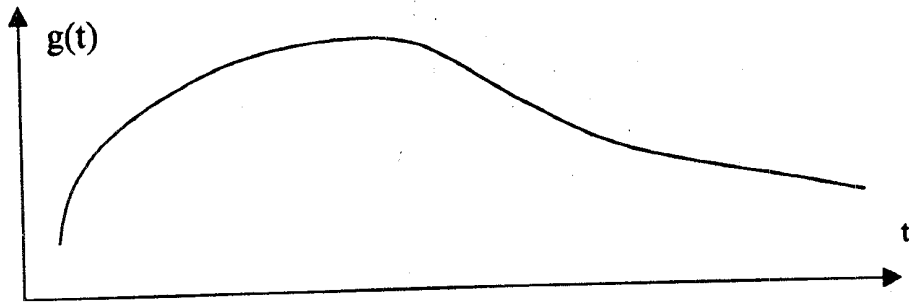
عند nT_s ووزنها $g(nT_s)$ ويلاحظ أن الإشارة $g(t)$ أمكن تكوينها بدون أى

تشويه في هذه الحالة، أما إذا لم يتحقق الشرط $f_s \geq 2B$ فيحدث تشويه في الإشارة

المستخرجة من العينات لأن مركبات طيف الإشارة $G_s(f)$ تنطوى على بعضها

فتضاف لتعطى صورة مشوهة للطيف $G_s(f)$ بعد ترشيحه

يلاحظ أن الإشارة ذات نطاق التردد المحدود فكرة نظرية لأن أى إشارة محدودة في الزمن لا يمكن أن يكون نطاق ترددها محدودا، لذا يؤخذ B كبيرا بدرجة تكفى لتقليل التشويه إلى الدرجة المرادة بعد ترشيح إشارة العينات. أيضا قطار النبضات الحادة المستخدم في الأخذ المثلث للعينات هو فكرة رياضية و لكن عمليا يمكن استخدام قطار نبضات مستطيلة كما يبين شكل (2.2).



شكل (2.2) أخذ عينات بالضرب في قطار نبضات مستطيلة t

يمكن تمثيل قطار النبضات $k(t)$ بالمعادلة

$$k(t) = \sum_{n=-\infty}^{\infty} \text{rect}\left(\frac{t - nT_s}{\tau}\right)$$

وبذلك تكون إشارة العينات المأخوذة عمليا هي

$$g_s(t) = g(t)k(t)$$

و يوضح شكل (2.2) كيفية توليد هذه الإشارة و شكلها مع الزمن و تسمى أيضا

بإشارة التضمين بسعة النبضات pulse amplitude modulation أو باختصار

.PAM

ونظرا لأن الإشارة $k(t)$ هي أيضا دالة دورية في الزمن فيمكن تمثيلها بواسطة

سلسلة فوريير لتصبح المعادلة الأخيرة

$$g_s(t) = g(t) \sum_{n=-\infty}^{\infty} k_n \exp(j2\pi n f_s t)$$

حيث k_n هو معامل سلسلة فوريير.

وبأخذ تحويل فوريير للطرفين نحصل على طيف إشارة PAM

$$G_s(f) = \sum_{n=-\infty}^{\infty} k_n G(f - n f_s)$$

أى أن طيف هذه الإشارة يتكون من تكرار الطيف $G(f)$ مع ضربه في المعامل k_n

، و يمكن أيضا استخراج $G(f)$ منه بدون تشويه بواسطة الترشيح مع تحقيق نفس

الشرط $f_s \geq 2B$. أى أن الإشارة الأصلية يمكن استخلاصها من العينات بواسطة

امرارها في مرشح امرار الترددات المنخفضة.

مثال : أوجد نطاق التردد B الذى يحتوى على 99% من طاقة الإشارة

$$g(t) = \frac{2a}{t^2 + a^2}$$

بأخذ تحويل فوريير لهذه الإشارة

$$G(f) = 2\pi \exp\{-2\pi a |f|\}$$

وبذلك تكون الكثافة الطيفية للطاقة

$$\Psi_g(f) = 4\pi^2 \exp\{-4\pi a |f|\}$$

$$\therefore \int_{-B}^B \Psi_g(f) df = 0.99 \int_{-\infty}^{\infty} \Psi_g(f) df$$

$$B = \frac{1}{4\pi a} \ln 100 \quad \text{و بالتعويض والاختصار نجد أن}$$

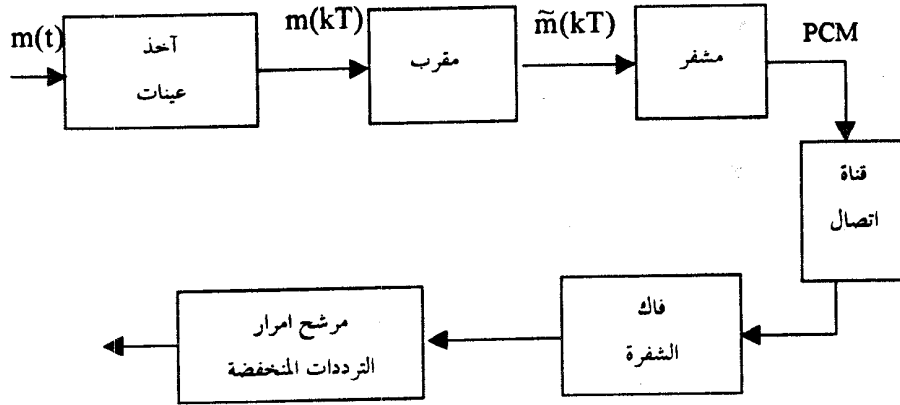
2.2 التضمين بتشفير النبضات Pulse Code Modulation

أو باختصار PCM و يعتبر أهم طرق تحويل الإشارة من التشاهية إلى الرقمية ويتميز بما يلي:

١. يمكن استخدام دوائر رخيصة الثمن لتنفيذه.
 ٢. الإشارات الناتجة عنه من جميع أنواع المصادر التشاهية يمكن دمجها مع البيانات الرقمية ونقلها على نظام مشترك على السرعة باستخدام التعددية بتقسيم الزمن time division multiplexing
 ٣. في النظم الهاتفية للمسافات الطويلة التي تحتاج إلى محطات تقوية يمكن توليد إشارة نظيفة خالية من الضوضاء في هذه المحطات من إشارة مشوهة بالضوضاء.
 ٤. أداء النظم الرقمية أفضل من أداء النظم التشاهية في وجود الضوضاء.
- ولكن يعيب طريقة التضمين بتشفير النبضات احتياجها إلى ثلاث خطوات أساسية هي أخذ العينات وتقريبها ثم تشفيرها ونقلها عبر قناة الاتصال بينما يتكون المستقبل من فك التشفير والتنعيم. ممرشح امرار الترددات المنخفضة كما يوضح شكل (3.2).

يتم أخذ العينات بمعدل مناسب أي يساوي ضعف نطاق تردد (bandwidth) الإشارة التشاهية على الأقل وبذلك تتحول الإشارة التشاهية $m(t)$ من تشاهية

مستمرة مع الزمن إلى إشارة معرفة عند أزمنة محددة $m(kT)$ ثم يقسم مدى تغير سعة الإشارة إلى عدد محدود من المستويات ويقرب مقدار كل عينة إلى أقرب مستوى له كما يبين شكل (4.2) حيث تمثل العينات بالمربعات و تمثل الدوائر قيم العينات المقربة ، وبذلك يكون الفرق بين قيمتي مستويين متتاليين $\Delta = 2m_p/Q$ حيث $2m_p$ هو مدى تغير سعة الإشارة و $Q+1$ هو عدد المستويات.



شكل (3.2) عناصر نظام التضمين بتشفير النبضات

ويلاحظ أن الخطأ الناتج عن تقريب مقدار العينة سوف يتراوح من $-\Delta/2$ إلى $\Delta/2$ ولذلك يمكن تصغير مقدار الخطأ الأقصى باختيار عدد مناسب من مستويات التقريب ويلاحظ أن عملية التقريب ينتج عنها قيمة عشوائية n تضاف إلى مقدار العينة وتسمى ضوضاء التقريب.

$$\tilde{m}(kT) = m(kT) + n(kT)$$

ويمكن افتراض أن هذه القيمة تتوزع بانتظام في المدى $-\Delta/2$ إلى $\Delta/2$ + وبذلك يكون متوسطها صفراً أما متوسط مربعها فيعطى بالعلاقة

$$E\{n^2\} = \frac{1}{\Delta} \int_{-\Delta/2}^{\Delta/2} e^2 de = \frac{\Delta^2}{12}$$

وتعتبر القيمة الأخيرة هي قدرة ضوضاء التقريب وبفرض أن مقدار الإشارة موزع بانتظام في المدى (m_p و $-m_p$) ينتج أن قدرة الإشارة هي

$$E\{s^2\} = \frac{1}{Q\Delta} \int_{-Q\Delta/2}^{Q\Delta/2} s^2 ds = (Q\Delta)^2 / 12$$

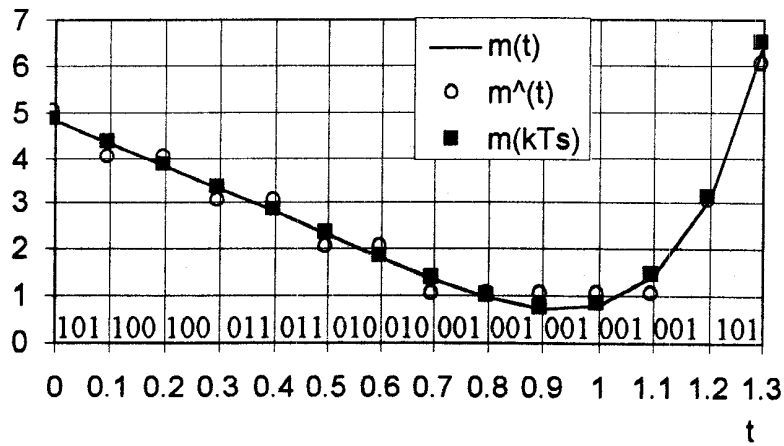
وتكون نسبة قدرة الإشارة إلى قدرة ضوضاء التقريب $Q^2 =$

تختار قيمة Q لإعطاء النسبة التي يتطلبها التطبيق.

في عملية التشفير تمثل كل عينة مقربة بعدد محدود k من الرموز الثنائية و بحيث تكون

$$Q + 1 = 2^k$$

حيث k عدد صحيح موجب ، فمثلا أخذت $k=3$ في شكل (4.2).

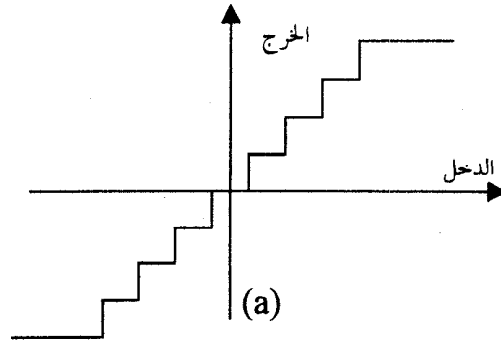
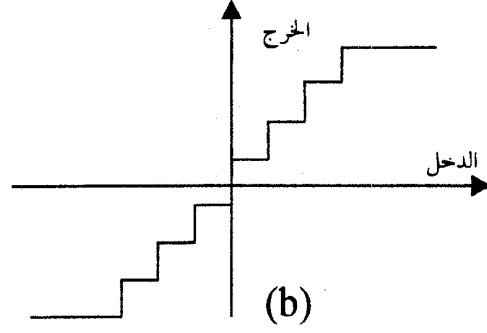


شكل (4.2) العينات الأصلية والعينات المقربة للإشارة $m(t)$

في أنظمة الهواتف القياسية تؤخذ $Q = 127$, $k = 7$ ، فيصير معدل أخذ العينات ثمانية آلاف عينة في الثانية وبذلك يكون معدل الرموز الثنائية ستة و خمسون ألف رمز في الثانية وتكون نسبة الإشارة إلى الضوضاء اثنان و أربعون ديسيبل. تنقل سلسلة الرموز الثنائية على التوالى في قناة الاتصال ، وعند وصولها إلى جهاز الاستقبال تقسم إلى مجموعات بحيث تحتوى كل مجموعة على k رمز ثنائي يمثلون عينة مقربة ، وفي عملية فك التشفير تستبدل كل مجموعة بمقدار يثبت لمدة T يمثل العينة المقربة وبذلك تتكون إشارة تقريبية للإشارة الأصلية ، ويمكن تنعيم هذه الإشارة بامرارها في مرشح لامرار الترددات المنخفضة LPF لتقترب أكثر من الإشارة الأصلية.

في عملية التقريب السابق شرحها فرض أن الفروق متساوية بين المستويات المتتالية وبذلك يمكن تمثيل العلاقة بين دخل وخرج عملية التقريب كما في شكل (5.2). في شكل (a) تمثل الإشارة الصفرية بالمستوى صفر بينما في شكل (b) تمثل أحيانا بمستوى موجب و أحيانا بمستوى سالب مما ينتج ضوضاء غير مرغوب فيها. ولذلك يفضل النوع الأول من التقريب في تطبيقات الصوت والصور المتحركة. وعموما طريقة التقريب المنتظم uniform quantization تعطى قدرة ثابتة لضوضاء التقريب سواء كانت الإشارة ضعيفة أو قوية ولذلك فالأفضل استخدام تقريب غير منتظم non-uniform quantization يغطى فروقا صغيرة بين المستويات إذا كانت الإشارة ضعيفة و فروقا أكبر للإشارات الأقوى و بذلك تكون نسبة الإشارة إلى ضوضاء التقريب ثابتة تقريبا مهما تغيرت شدة الإشارة . ومن أشهر طرق التقريب الغير منتظم تلك التى تستخدم دالة لوغاريتمية لضغط الإشارة ثم مقرب منتظم وفي جهاز الاستقبال تبسط الإشارة

لتعاد إلى قيمتها الأصلية قبل الضغط و تسمى عملية الضغط والبسط
companding فمثلا



شكل (5.2) الدالة التحويلية للمقرب

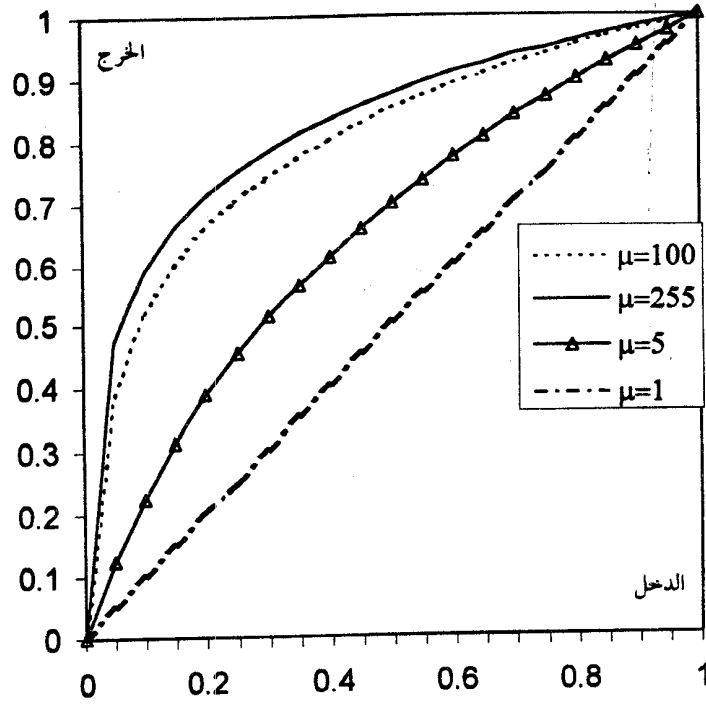
١. قانون μ المستخدم في نظم الهواتف الرقمية في أمريكا الشمالية و اليابان

والمعطى بالعلاقة الآتية بين الخرج y و الدخل x للضاغط

$$y = \frac{\text{sgn}(x)}{\ln(1 + \mu)} \ln\left(1 + \mu \left|\frac{x}{x_p}\right|\right), \quad \left|\frac{x}{x_p}\right| \leq 1$$

وبين شكل (7.2) هذه العلاقة لقيم مختلفة للمتغير μ

والقيمة القياسية لهذا المتغير هي 255,100 في أمريكا.



شكل (a.6.2) خواص قانون μ للضاغط

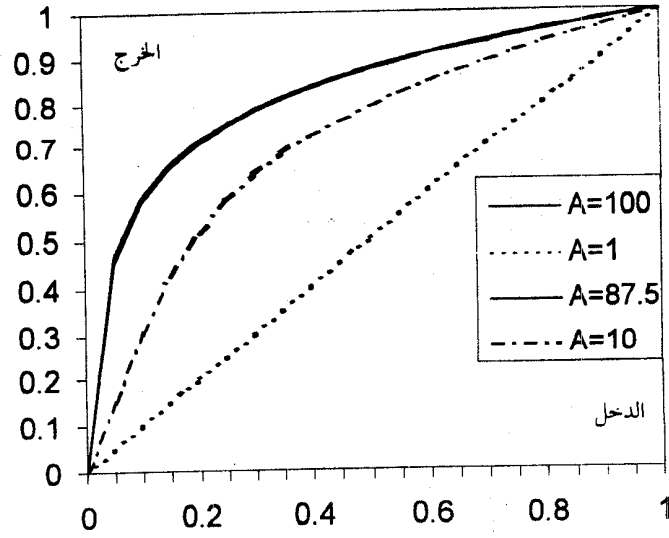
٢. قانون A المستخدم في الدول الأوروبية و أنحاء أخرى من العالم و المعطى بالعلاقة

$$y = \begin{cases} \frac{A}{1 + \ln A} \left(\frac{x}{x_p} \right) & \left| \frac{x}{x_p} \right| \leq \frac{1}{A} \\ \frac{\text{sgn}(x)}{a + \ln A} \left[1 + \ln A \left| \frac{x}{x_p} \right| \right] & \frac{1}{A} \leq \left| \frac{x}{x_p} \right| \leq 1 \end{cases}$$

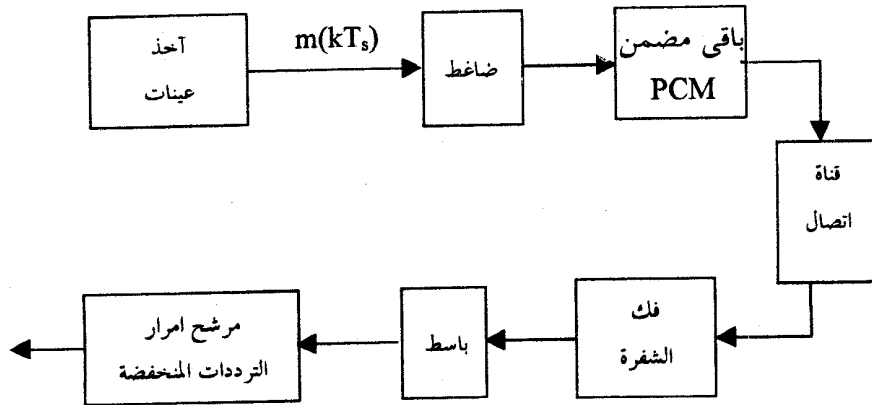
ويبين شكل هذه العلاقة لقيم مختلفة للمتغير A

وقيمة A التي توصى بها الهيئة الاستشارية الدولية للهواتف والبرق (CCITT) هي

$$A = 87.5$$



شكل (b.6.2) خواص قانون A للضاغط

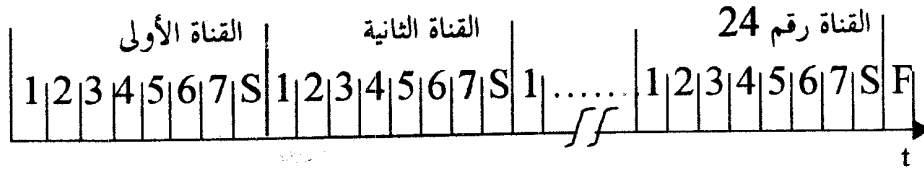


شكل 7.2 عناصر نظام اتصال التضمين بتشفير النبضات

في جهاز الإرسال تتكون إشارة PCM بأخذ العينات وضغطها ثم التقريب و التشفير كم سبق أما جهاز الاستقبال فيتكون من دائرة لفك الشفرة الرقمية الثنائية

وبسطها ثم تحويلها إلى إشارة لها مقدار مناظر لكل m رمز ثنائي يمثل عينة ، ثم تدخل هذه الإشارة في شكل نبضات لها مقادير مختلفة إلى مرشح امرار الترددات المنخفضة LPF لتنعيم شكل الإشارة وجعلها مشابهة للإشارة الأصلية السابق إرسالها. و يوضح شكل (7.2) هذه المراحل.

يلاحظ أن جهاز الإرسال يحتاج إلى معرفة بداية ونهاية كل كلمة ممثلة في k رمز ثنائي و يمكن تحديد ذلك باستخدام نبضات تزامن ، و كذلك يمكن إرسال عدة إشارات PCM على نفس الوسط بالتقسيم الزمني time division فمثلا يمكن إرسال الرموز الثنائية التي تمثل أربعة وعشرين إشارة صوت باستخدام التركيب البيني للكلمات word interleaving حيث ترتب الرموز الثنائية في إطارات يتكون كل إطار frame من 24 شريحة زمنية بحيث يرسل في كل شريحة 7 رموز ثنائية تمثل عينة من إشارة معينة بالإضافة إلى نبضة تزامن لتحديد نهاية الكلمة ثم يضاف في نهاية الإطار نبضة تزامن لتحديد نهاية الإطار ويبين شكل (8.2) تركيب الإطار



شكل (8.2) تركيب الإطار في نظام نقل T1

حيث يمثل الرقم ترتيب الرمز الثنائي في الكلمة و ترمز S لنبضة تزامن الكلمات و ترمز F لنبضة تزامن الإطار و بذلك يتكون الإطار الذي زمنه 125 ميكروثانية من $24(7+1)+1 = 193 \text{ bit}$

و بذلك يكون معدل النبضات الثنائية

$$193 \times 10^6 / 125 = 1.544 \text{ Mb/s}$$

و تسمى طريقة التعددية هذه بنظام T1.

مثال 1: في نظام PCM يجب ألا تزيد ضوضاء التقريب عن $\pm p\%$ من مدى تغير سعة الإشارة. أثبت أن عدد النبضات الثنائية k لكل كلمة (عينة) يجب أن يحقق الشرط

$$k \geq 3.32 \log_{10}(50/p)$$

الحل

بفرض أن مدى تغير سعة الإشارة هو $2m_p$ يكون عدد مستويات التقريب 2^k ويكون الفرق بين مستويين متتاليين Δ هو

$$\Delta = \frac{2m_p}{2^k}$$

وبما أن أقصى قيمة لضوضاء التقريب هي $\Delta/2$

$$\frac{\Delta}{2} = \frac{m_p}{2^k} \leq \frac{p}{100} 2m_p$$

$$\therefore 2^k \geq \frac{50}{p}$$

$$\therefore k \geq \log_2 \frac{50}{p} = 3.32 \log_{10} \frac{50}{p}$$

مثال 2: المطلوب نقل إشارة تشاهمية بنظام PCM بدقة $\pm 0.1\%$ من المدى الكامل للسعة، وتتراوح سعة الإشارة من $-10V$ إلى $+10V$ ويبلغ نطاق تردداتها 100 Hz

أ. احسب أقل معدل لأخذ عينات الإشارة.

ب. احسب عدد النبضات الثنائية لكل عينة

ج. احسب المعدل الأدنى لنقل النبضات الثنائية لإشارة PCM

د. احسب نطاق التردد المطلق الأدنى لنقل إشارة PCM

الحل

بتطبيق نظرية أخذ العينات يكون أقل معدل لأخذ عينات الإشارة هو

$$f_s = 2B = 2(100) = 200$$

ب. باستخدام نتيجة المثال السابق يكون عدد النبضات الثنائية لكل عينة هو

$$k \geq 3.32 \log_{10}(50/p) = 3.32 \log_{10}(50/0.1) = 8.56$$

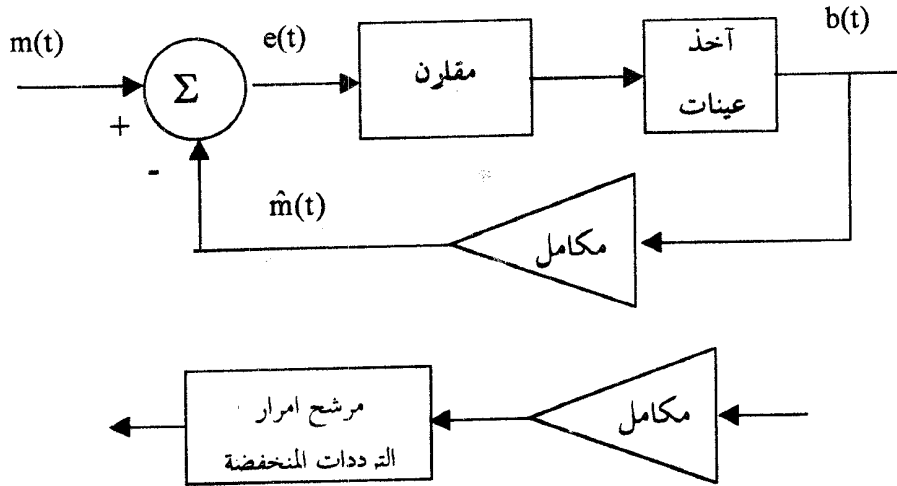
$$\therefore k = 9$$

جـ. المعدل الأدنى للنبضات الثنائية R هو

$$R = 9(200) = 1800 \text{ bps}$$

د. عرض نطاق التردد المطلق الأدنى هو R/2 لذلك يكون 900 Hz

3.2 التضمين التفاضلي (دلتا) Delta Modulation



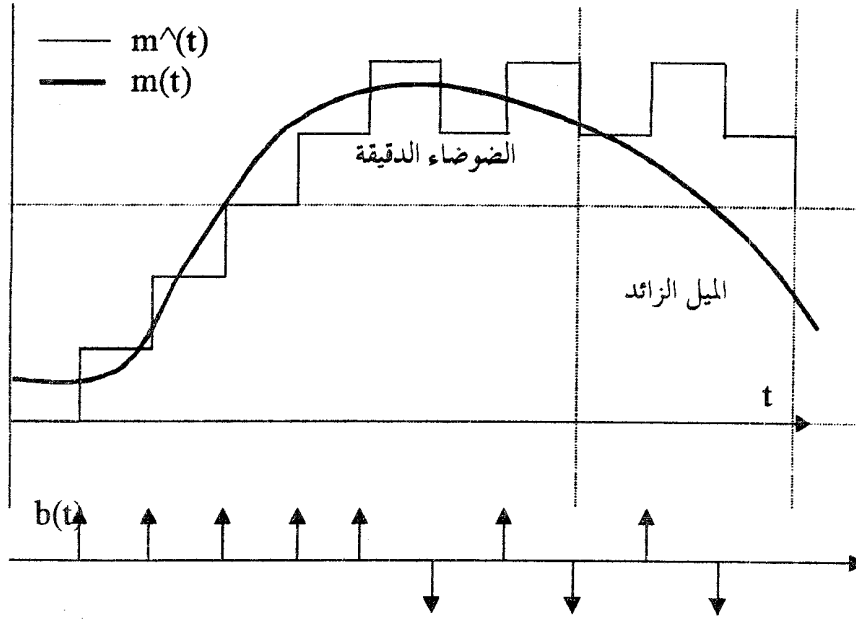
شكل (9.2) عناصر نظام اتصال تضمين دلتا

تعتبر طريقة بسيطة لتحويل الإشارات التشاهمية إلى أرقام ثنائية ويتكون المضمن كما في شكل (9.2) من دائرة مقارنة و أخذ للعينات التي ترسل لقناة الاتصال بالإضافة إلى دائرة تكامل في الطريق العكسي لتكوين الإشارة المستنتجة $\hat{m}(t)$

على شكل دالة سلمية تحاول الاقتراب من الإشارة الأصلية $m(t)$ ودائرة جمع تعطي الفرق بين الإشارتين

$$e(t) = m(t) - \hat{m}(t)$$

إذا كان الفرق موجبا تعطي دائرة المقارنة فرقا موجبا ثابت القيمة و إذا كان الفرق سالبا تعطي دائرة المقارنة فرقا سالبا ثابت القيمة ثم ترسل عينات منتظمة من الخرج تمثل إشارة الفرق $e(t)$ و يعمل تكامل للعينات تقترب الإشارة $\hat{m}(t)$ من $m(t)$ في هيئة درجات كما هو موضح في شكل (10.2).



شكل (10.2) إشارات تضمين دلتا

أما جهاز الاستقبال فيتكون من دائرة تكامل للحصول على $\hat{m}(t)$ ثم مرشح امرار الترددات المنخفضة لتنعيم $\hat{m}(t)$ و جعلها أقرب للشكل الأصلي $m(t)$.

بذلك تنتقل المعلومات في شكل عينات متتالية ثنائية المقدار تمثل إشارات الفروق لذلك يسمى تضمين دلّتا حيث الرمز دلّتا يرمز إلى الفرق.

يمتاز هذا النظام ببساطته ، ولكن يعيبه مشكلة الميل الزائد وقت تغير الإشارة $m(t)$ بمعدل أكبر من $\dot{m}(t)$ وكذلك مشكلة الضوضاء الدقيقة في حالة ثبوت الإشارة $m(t)$ وبين شكل (10.2) هاتين المشكلتين حيث تحدث المشكلة الأولى إذا كد

$$|\dot{m}(t)| > \Delta/T_s$$

حيث Δ هو ارتفاع العينة (الدرجة) و T_s هو الزمن بين عيتين متتاليتين و للتغلب على هاتين المشكلتين تستخدم طريقة التضمين التفاضلي الموائم.

مثال 3: إذا كانت الإشارة التشاهمية الداخلة إلى مضمن دلّتا هي

$$g(t) = \begin{cases} 7t & 0 < t < 0.5 \\ 3.5 & 0.5 < t < 1 \\ 17.5 - 14t & t > 1 \end{cases}$$

حيث t تقاس بالمللي ثانية

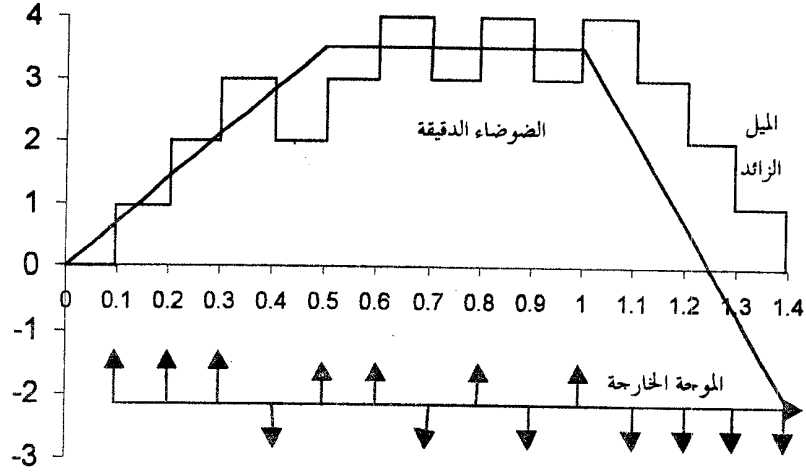
وبفرض أن ارتفاع الدرجة واحد فولط و أن آخذ العينات يعمل بمعدل عشرة آلاف عينة في الثانية، ارسم شكل الإشارة الداخلة في الفترة من 0 إلى 1.4 مللي ثانية وكذلك شكل الموجة الخارجة من مضمن دلّتا في حالة الاستقرار. أشر إلى مواضع حدوث الضوضاء الدقيقة و الميل الزائد.

الحل

أنظر الرسم في الصفحة التالية.

تمرين: إذا كانت الإشارة التشاهمية الداخلة إلى مضمن دلّتا هي $0.1t^8 - 5t + 2$ وبفرض أن ارتفاع الدرجة واحد فولط و أن آخذ العينات يعمل بمعدل عشرة عينات في الثانية، ارسم شكل الإشارة الداخلة في الفترة من 0 إلى 2 ثانية وكذلك

شكل الموجة الخارجة من مضمن دلتا في حالة الاستقرار. ارسم أيضا خرج الماكمل.



شكل (11.2) الحل لمثال 3.

4.2 التضمين التفاضلي المراتم Adaptive Delta Modulation

يؤخذ ارتفاع الدرجة متغيرا بحيث يكون متناسبا مع معدل التغير في الإشارة $|m(t)|$ وذلك بمقارنة عينتين متاليتين b_n, b_{n+1} فإذا اتفقتا في الإشارة يكون معدل تغير $m(t)$ كبيرا لذلك تصغر الدرجة أما إذا اختلفتا في الإشارة يكون معدل التغير صغيرا لذلك تكبر الدرجة Δ_{n+1}

$$\Delta_{n+1} = \Delta_n p^{b_n b_{n+1}}, \quad 1 < p < 2$$

يلاحظ أن التغير في الدرجة يتم بضرب مقدار الدرجة الحالية في الرقم p أو القسمة عليه لإعطاء مقدار الدرجة التالية لذلك يسمى هذا discrete adaptation التوائم المحدد ، ويمكن جعل هذا التغير أكثر نعومة بجعل التوائم مستمرا و ذلك بجعل

مقدار الدرجة متناسبا مع $| \dot{m}(t) |$ أو بذلك يسمى التضمين بتضمين دلتا مستمر الميل Continuous slope Delta Modulation .

5.2 التضمين بتشفير تفاضل النبضات

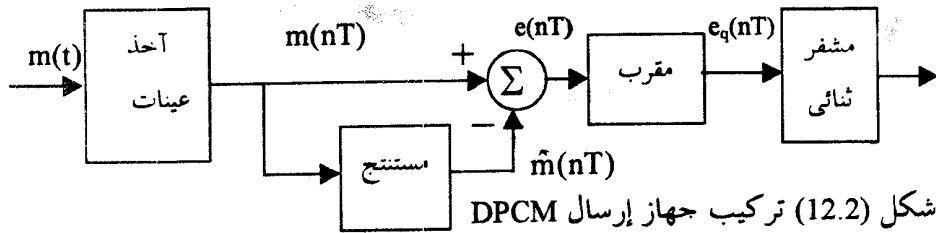
Differential Pulse Code Modulation

أو باختصار DPCM وتستغل هذه الطريقة القرب في المقدار بين العينات المتتالية لإشارة صوتية أو ضوئية في استنتاج (أو التنبؤ) بمقدار العينة التالية بناءا على معرفة العينات السابقة ، فمثلا المستنتج الخطي linear predictor (LP) يختزن العينات السابقة في ذاكرة ثم يركبها خطيا لتكون الخرج

$$\hat{m}(kT) = \sum_{i=1}^I a_i m((k-i)T)$$

حيث I عدد العينات السابقة المستخدمة في استنتاج الخرج ، a_i ثوابت تسمى بعوامل المستنتج الخطي LP coefficients .

بفرض أن $m(nT)$ هي عينة الإشارة في اللحظة $t = nT$ يكون النظام عينة مستنتجة $\hat{m}(nT)$ ثم تقارن بالعينة $m(nT)$ و بدلا من إرسال الفرق $e(nT)$ في صورة ثنائية تمثل قطبيته كما في تضمين دلتا ، يقرب الفرق إلى أقرب قيمة له من بين مستويات تقريب محدودة العدد ثم تشفر القيمة المقربة $e_q(nT)$ بعدة رموز ثنائية كما في PCM و ترسل إلى قناة الاتصال. يبين شكل (12.2) تركيب جهاز الإرسال.



من الشكل يتبين أن

$$e_q(nT) = e(nT) + q_e(nT)$$

حيث $q_e(nT)$ يمثل الخطأ في تقريب إشارة الفرق $e(nT)$ وحيث أن إشارة الفرق

$$e(nT) = m(nT) - \hat{m}(nT)$$

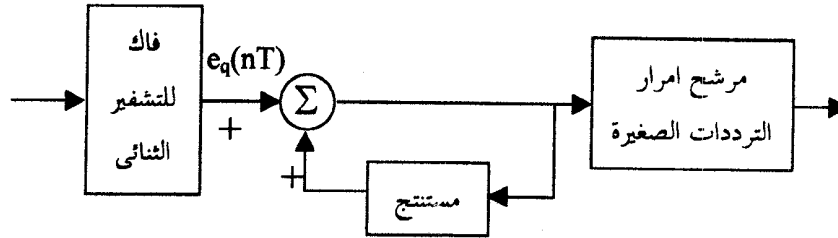
لذا

$$e_q(nT) = m(nT) - \hat{m}(nT) + q_e(nT)$$

وبفرض أن الرموز الثنائية انتقلت خلال قناة الاتصال بدون أى أخطاء ، تكون

الإشارة الخارجة بعد فك التشفير الثنائي في جهاز الاستقبال هي نفس $e_q(nT)$

المعطاة بالمعادلة الأخيرة ، ويبين شكل (13.2) عناصر جهاز الاستقبال.



شكل (13.2) عناصر جهاز استقبال DPCM

وبفرض أن العينات السابقة في خرج جهاز الاستقبال صحيحة فيما عدا ضوضاء

تقريب $\tilde{q}(nT)$ ، يكون خرج المستنتج $\hat{m}(nT) + \tilde{q}(nT)$

و بذلك يكون الخرج من دائرة الجمع في جهاز الاستقبال

$$m(nT) - \hat{m}(nT) + q_e(nT) + \hat{m}(nT) + \tilde{q}(nT) =$$

$$m(nT) + q_e(nT) + \tilde{q}(nT)$$

وهي نفس العينات التي شفر في جهاز الاستقبال فيما عدا ضوضاء التقريب

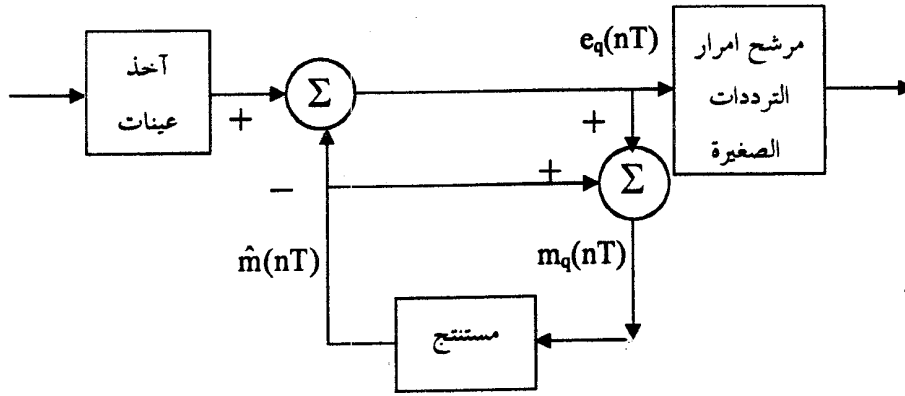
المتراكمة ، وباستخدام مرشح امرار الترددات الصغيرة يمكن تحويل العينات إلى

إشارة تشابهية تقترب من الإشارة الأصلية.

لمنع تراكم ضوضاء التقريب يمكن استخدام تركيبة أخرى لجهاز الإرسال كما يبين شكل (14.2) وفيه يتكون دخل المستنتج predictor من عينات مقربة $m_q(nT)$ مثل التي في جهاز الاستقبال

$$\begin{aligned} m_q(nT) &= \hat{m}(nT) + e_q(nT) \\ &= \hat{m}(nT) + e(nT) + q_e(nT) \\ &= m(nT) + q_e(nT) \end{aligned}$$

أي أن الإشارة $m_q(nT)$ هي تقريب للإشارة $m(nT)$ بدون تراكم ضوضاء التقريب، وبإدخالها إلى المستنتج (مرشح التنبؤ) تستنتج الإشارة $\hat{m}(nT)$. في جهاز الاستقبال المبين في شكل (13.2) تحول الرموز الثنائية في دائرة فك الشفرة إلى القيمة المقربة للفرق $e_q(nT)$ والتي تضاف إلى الإشارة المستنتجة $\hat{m}(nT)$ عن طريق المستنتج (مرشح التنبؤ) وبذلك يكون مجموعهما $m_q(nT)$ هو القيمة التقريبية للإشارة $m(nT)$ وباستخدام مرشح امرار الترددات الصغيرة يمكن تحويل العينات إلى إشارة تشاهية تقترب من الإشارة الأصلية.



الباب الثالث

تمثيل الإشارات الرقمية الأساسية

1.3 التشفير الثنائي للخط Binary Line Coding

هو طرق تمثيل سلسلة من الرموز الثنائية (واحد أو صفر) بإشارة كهربية ومن أشهر هذه الطرق

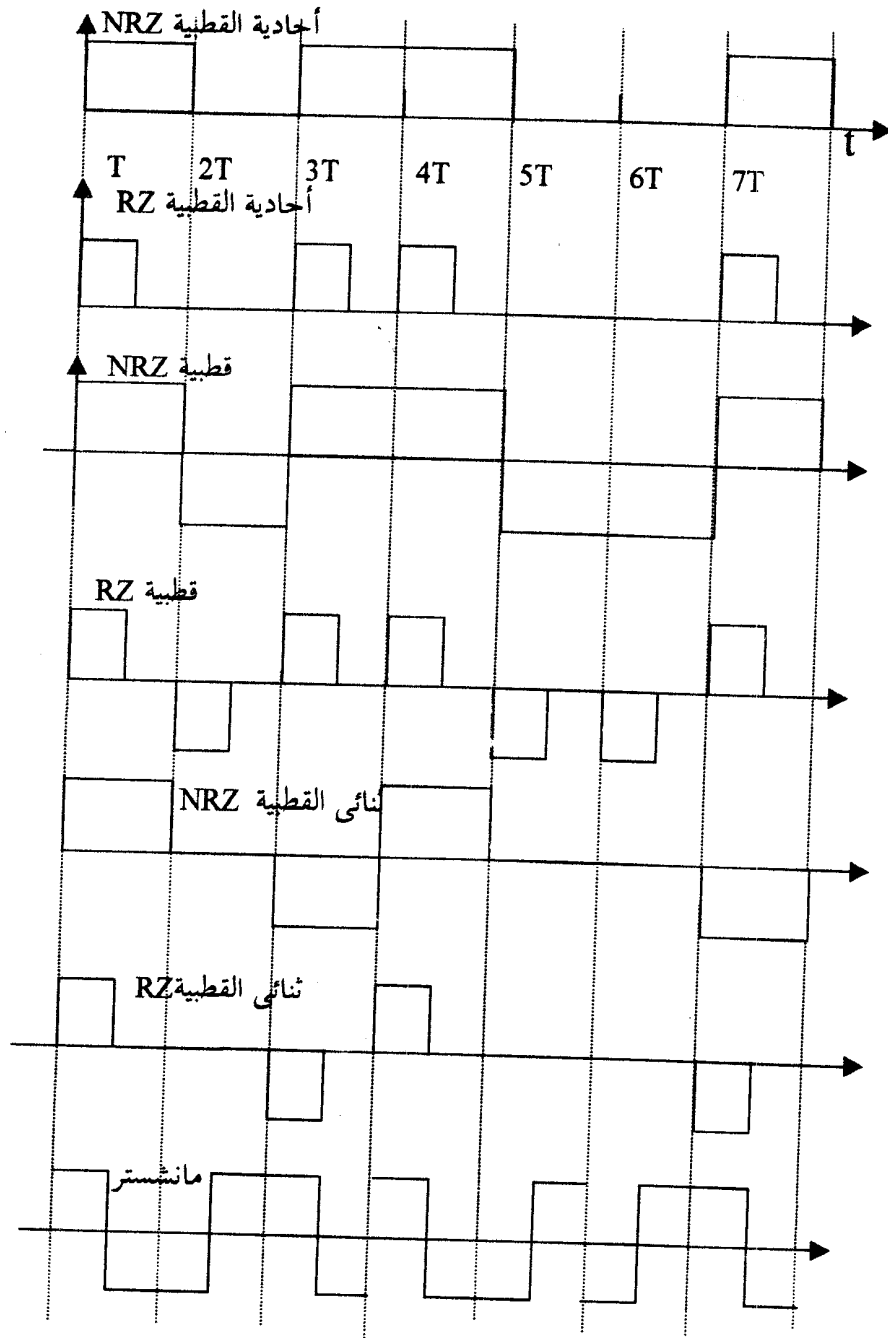
1.1.3 الإشارة أحادية القطبية Unipolar

وتسمى أيضا بإشارة الفتح والقفل حيث يمثل الرمز واحد نبضة مستطيلة الشكل بينما يمثل الرمز صفر بالمستوى صفر.

في حالة إذا كان عرض النبضة المستطيلة مساويا لكل الفترة الزمنية المخصصة لنقل رمز ثنائي T تسمى النبضة بالغير عائدة للصفر Non-return-to-zero أو باختصار NRZ حيث أن المستوى الموجب الممثل للرمز واحد لا يعود للمستوى صفر أثناء الفترة T. أما في حالة إذا كان عرض النبضة المستطيلة أقل من T تسمى النبضة بالعائدة إلى الصفر Return to zero أو باختصار RZ حيث أن المستوى الموجب الممثل للرمز واحد يعود إلى المستوى صفر بعد زمن τ أثناء الفترة (حيث $T > \tau$) وبين شكل (3.1) هاتين الحالتين للإشارة أحادية القطبية

2.1.3 الإشارة القطبية Polar

حيث يمثل الرمز واحد نبضة موجبة و يمثل الرمز صفر نبضة سالبة ويمكن تقسيم الإشارة القطبية إلى نوعين NRZ و RZ بناء على عرض النبضة حيث يكون في حالة NRZ مساويا للفترة الزمنية T وفي حالة RZ يكون أقل من T لذا يعود مستوى الإشارة من المستوى الموجب أو المستوى السالب إلى مستوى الصفر في حالة RZ. وبين شكل (3.1) هاتين الحالتين



3.1.3 الإشارة ثنائية القطبية Bipolar

حيث يمثل الرمز واحد بمستوى موجب أو سالب بالتبادل المتتالي أما الرمز صفر فيمثل بمستوى الصفر. أى أن الرمز واحد يمثل نبضة مستطيلة موجبة أو سالبة عكس إشارة النبضة التي تمثل الرمز السابق، ويكون عرض النبضة مساوياً للفترة الزمنية T لنوع NRZ أو أقل من هذه الفترة لنوع RZ .
وبين شكل (3.1) هاتين الحالتين للإشارة ثنائية القطبية

4.1.3 إشارة الطور المقصوم Split Phase أو مانشستر Manchester

حيث يمثل الرمز واحد بمستوى موجب في النصف الأول للفترة T و مستوى سالب في النصف الثاني أما الرمز صفر فيمثل الرمز واحد بمستوى سالب في النصف الأول و مستوى موجب في النصف الثاني للفترة T كما في شكل (3.1).
لكل نوع من أنواع تشفير الخط السابقة مزايا وعيوب ، لذلك يختار النوع المناسب للتطبيق حسب الحالة، وفيما يلي بعض الخواص المفضلة لتشفير الخط:

2.3 الخواص المفضلة لتشفير الخط

1. التزامن الذاتي self synchronization
إذا أمكن تصميم دوائر تزامن للرموز الثنائية تستخرج نبضات التزامن من شفرة الخط حتى في حالة إرسال سلسلة طويلة من رمز ثنائي معين كالصفر.
2. احتمال صغير للخطأ في الرمز الثنائي
إذا أمكن تصميم أجهزة استقبال تستخرج الرموز الثنائية من شفرة الخط بمعدل خطأ صغير عندما تشوه الإشارة بواسطة الضوضاء والتداخل.
3. طيف مناسب لقناة الاتصال

فمثلا إذا كانت قناة الاتصال تحتوى على دوائر قرن تمنع التيار المستمر يجب أن تكون شدة طيف الإشارة مهملة عند الترددات المنخفضة. أيضا يجب أن يكون نطاق التردد للإشارة صغيرا بالمقارنة بنطاق تردد القناة.

4. المقدرة على كشف الخطأ الذى يحدث أثناء عملية التراسل

5. الشفافية transparency وهى عدم حساسية شفرة الخط لسلسلة رموز معينة بمعنى أن أداء النظام ثابت لأى سلسلة رموز.

فيما يلي سنشتق طيف القدرة لبعض أنواع إشارات تشفير الخط و نناقش الخواص المفضلة فى كل منها.

مثال 1: اعتبر نموذج اختبار يتكون من 0, 1 بالتبادل . أوجد مقدار الطيف لكل نوع من أنواع تشفير الخط الآتية:

ا. إشارة أحادية القطبية من نوع NRZ

ب. إشارة أحادية القطبية من نوع RZ حيث عرض النبضة $3T/4$

جـ . كيف يتغير الطيف إذا تغير نموذج الاختبار إلى أربعة 0 بالتبادل مع أربعة 1 ؟

الحل

يلاحظ أن الموجة محددة ودورية و زمن دورتها $2T$ وبالتالي يمكن تمثيلها بسلسلة فوريير ثم أخذ تحويل فوريير للسلسلة لنحصل على

$$W(f) = \sum_{n=-\infty}^{\infty} C_n \delta(f - \frac{n}{2T})$$

حيث C_n هو معامل سلسلة فوريير و يشتق فيما يلي

$$C_n = \frac{1}{2T} \int_{-T}^T w(t) e^{-jn2\pi f t} dt = \frac{1}{2T} \int_{-\tau/2}^{\tau/2} e^{-jn2\pi f t} dt = \frac{\tau}{2T} \frac{\sin(\frac{n\pi\tau}{2T})}{(\frac{n\pi\tau}{2T})}$$

ا. في حالة NRZ يكون $\tau = T$ و يصير مقدار الطيف

$$|W(f)| = \sum_{n=-\infty}^{\infty} \frac{1}{2} \left| \frac{\sin(n\pi/2)}{n\pi/2} \right| \delta(f - \frac{n}{2T})$$

ب. في حالة RZ يكون $\tau = 3T/4$ و يصير مقدار الطيف

$$|W(f)| = \sum_{n=-\infty}^{\infty} \frac{3}{8} \left| \frac{\sin(3n\pi/8)}{3n\pi/8} \right| \delta(f - \frac{n}{2T})$$

جـ. أما في حالة نموذج اختبار مكون من أربعة أصفار بالتبادل مع أربعة آحاد يكون زمن الدورة $8T$ ويكون معامل سلسلة فوريير $C_n = f_0 H(nf_0)$ حيث $h(t)$ هي شكل الموجة الأساسية التي تتكرر كل $8T$ لتعطي الموجة الدورية $w(t)$. تتكون $h(t)$ في هذه الحالة من أربعة نبضات مستطيلة، لذا

$$H(f) = \frac{\tau \sin \pi f \tau}{\pi f \tau} \left[1 + e^{-j\omega T} + e^{-j2\omega T} + e^{-j3\omega T} \right]$$

$$C_n = \frac{\tau}{8T} \frac{\sin(n\pi\tau/8T)}{n\pi\tau/8T} \left[1 + e^{-jn\pi/4} + e^{-jn\pi/2} + e^{-j3n\pi/4} \right]$$

و يصير مقدار الطيف لحالة NRZ

$$|W(f)| = \sum_{n=-\infty}^{\infty} \frac{1}{8} \frac{\sin(n\pi/8)}{n\pi/8} \left[1 + e^{-jn\pi/4} + e^{-jn\pi/2} + e^{-j3n\pi/4} \right] \delta(f - \frac{n}{8T})$$

وفي حالة RZ يصير مقدار الطيف

$$|W(f)| = \sum_{n=-\infty}^{\infty} \frac{3}{32} \left| \frac{\sin(3n\pi/32)}{3n\pi/32} \right| \left[1 + e^{-jn\pi/4} + e^{-jn\pi/2} + e^{-j3n\pi/4} \right]$$

مثال 2: اعتبر نموذج اختبار يتكون من 0, 1 بالتبادل. أوجد الطيف لكل نوع من

أنواع تشفير الخط الآتية:

ا. إشارة قطبية

ب. إشارة مانشستر

ج. كيف يتغير الطيف إذا تغير نموذج الاختبار إلى أربعة آحاد بالتبادل مع صفرين؟

الحل

ا. كما في المثال السابق ماعدا أن المركبة عند تردد صفر تصير صفرا لأن متوسط

سعة الموجة صفر ، و بفرض أن القمة العظمى واحد تصير $W(f)$

$$|W(f)| = \sum_{n=-\infty, n \neq 0}^{\infty} \frac{1}{2} \left| \frac{\sin(n\pi/2)}{n\pi/2} \right| \delta(f - \frac{n}{2T})$$

ب. الموجة دورية وزمن دورتها $2T$ أما شكل الموجة الأساسي $h(t)$ فتكون من

مستطيل موجب في الفترة من $-T$ الى 0 و آخر سالب في الفترة من 0 إلى T .

لذلك تحويل فوريير لها

$$\begin{aligned} H(f) &= T \sin c(fT) [e^{j\pi fT} - e^{-j\pi fT}] \\ &= j2T \sin c(fT) \sin(\pi fT) \end{aligned}$$

و يصير معامل سلسلة فوريير

$$C_n = f_0 H(nf_0) = j \frac{\sin(n\pi/2)}{n\pi/2} \sin(n\pi/2)$$

$$|W(f)| = \sum_{n=-\infty}^{\infty} \left| \frac{1}{n\pi} \right| \sin^2(n\pi/2) \delta(f - \frac{n}{2T})$$

ج. إذا تغير نموذج الاختبار إلى أربعة آحاد بالتبادل مع صفرين تكون الموجة دورية

زمنها الدوري $6T$ وتمثل دورة واحدة منها بالإشارة الأساسية الآتية في حال

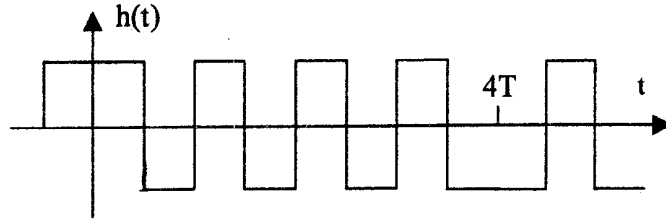
الإشارة القطبية

$$\begin{aligned} h(t) &= \text{rect}(t/4T) \\ H(f) &= 4T \text{sinc}(4fT) \end{aligned}$$

$$C_n = \frac{4}{6} \sin c\left(\frac{4}{6n}\right)$$

$$|W(f)| = \frac{2}{3} \delta(f) + \sum_{n=-\infty, n \neq 0}^{\infty} \frac{2}{3} \left| \sin c\left(\frac{2}{3}n\right) \right| \delta\left(f - \frac{n}{6T}\right)$$

أما في حال إشارة مانشستر تكون الإشارة الأساسية كما بالشكل التالي.



$$H(f) = T \sin c(fT) [1 - e^{-j\omega 4T}] + \frac{T}{2} [-e^{-j\omega 3T/4} + e^{-j\omega 5T/4} - e^{-j\omega 7T/4} + e^{-j\omega 9T/4} - e^{-j\omega 11T/4} + e^{-j\omega 13T/4} + e^{-j\omega 15T/4} - e^{-j\omega 17T/4} - e^{-j\omega 19T/4} + e^{-j\omega 21T/4}]$$

$$|W(f)| = \sum_n \frac{1}{6T} |H\left(\frac{n}{6T}\right)| \delta\left(f - \frac{n}{6T}\right)$$

في الأمثلة السابقة أوجدنا الطيف بأخذ تحويل فوريير لأن الإشارات معرفة أما في

حالة الإشارات العشوائية فنحتاج إلى إيجاد الدالة التكرارية الذاتية

autocorrelation function للإشارة أولاً و فيما يلي تفصيل لذلك.

3.3 طيف القدرة للضمين بسعة النبضات Power spectrum of PAM

اعتبر قطارا من النبضات المستطيلة $y(t)$ حيث عرض النبضة ϵ و ارتفاعها a_k/ϵ يتضمن سعة الإشارة.

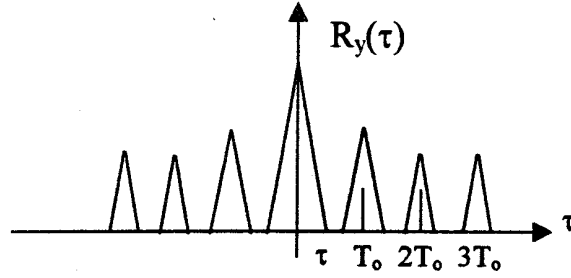
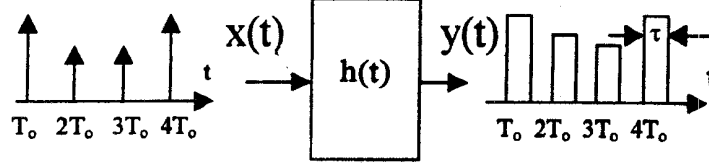
$$y(t) = \sum_{k=-\infty}^{\infty} a_k p(t - kT_o)$$

يمكن اعتبار هذا القطار الاستجابة الزمنية لمرشح خطي دخله قطار من النبضات

الحادة $x(t)$

$$x(t) = \sum_{k=-\infty}^{\infty} a_k \delta(t - kT_o)$$

حيث أن استجابة المرشح لنبضة حادة هي $h(t) = p(t)$ وله نفس شكل النبضة المستخدمة في التضمين بسعة النبضات. في البداية سنفرض أن النبضة مستطيلة و عرضها ϵ و ارتفاعها $1/\epsilon$.



شكل (2.3) الدالة التكرارية الذاتية لقطار النبضات

تعرف الدالة التكرارية الذاتية autocorrelation function للإشارة $y(t)$ بالمعادلة

$$R_y(t) = \lim_{T \rightarrow \infty} \frac{1}{T} \int_{-T/2}^{T/2} y(t)y(t+\tau)dt$$

يلاحظ أن شكل هذه الدالة مثلث في المدى $|\tau| \leq \epsilon$ يعرف بالمعادلة

$$R_y(\tau) = \lim_{T \rightarrow \infty} \frac{1}{T} \sum_k \frac{a_k^2}{\epsilon^2} (\epsilon - |\tau|) = \frac{R_0}{\epsilon T} \left(1 - \frac{|\tau|}{\epsilon}\right)$$

$$R_0 = \lim_{T \rightarrow \infty} \frac{T_0}{T} \sum_k a_k^2 \quad \text{حيث}$$

أما في المدى $-T_0 < \tau < T_0$ فتكون قيمة الدالة صفرا ، وبتزايد الإزاحة τ يحدث انطواء بين النبضة رقم k و النبضة رقم $k+1$ و يتكون مثلث ثاني مركز عند $\tau = T_0$ ارتفاعه R_1/T_0 حيث

$$R_1 = \lim_{T \rightarrow \infty} \frac{T_0}{T} \sum_k a_k a_{k+1}$$

وهكذا تتكون مثلثات أخرى مركزة عند $2T_0, 3T_0, \dots$ الخ

لذلك يمكن التعبير عن الدالة التكرارية الذاتية $R_y(\tau)$ بالعلاقة

$$R_y(\tau) = \sum_{n=-\infty}^{\infty} \frac{R_n}{T_0} \Lambda\left(\frac{\tau - nT_0}{2T_0}\right)$$

وهي مثلثات متجاورة مركزة عند nT_0 وعرض قاعدتها $2T_0$ وارتفاعها الوحدة و

حيث

$$R_n = \lim_{T \rightarrow \infty} \frac{T_0}{T} \sum_k a_k a_{k+n}$$

للحصول على الدالة التكرارية الذاتية للإشارة $x(t)$ ندع ϵ تقترب من الصفر.

لذلك

$$R_x(\tau) = \sum_{n=-\infty}^{\infty} \frac{R_n}{T_0} \delta(\tau - nT_0)$$

وبأخذ تحويل فوريير يصبح طيف القدرة للإشارة $x(t)$

$$S_x(f) = \mathcal{F}\{R_x(\tau)\} = \frac{1}{T_0} \sum_{n=-\infty}^{\infty} R_n \exp(-jn2\pi fT_0)$$

و يكون طيف القدرة للإشارة $y(t)$

$$s_y(f) = \frac{|P(f)|^2}{T_0} \sum_{n=-\infty}^{\infty} R_n \exp(-jn2\pi fT_0)$$

حيث $P(f)$ هي تحويل فوريير للنبضة $p(t)$. وفيما يلي نشتق الكثافة الطيفية للقذرة لبعض أنواع تشفير الخط بفرض أن الرمزين 1 و 0 يحدثان بنفس الاحتمال و أن كل رمز مستقل عن الرموز الأخرى.

1.3.3 الإشارة أحادية القطبية unipolar

بما أن معدل الرموز هو $1/T_0$ يكون عدد الرموز الثنائية في الفترة T هو T/T_0 ونصف هذه الرموز أصفار و نصفها الآخر آحاد ، لذلك

$$R_0 = \lim_{T \rightarrow \infty} \frac{T_0}{T} \left[\frac{T_0}{2T} (1)^2 + \frac{T_0}{2T} (0)^2 \right] = \frac{1}{2}$$

$$R_n = \lim_{T \rightarrow \infty} \frac{T_0}{T} \left[\frac{T_0}{4T} (1)^2 + \frac{T_0}{4T} (0)^2 + \frac{T_0}{4T} (1 \times 0)^2 + \frac{T_0}{4T} (0 \times 1)^2 \right] = \frac{1}{4}$$

$$S_y(f) = \frac{|P(f)|^2}{T_0} \left[\frac{1}{4} + \frac{1}{4} \sum_{-\infty}^{\infty} \exp(-jn2\pi f T_0) \right]$$

وباستخدام سلسلة فوريير لقطار النبضات الحادة في مجال التردد

$$S_y(f) = \frac{|P(f)|^2}{T_0} \left[\frac{1}{4} + \frac{1}{4} \frac{1}{T_0} \sum_{-\infty}^{\infty} \delta(f - \frac{n}{T_0}) \right]$$

وبفرض أن النبضة مستطيلة و مدتها τ يصير طيف الإشارة

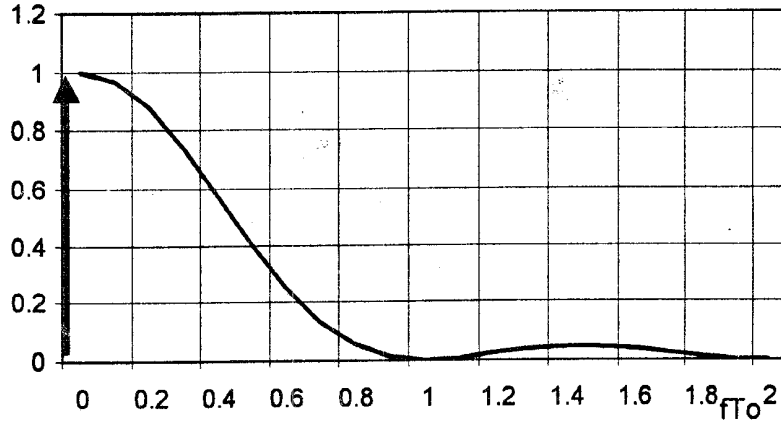
$$S_y(f) = \frac{\tau^2 \sin^2(f\tau)}{4T_0} \left[1 + \frac{1}{T_0} \sum_{-\infty}^{\infty} \delta(f - \frac{n}{T_0}) \right]$$

ويلاحظ أن الطيف يتكون من جزء مستمر مع التردد نتيجة الحد الأول في المعادلة الأخيرة و جزء متقطع نتيجة السلسلة في الحد الثاني .

إذا كانت النبضة من نوع الغير عائد إلى الصفر NRZ ستقع أصفار دالة الجيب عند مضاعفات $1/T_0$ ولذلك يصبح الطيف

$$S_y(f) = \frac{T_0}{4} \sin^2(fT_0) + \frac{1}{4} \delta(f)$$

أي يحتوى فقط على جزء مستمر مع التردد بالإضافة لمركبة التيار المستمر كما هو موضح في شكل (a.3.3).

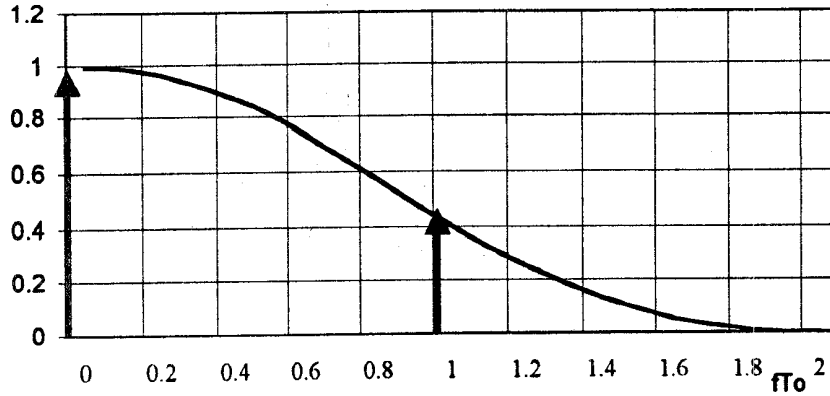


شكل (a.3.3) طيف الإشارة الأحادية القطبية NRZ

أما إذا كانت النبضة من نوع العائد للصفر RZ ومدتها $T_0/2$ ، فسيبقى الطيف مكونا من جزئين مستمر ومتقطع كما هو موضح في شكل (b.3.3) و يلاحظ أن الجزء المتقطع يحتوى على مركبة عند التردد الأساسى $1/T_0$ يمكن استخدامها في تزامن الرموز و عموما توجد هذه المركبة في كل الحالات $\tau < T_0$ بينما لا توجد في حالة NRZ.

يلاحظ مما سبق أن الإشارة الأحادية القطبية يعيها وجود مركبة التيار المستمر التي تمنع استخدام دوائر قرن التيار المتردد ac coupling كما يعيها نطاق التردد العريض نسبيا (حوالى $2/\tau$) . أيضا يعيب هذه الإشارة عدم قدرتها على اكتشاف

الأخطاء في الرموز و عدم الشفافية و سترى فيما بعد أن المقاومة للضوضاء و التداخل أقل من مقاومة الأنواع الأخرى لتشفير الخط ، ولكن تتميز هذه الإشارة ببساطة المعدات اللازمة لتوليدها و التزامن الذاتي إذا كانت النبضة من نوع العائد للصفر.



شكل (b.3.3) طيف الإشارة أحادية القطبية RZ

2.3.3 الإشارة القطبية Polar

نظرا لتمثيل الرموز 1 و 0 بنبضات موجبة و سالبة على الترتيب ، يكون نصف النبضات في هذه الحالة موجبا ونصفها سالبا ، و لذلك $a_k^2 = 1$ لكل الحالات

$$R_o = \lim_{T \rightarrow \infty} \frac{T_o}{T} \sum_k a_k^2 = \lim_{T \rightarrow \infty} \frac{T_o}{T} \frac{T}{T_o} \times 1^2 = 1$$

كذلك يلاحظ أن $a_k a_{k+n} = \pm 1$ بنفس الاحتمال مما يؤدي إلى أن

ولذلك $R_n = 0 ; n \neq 0$

$$S_y(f) = \frac{1}{T_o} |P(f)|^2 = \frac{\tau^2}{T_o} \sin^2(f\tau)$$

في حالة نبضة مستطيلة مدتها τ ، و يلاحظ أن الطيف كله مستمر و لا يحتوى على مركبة مركزة عند التردد الأساسى. إذا كانت النبضة من نوع الغير عائد للصفر يصير الطيف

$$S_y(f) = T_0 \sin c^2(fT_0)$$

وإذا كانت من نوع العائد للصفر ومدتها $T_0/2$ يصير الطيف

$$S_y(f) = \frac{T_0}{4} \sin c^2(fT_0/2)$$

يتميز هذا النوع من تشفير الخط بالشفافية وعدم وجود مركبة للتيار المستمر و سنرى فيما بعد أن مقاومته للضوضاء والتداخل أكبر من الإشارة الأحادية القطبية ولكن مازال يعانى من العيوب الأخرى للإشارة أحادية القطبية مثل الكبر النسبى لنطاق التردد و عدم القدرة على اكتشاف الأخطاء فى الرموز و عدم التزامن الذاتى إلا فى حالة استخدام مقوم للتيار للنوع العائد إلى الصفر لإعطاء مركبة مركزة عند التردد الأساسى.

3.3.3 الإشارة ثنائية القطبية bipolar

يلاحظ أن الصفر يمثل بمستوى صفري و أن الواحد يمثل بنبضة موجبة أو سالبة ولكن مخالفة فى القطبية للنبضة السابقة، وبذلك يبدو أن هناك ثلاثة رموز هم - 0, +1, +1 ، ويكون نصف الرموز 0 و ربعهم -1 و ربعهم +1 ، لذلك $a_k^2 = 1$ لنصف الحالات و $a_k^2 = 0$ للنصف الآخر

$$R_0 = \lim_{T \rightarrow \infty} \frac{T_0}{T} \sum_k a_k^2 = \lim_{T \rightarrow \infty} \frac{T_0}{T} \frac{T}{2T_0} \times 1^2 = \frac{1}{2}$$

فى حالة رمزين متتاليين a_k, a_{k+1} يكون حاصل ضربهما -1 لربع الحالات وصفر

لباقى الحالات ، لذلك $R_1 = R_{-1} = -1/4$

في حالة رمزين غير متاليين a_k, a_{k+n} حيث $n > 1$ سيكون حاصل ضربهما موجبا أو سالبا بنفس الاحتمال، لذلك $n > 1$; $R_n = 0$

$$S_y(f) = \frac{|P(f)|^2}{T_0} \left[\frac{1}{2} - \frac{1}{4} (e^{j2\pi f T_0} + e^{-j2\pi f T_0}) \right]$$

$$= \frac{|P(f)|^2}{2T_0} [1 - \cos 2\pi f T_0] = \frac{|P(f)|^2}{T_0} \sin^2 \pi f T_0$$

في حالة نبضة مستطيلة مدتها τ تصبح الكثافة الطيفية

$$S_y(f) = \frac{\tau^2}{T_0} \sin^2 \pi f T_0 \sin^2 c^2(f\tau)$$

و بذلك تكون الكثافة الطيفية صفرا عند التيار المستمر سواء كانت الإشارة من نوع العائد للصفر أو الغير عائد للصفر.

في حالة الإشارة الغير عائدة للصفر تكون الكثافة الطيفية

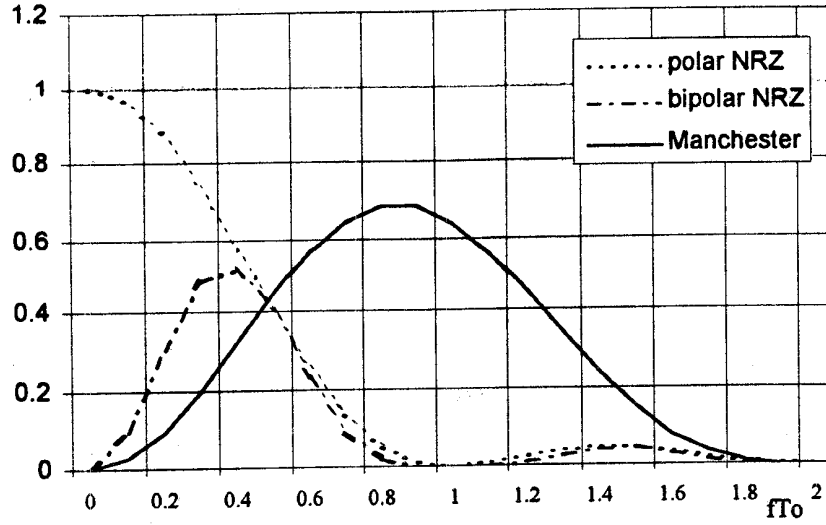
$$S_y(f) = T_0 \sin^2 \pi f T_0 \sin^2 c^2(fT_0)$$

وفي حالة إشارة عائدة للصفر ومدتها $T_0/2$ تكون الكثافة الطيفية

$$S_y(f) = \frac{T_0}{4} \sin^2 \pi f T_0 \sin^2 c^2\left(\frac{fT_0}{2}\right)$$

وبين شكل (4.3) الكثافة الطيفية لكل من الإشارة ثنائية القطبية والإشارة القطبية

تتميز الإشارة ثنائية القطبية بصغر نطاق التردد و باكتشاف الأخطاء الفردية التي تسبب مخالفة لقاعدة تبادل قطبية النبضات كما يمكن استخراج التردد الأساسي من النوع العائد للصفر باستخدام مقوم للتيار ، ولكن يعيها عدم الشفافية و سترى فيما بعد أنها تحتاج إلي ضعف القدرة المستخدمة في الإشارة القطبية للحصول على نفس معدل الخطأ.



شكل (4.3) الكثافة الطيفية للقدرة للإشارات القطبية وثنائية القطبية ومانشستر

4.3.3 إشارة الطور المفصوم split phase (مانشستر Manchester)

يمكن اعتبارها حالة خاصة من الإشارة القطبية مع استخدام نبضة $p(t)$ نصفها مستطيل موجب و نصفها الآخر مستطيل سالب

$$p(t) = \text{rect}\left(\frac{t + T_0/4}{T_0/2}\right) - \text{rect}\left(\frac{t - T_0/4}{T_0/2}\right)$$

وبأخذ تحويل فوريير

$$\begin{aligned} P(f) &= \frac{T_0}{2} \sin c\left(\frac{fT_0}{2}\right) [\exp(j\pi fT_0/2) - \exp(-j\pi fT_0/2)] \\ &= jT_0 \sin c\left(\frac{fT_0}{2}\right) \sin \pi fT_0/2 \end{aligned}$$

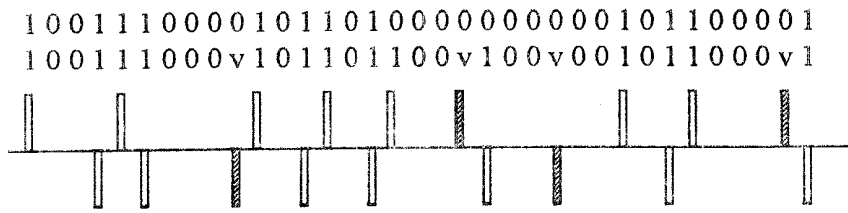
لذلك تكون الكثافة الطيفية للقوة

$$S_y(f) = T_0 \sin^2 \left(\frac{fT_0}{2} \right) \sin^2 \pi f T_0 / 2$$

يلاحظ أنها تحتاج إلى ضعف نطاق التردد للإشارة القطبية تقريبا ،
وهذا يعتبر عيب ، لكن إشارة مانشستر تتميز بالشفافية والتزامن الذاتي لوجود
تغير في قطبية نصفى النبضة في منتصف كل دورة ولوجود نبضات طوال الوقت.

5.3.3 الإشارة ثنائية القطبية عالية الكثافة High density bipolar

أو باختصار HDB و تتميز بالتغلب على مشكلة عدم الشفافية للإشارة ثنائية
القطبية و فقد إشارة التزامن عند وجود كثافة عالية من الأصفار المتتالية وذلك
بتعديل التشفير بحيث تضاف نبضات زائدة عندما يزيد عدد الأصفار المتتالية عن n
في HDBn لزيادة كمية التزامن في محتوى الإشارة وذلك باستبدال الأصفار المتتالية
التي عددها n+1 بمتابعة خاصة من الأرقام الثنائية ، وتكون قطبية النبضات الزائدة
مخالفة لقاعدة تبادل القطبية لتسهيل التعرف على المتابعة الخاصة فمثلا في HDB3
تستبدل الأربعة أصفار المتتالية 0000 بالمتابعة 000V أو المتابعة 100V حيث V
تمثل نبضة تخالف قاعدة تبادل القطبية و تختار إحدى المتابعتين بحيث أن نبضات V
المتتالية تتبادل القطبية الموجبة والسالبة للتخلص من مركبة التيار المستمر ، لذلك
تستعمل المتابعة 100V حين يوجد عدد زوجي من الأحاد بعد آخر متابعة
خاصة. و يبين شكل (5.3) مثالا لطريقة التشفير HDB3 .



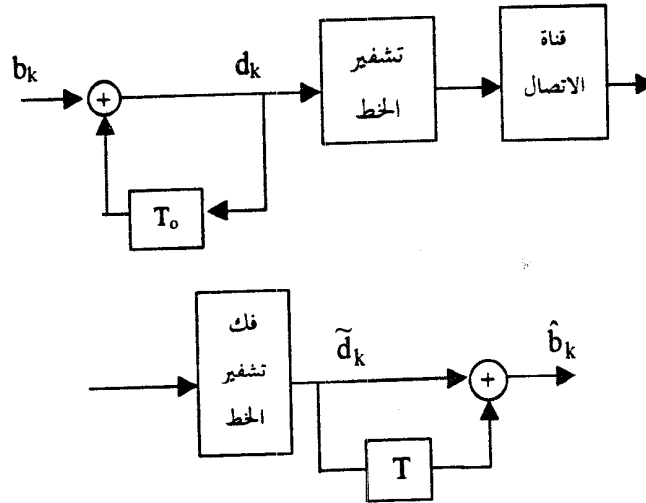
شكل (5.3) التشفير بطريقة HDB3

يبين السطر الأول المتابعة الأصلية ويبين السطر الثاني المتابعة المشفرة. لفك الشفرة في جهاز الاستقبال تحدد مواضع مخالفة قاعدة القطبية و عدد الأصفار التي تسبقها لمعرفة إذا كان الواحد الذي يسبقهم يمثل صفر أو واحد. مازالت هذه الطريقة تتميز بالمقدرة على اكتشاف الخطأ الفردى و تصحيحه.

ليس من السهل اشتقاق الكثافة الطيفية للقدرة لهذا النوع من تشفير الخط حيث يحتاج لحساب R_n لقيم عديدة لـ n تبلغ 63 في حالة $n=3$ ولكنها تشبه إلى حد كبير الكثافة الطيفية للقدرة للإشارة ثنائية القطبية.

4.3 التشفير التفاضلي Differential coding

حين تنقل المعلومات الرقمية خلال عدة دوائر فغالبا ما تنقلب قطبية الإشارة بدون قصد نتيجة تبادل طرفى السلكين ، وبذلك ينعكس تمثيل الرمز 1 و 0 . للتغلب على هذه المشكلة يستخدم نظام التشفير التفاضلى كما يلى



شكل (6.3) التشفير التفاضلى

التشفير قبل تشفير الخط هي

$$d_k = b_k \oplus b_{k-1}$$

أما قاعدة فك التشفير التفاضلي بعد الاستقبال فهي

$$\hat{b}_k = \tilde{d}_k + \tilde{d}_{k-1}$$

فمثلا

سلسلة الرموز الداخلة b_k 1101001

سلسلة الرموز الداخلة d_k 10110001

بعد فك الشفرة التفاضلية \hat{b}_k 1101001

سلسلة الرموز الداخلة مقلوبة \tilde{d}_k 01001110

بعد فك الشفرة التفاضلية \hat{b}_k 1101001

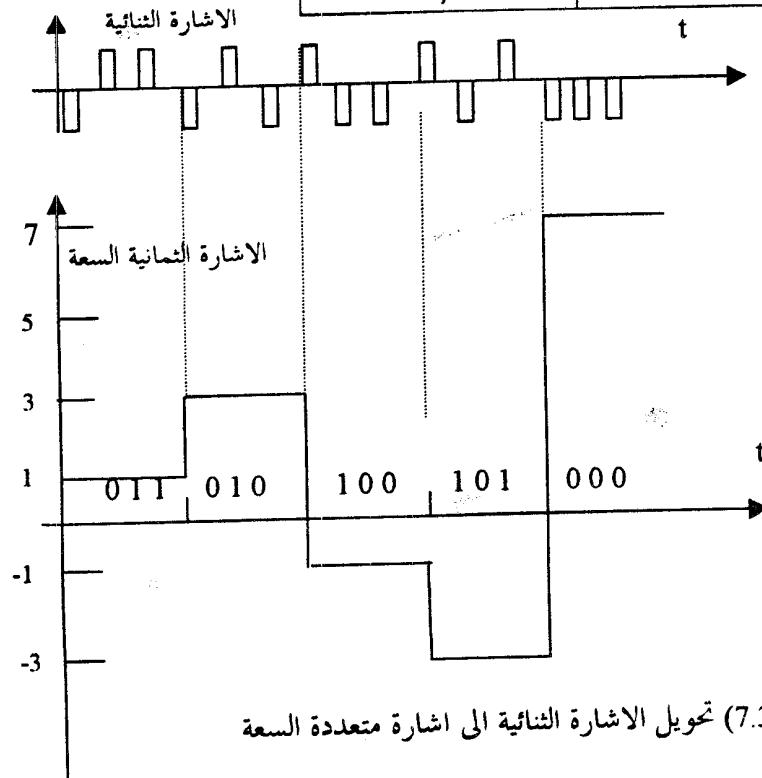
يلاحظ أنه باستخدام عملية التشفير التفاضلي أن عكس الرموز في المتابعة الثنائية المرسل لا يؤثر على القرار بعد الاستقبال.

5.3 التضمين بالسعة المتعددة للنضات M-ary Pulse Amplitude Modulation

لتقليل عرض نطاق التردد اللازم لنقل السيول الرقمية الثنائية يستخدم التضمين بالسعة المتعددة حيث تحول الإشارة الثنائية إلى إشارة متعددة السعة بأخذ k رمز ثنائي و تحويله إلى سعة معينة حسب جدول معين ويكون عدد القيم التي يمكن للسعة أن تأخذها $M=2^k$ وبذلك يصير معدل النضات ذات السعة المتعددة R/k نبضة في الثانية إذا كان معدل النضات الثنائية R نبضة ثنائية في الثانية

مثال: يمكن تحويل الإشارة الثنائية إلى الإشارة ثمانية السعة ($M=8$) بأخذ ثلاث نبضات ثنائية وتحويلها إلى أحد المستويات الثمانية $\pm 1, \pm 3, \pm 5, \pm 7$ حسب الجدول الآتي

النبضات الثنائية	سعة النبضة الخارجة
000	7
001	5
010	3
011	1
100	-1
101	-3
110	-5
111	-7



شكل (7.3) تحويل الإشارة الثنائية إلى إشارة متعددة السعة

وبوضح شكل (7.3) كيف تحول الإشارة الثنائية إلى إشارة ثمانية السعة. ويمكن اشتقاق طيف القدرة لهذا المثال كما يلي

$$R_o = [1^2 + 3^2 + 5^2 + 7^2] \times 2/8 = 21$$

$$R_n = 0$$

ولقيم $n \neq 0$ يكون

ولأن $p(t)$ دالة مستطيلة عرضها $3T$ يكون $P(f) = 3T \text{sinc}(3fT)$

وتصبح كثافة القدرة $S(f) = 63T \text{sinc}^2(3fT)$

وبذلك يقل نطاق التردد إلى الثلث بالمقارنة بالإشارة الثنائية و تزيد الكفاءة الطيفية إلى ثلاثة أضعاف.

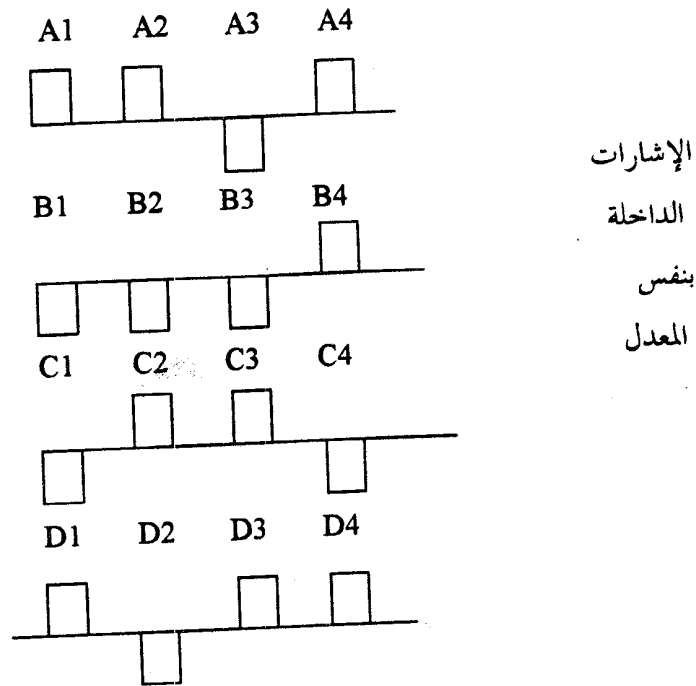
6.3 مزايا الاتصالات الرقمية:

١. المناعة ضد الضوضاء والتشويه الناتج عن قناة الاتصال.
٢. يمكن استخدام محطات إعادة repeaters يتم فيها اكتشاف الإشارة الثنائية من النبضات المشوهة وتكوين نبضات جديدة خالية من التشويه والضوضاء.
٣. مرونة تنفيذ الدوائر الرقمية مما يسمح باستخدام الحاسبات الإلكترونية computers و المبدلات الرقمية digital switching و التكامل على نطاق واسع جدا VLSI.
٤. استخدام التشفير للتحكم في الخطأ و تقليل معدل احتمال الخطأ bit error rate للحصول على جودة عالية high fidelity و أيضا للحصول على الخصوصية والسرية privacy.
٥. سهولة التعددية multiplexing أى نقل عدة إشارات على نفس الوسط ثم فصلها demultiplexing عند الاستقبال.

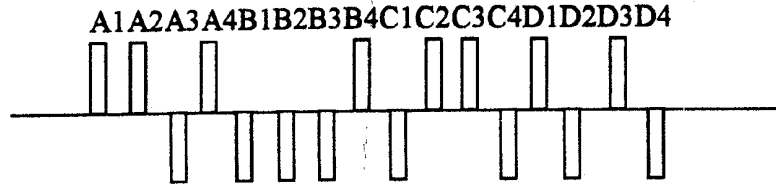
٦. أكثر مرونة من النظم التشابهية في مقايضة نسبة الإشارة إلى الضوضاء بنطاق التردد اللازم للنقل . وذلك باستخدام النظام الرقمي المتعدد M-ary بدلا من النظام الرقمي الثنائي.
٧. تكامل خدمات مختلفة مثل الصوت و المرئيات و البيانات الرقمية باستخدام الشبكة الرقمية للخدمات المتكاملة ISDN.

7.3 التعددية الرقمية للإشارات القطبية Digital multiplexing of polar signals

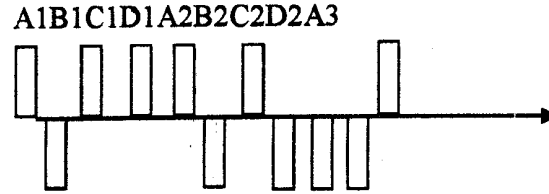
سبق شرح التعددية بتقسيم الزمن لاشارات PCM ويسمى هذا بالترك البيني للكلمات word interleaving و هناك نوع آخر يسمى الترك البيني للرقم الثنائي bit interleaving يوضحه شكل (8.3).



الإشارة الخارجة في الترك البيئي للكلمات

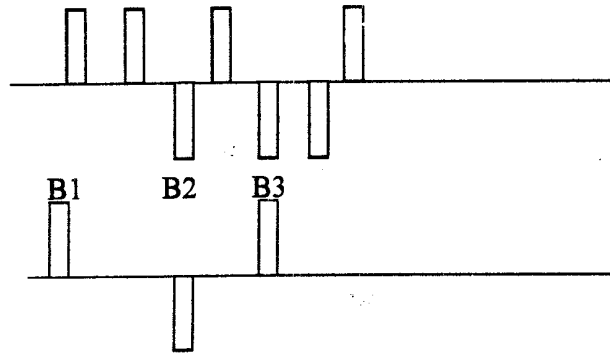


الإشارة الخارجة في الترك البيئي للأرقام الثنائية



شكل (a.8.3) الترك البيئي للكلمات والترك البيئي للأرقام الثنائية

A1 A2 A3 A4 A5 A6 A7



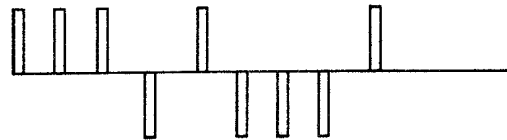
الإشارات

الداخلية

بمعدل

مختلف

A1 A2 B1 A3 A4 B2 A5 A6 B3



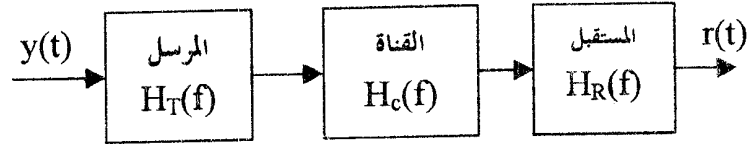
الإشارة الخارجة في
الترك البيئي للأرقام الثنائية

شكل (b.8.3) الترك البيئي للأرقام الثنائية لإشارات داخلية بمعدلات مختلفة

يؤخذ رقم ثنائي واحد من كل إشارة على التوالي لكل إطار إذا كانت معدلات البيانات متساوية لهذه الإشارات ، وفي حالة اختلاف معدلات البيانات يؤخذ رقم ثنائي واحد من الإشارات ذات المعدل المنخفض لكل إطار وعدة أرقام ثنائية من الإشارة ذات المعدل المرتفع حسب معدل بياناتها. ويلاحظ أن معدل البيانات الخارجة يساوى مجموع معدلات البيانات الداخلة.

8.3 تشكيل النبضات Pulse Shaping و التداخل بين الرموز

إذا أرسلت نبضات مستطيلة في قنوات لها نطاق تردد محدود يحدث تشويه للنبضات ، فينتج تداخل بين الرموز intersymbol interference أو باختصار ISI نتيجة الامتداد الزمني للنبضات ، وللتغلب على هذه المشكلة يستخدم تشكيل مختلف للنبضات بحيث يكون نطاق التردد لهذا الشكل من النبضات محدودا ، وفي هذه الحالة سوف لا تكون النبضة محدودة في الزمن ولكن يجب أن يكون التداخل بين الرموز صفر في لحظات اتخاذ القرار عند الرمز الذي تمثله النبضة. اعتبر نظام الاتصالات الرقمي المبين في شكل (9.3)



شكل (9.3) عناصر نظام الاتصالات الرقمية

إذا كانت الإشارة الداخلة الممثلة لتشفير خط هي

$$y(t) = \sum_k a_k p(t - kT)$$

حيث الرمز a_k يأخذ قيما محددة يمكن كتابة هذه الإشارة

$$y(t) = [\sum_k a_k \delta(t - kT)] * p(t)$$

وتكون الإشارة الخارجة من المستقبل

$$r(t) = [\sum_k a_k \delta(t - kT)] * h(t)$$

$$r(t) = \sum_k a_k h(t - kT)$$

حيث $h(t)$ تعطى بالعلاقة

$$h(t) = p(t) * h_T(t) * h_c(t) * h_R(t)$$

وهي الإشارة المستقبلية عند إرسال نبضة واحدة وتمثل استجابة المرشح المكافئ للنبضة الحادة في الزمن ، لذلك تعطى الاستجابة الترددية $H(f)$ للمرشح المكافئ

—

$$H(f) = P(f)H_T(f)H_c(f)H_R(f)$$

وعادة تختار $h(t)$ لتعطي أقل ISI كما سيأتي تفصيله فيما بعد ولذلك يصمم مرشح المستقبل ليحقق العلاقة الآتية

$$H_R(f) = \frac{H(f)}{P(f)H_T(f)H_c(f)}$$

ويسمى في هذه الحالة مرشح معادل equalizing filter ويعتمد كما يتضح من المعادلة الأخيرة على خواص القناة $H_c(f)$ وعلى مرشح المرسل $H_T(f)$ وعلى المرشح المكافئ $H(f)$ أى يحقق أحد معايير نيكويست.

1.8.3 المعيار الأول لنيكويست First Nyquist Criterion

يحدد هذا المعيار مواصفات النبضة التي لا تسبب ISI بأن لها قيمة غير صفرية في منتصفها $t=0$ و قيم صفرية في اللحظات $t = \pm nT_0$ حيث n عدد صحيح موجب و T_0 الزمن الفاصل بين نبضتين متتاليتين. بما أن اللحظات $t = \pm nT_0$ هي لحظات

أخذ العينات لاتخاذ القرار سوف تكون العينات المأخوذة من نبضة معينة كلها أصفارا فيما عدا العينة عند منتصف النبضة وبذلك لن تتداخل العينات الصفرية مع عينات النبضات الأخرى.

إذا حدد نطاق تردد النبضة بالمدي $f_0/2$ حيث $f_0 = 1/T_0$ فان النبضة الوحيدة التي تحقق المعيار الأول لنيكويست هي النبضة "السينكية" المعرفة بـ $p(t) = \text{sinc}(f_0 t)$ ولها الخاصية التالية

$$p(t) = 0 @ t = 0, p(t) = 0 @ t = \pm nT_0$$

وباستخدام هذه النبضة يمكن نقل الرموز الرقمية بمعدل f_0 رمز في الثانية بدون ISI في قناة عرض نطاق ترددها $f_0/2$ لأن عرض النطاق الترددي لهذه النبضة يساوي $f_0/2$ كما سبق شرحه في نظرية أخذ العينات ، ويمكن توليد هذه النبضة كاستجابة مرشح مثالي لمرار الترددات المنخفضة ideal LPF للنبضة الحادة $\delta(t)$ حيث

$$P(f) = H(f) = \text{rect}(f/f_0)$$

أى يمثل النبضة في مجال التردد نفس الشكل المستطيل للاستجابة الترددية للمرشح رغم أن النبضة "السينكية" تحقق المعيار الأول لنيكويست فانه يعيها أولا شدة حساسيتها للحظات أخذ العينات بحيث لو حدثت إزاحة صغيرة في هذه اللحظات (نتيجة لوجود خطأ صغير في معدل نقل الرموز أو معدل أخذ العينات) فان هذه الإزاحة تسبب ISI كبير يفسد عمل النظام ، و ذلك لأن النبضة السينكية تضمحل ببطء بمعدل يتناسب عكسيا مع الزمن. ثانيا تحتاج إلى مرشح مثالي ذى استجابة ترددية مستطيلة الشكل لتوليدها و هذا المرشح لا يمكن تحقيقه عمليا للتغلب على هذين العييين تستخدم نبضات تضمحل بمعدل أسرع وفي نفس الوقت تولد بمرشح ذى استجابة ترددية ناعمة ولكن تحتاج إلى قناة اتصال نطاق ترددها

أكبر من $f_0/2$. للحصول على الشكل العام للنبضات $p(t)$ التي تحقق المعيار الأول
لنيكويست يلاحظ أن

$$p(t) \sum_{n=-\infty}^{\infty} \delta(t - nT_0) = \delta(t)$$

وباستخدام سلسلة فوريير لقطار النبضات الحادة

$$p(t) \sum_{n=-\infty}^{\infty} \frac{1}{T_0} e^{jn2\pi f_0 t} = \delta(t)$$

و بأخذ تحويل فوريير لطرفي المعادلة الأخيرة

$$\frac{1}{T_0} \sum_{n=-\infty}^{\infty} P(f - nf_0) = 1$$

$$\therefore \sum_{n=-\infty}^{\infty} P(f - nf_0) = T_0$$

أى أن الشكل الناتج من تكرار الاستجابة الترددية $P(f)$ كل f_0 يجب أن يكون ثابتا
و مساويا لـ T_0 .

بفرض أن عرض نطاق تردد قناة الاتصال يتراوح بين $f_0/2$ و f_0 فان حدين فقط
من الطرف الأيسر في المعادلة الأخيرة يؤثران على المجموع في مدى التردد $0 < f < f_0$

$$P(f) + P(f-f_0) = T_0 \quad 0 < f < f_0$$

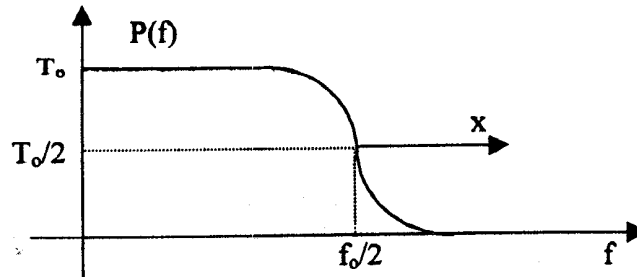
وبتعويض $x = f - f_0/2$

$$P(x + f_0/2) + P(x - f_0/2) = T_0 \quad |x| < f_0/2$$

أى أن $P(f)$ يجب أن تحقق شرط التماثل الفردى حول النقطة $f = f_0/2$ كما يوضح
شكل (10.3).

نظرا للتماثل الزوجي للدالة $P(f)$ فان $P(f) = P(-f)$ ويصبح الشرط الأخير

$$P(f_0/2 + x) + P(f_0/2 - x) = T_0 \quad |x| < f_0/2$$



شكل (10.3) التماثل المطلوب لتحقيق المعيار الأول لنيكويس

وبلاحظ أن المرشح المثالي ذا الشكل المستطيل يحقق الشرط الأخير و كذلك شكل المثلث التماثل و شكل شبه المنحرف و من أشهر أشكال $P(f)$ التي تحقق الشرط الأخير و بالتالي المعيار الأول لنيكويس شكل منحنى جيب التمام المرتفع الكامل $\text{fully raised cosine}$ المعطى بالعلاقة

$$P(f) = \frac{T_0}{2} \left[1 + \cos \frac{\pi f}{f_0} \right] \quad |f| \leq f_0$$

$$= 0 \quad |f| \geq f_0$$

وبأخذ تحويل فوريير العكسي يصير شكل النبضة مع الزمن

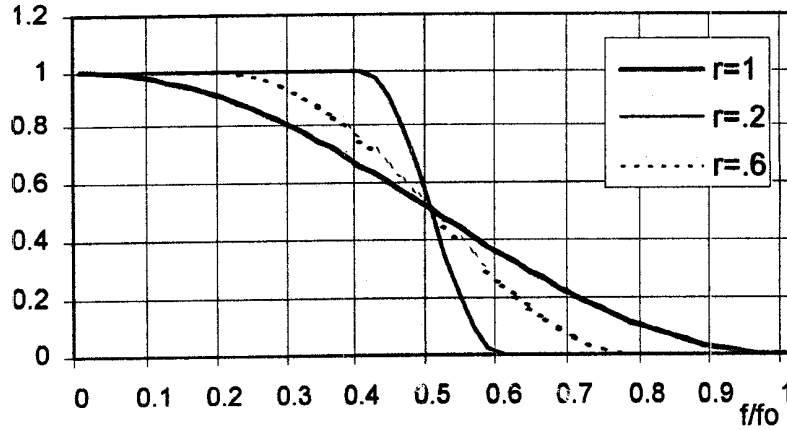
$$p(t) = \sin c(f_0 t) \frac{\cos \pi f_0 t}{1 - 4f_0^2 t^2}$$

تمتاز هذه النبضة بمعدل اضمحلال سريع يتناسب عكسيا مع مكعب الزمن $1/t^3$ وبوجود قيم صفرية إضافية نتيجة العامل الثاني في المعادلة السابقة تقع في منتصف القيم الصفرية للدالة السينية كما يوضح شكل (11.3) ، ولكن يعيب هذه النبضة نطاق التردد الكبير.

يمكن تقليل هذا النطاق باستخدام منحنى جيب التمام المرتفع المنحدر بمعامل انحدار r rolloff factor والمعطى بالعلاقة التالية حيث يوجد جزء مفلطح و جزء منحدر في الاستجابة الترددية كما في شكل (11.3)

$$P(f) = \begin{cases} T_0 & ; |f| < (1-r)f_0/2 \\ \frac{T_0}{2} \left[1 - \sin \frac{\pi(f - f_0/2)}{rf_0} \right] & ; |f - f_0/2| \leq rf_0/2 \\ 0 & ; |f| > (1+r)f_0/2 \end{cases}$$

وواضح أن نطاق التردد $(1+r)f_0/2$ أقل من f_0 و أكبر من $f_0/2$ حيث أن $0 < r < 1$ ، ويبين شكل (a.11.3) الاستجابة الترددية $P(f)$.



شكل (a.11.3) الاستجابة الترددية $P(f)$

و بأخذ تحويل فورير العكسي يصير شكل النبضة مع الزمن

$$p(t) = \sin c(f_0 t) \frac{\cos \pi r f_0 t}{1 - (2r f_0 t)^2}$$

ويوضح شكل (b.11.3) الاستجابة الزمنية $p(t)$

وتمتاز هذه النبضة بمعدل الاضمحلال السريع $1/t^3$ وتقل سعة تعرجاتها بزيادة معامل الانحدار r .

تمتاز النبضة في حالة $r = 1$ بقلّة حساسيتها للخطأ في معدل أخذ العينات f_0 أو ما يسمى برعشة التزامن timing jitter لذلك فإن زيادة r يزيد اضمحلال النبضة

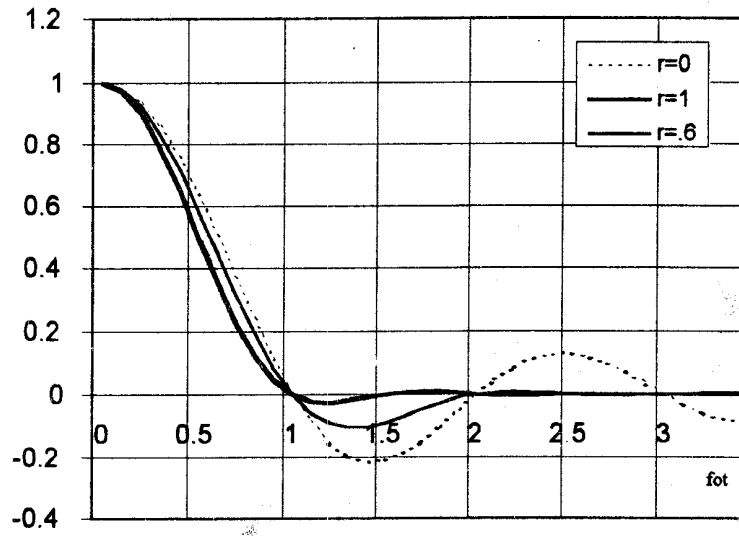
ولكن تزيد من نطاق التردد. أيضا المرشحات من طائفة جيب التمام المرتفع المنحدر يمكن تحقيقها عمليا بعكس المرشح المثالي المستطيل الشكل وهذه الطائفة

$$B_t = (1+r)f_0/2 \text{ يكون نطاق التردد الكلي}$$

$$f_0 = \frac{1}{1+r} B_t \text{ أو أن معدل النبضات}$$

لذلك لقناة اتصال نطاق ترددها B_t يكون أقصى معدل للنبضات في حالة المرشح المثالي (أي $r=0$) $f_{0max} = 2B_t$ أما في حالة جيب التمام المرتفع الكامل ($r=1$)

$$f_0 = B_t \text{ يكون معدل النبضات}$$



شكل (11.3) الاستجابة الزمنية $p(t)$ لجيب التمام المرتفع بانحدار r

2.8.3 المعيار الثاني لنيكويسـت Nyquist Second Criterion

يمكن باستخدامه نقل النبضات على قناة اتصال عرض نطاقها الترددي $f_0/2$ بمعدل يساوي f_0 نبضة في الثانية بدون ISI بطريقة تمكن من التحكم فيه بحيث يمكن إزالته بدون خطأ في حالة عدم وجود ضوضاء.

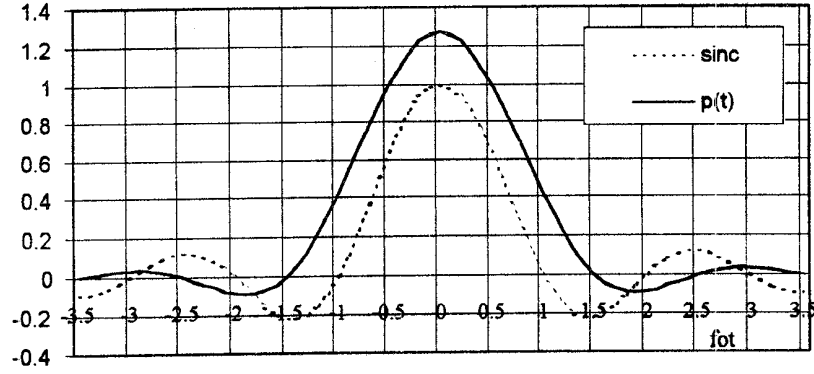
لأى نبضة تحقق المعيار الثاني لنيكويسيت يجب أن يكون

$$p(t) = \begin{cases} C & t = \pm T/2 \\ 0 & t = \pm nT/2 \end{cases} \quad n = 3, 5, 7, \dots$$

حيث C ثابت موجب ، وبالنظر إلى النبضة الناتجة من دالة جيب التمام المرتفع الكامل السابق تعريفها نجد أنها تحقق هذا الشرط غير أنها تحتاج إلى نطاق تردد عرضه f_0 لنقل الرموز بمعدل f_0 رمز في الثانية ، ويمكن إثبات أن النبضة الوحيدة التي تحقق المعيار الثاني لنيكويسيت و تحتاج إلى نطاق تردد عرضه $f_0/2$ فقط هي

$$p(t) = \frac{2f_0}{\pi} \frac{\cos \pi f_0 t}{1 - 4f_0^2 t^2}$$

ويبين شكل (a.12.3) هذه النبضة.



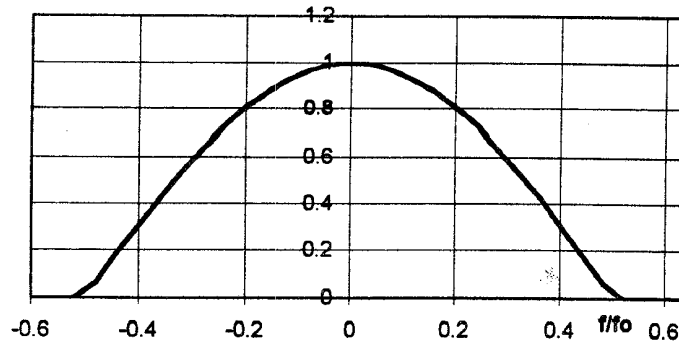
شكل (a.12.3) نبضة $p(t)$ تحقق المعيار الثاني لنيكويسيت و النبضة السينكية

و يمكن إثبات أن تحويل فوريير لها يعطى بالعلاقة

$$P(f) = \cos\left(\frac{\pi f}{f_0}\right) \text{rect}\left(\frac{f}{f_0}\right) \quad (1.3)$$

أى يأخذ شكل دالة جيب تمام مقطوعة في مجال التردد كما يبين شكل (b.12.3) .

و يلاحظ أن معدل الاضمحلال لهذه النبضة $1/t^2$ يتناسب عكسيا مع مربع الزمن.
 عند نقل البيانات الرقمية باستخدام هذه النبضة (تنقل نبضة موجبة لتمثيل 1 و
 نبضة سالبة لتمثيل 0) تؤخذ العينات التي يتخذ القرار بناءا عليها عند اللحظات $t = \pm nT/2$ حيث n عدد صحيح فردي، وبذلك تتكون العينة من مركبتين أحدهما
 من نبضة أولى و مقدارها $\pm C$ والأخرى من النبضة التالية و مقدارها $\pm C$ وبذلك



شكل (b.12.3) الاستجابة الترددية $P(f)$

يكون مقدار العينة

$2C$ في حال نقل 11،

$-2C$ في حال نقل 00،

$2C$ في حال نقل 01 أو 10.

ولذلك فقاعدة الكشف المستخدمة لاتخاذ القرار هي:

قرر 1 إذا كانت العينة موجبة، و قرر 0 إذا كانت العينة سالبة، وقرر عكس الرمز

السابق إذا كانت العينة صفرا.

فيما يلي مثال لمتابعة و كيفية اتخاذ القرار بناء على العينة الحالية (وأيضا القرار

السابق في حالة العينة الصفرية)

المتابعة 1101100010111

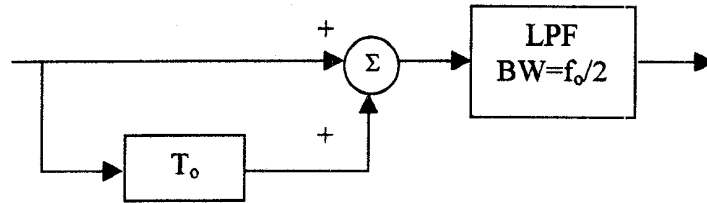
العينة ++000--00+0

القرار 101100010111

يلاحظ من فحص العينات وجود عدد زوجي من الأصفار بين عيتين لهما نفس القطبية و وجود عدد فردي من الأصفار بين عيتين مختلفتين في القطبية، وبذلك يمكن استغلال هذه الملحوظة في اكتشاف أى خطأ فردي إذا حولت.

مما سبق يتبين أنه يمكن نقل الرموز الثنائية بمعدل f_0 مساوي لضعف نطاق تردد القناة وهذا يسمى النظام الثنائي المضاعف duobinary حيث يعنى الشق duo مضاعفة معدل النقل وذلك بنقل رموز ثلاثية في الحقيقة (+, 0, -) ويمكن توليد نبضات إشارات الثنائي المضاعف كما في شكل (13.3) حيث يتكون الدخل من

$$\text{قطار نبضات حادة قطبية } \sum_i b_i \delta(t - iT_0) \text{ حيث } b_i = \pm 1$$



شكل (13.3) نظام توليد إشارة الثنائي المضاعف

يمكن تمثيل دالة النقل للجزء الأيسر لهذا الشكل بالعلاقة

$$\begin{aligned} H_D(f) &= 1 + \exp(-j2\pi f T_0) \\ &= 2 \exp(-j\pi f T_0) \cos \pi f T_0 \end{aligned}$$

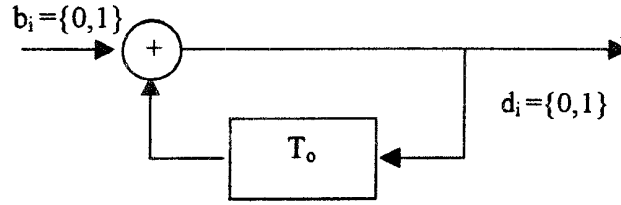
أما دالة النقل الكلية في مجال التردد فهي

$$H_{eD}(f) = H_D(f) \text{rect}\left(\frac{f}{f_0}\right)$$

$$= 2 \exp(-j\pi f T_0) \cos \frac{\pi f}{f_0} \text{rect}\left(\frac{f}{f_0}\right)$$

و يلاحظ أن $|H_{eD}(f)|$ هي نفس $P(f)$ المعطاة بالمعادلة (1.3) أي دالة جيب تمام مقطوعة مع وجود زمن تأخير $T_0/2$.

مما سبق يتضح أنه باستخدام duobinary يمكن نقل الرموز الرقمية الثنائية بمعدل f_0 رمز في الثانية على قناة عرض نطاق ترددها $f_0/2$ وبدون ISI ، كما تتميز هذه الطريقة بسهولة تطبيقها عمليا و بوجود خاصية اكتشاف الأخطاء الفردية وبعدم حساسية الأداء للازاحات الزمنية الصغيرة في أخذ العينات حيث أن النبضة تضمحل بمعدل $1/t^2$. لكن يعيبها أن الطيف ليس صفرا عند $f=0$ كم يعيبها انتشار الأخطاء. يمكن علاج العيب الثاني باستخدام التشفير القبلي precoding كما يلي



شكل (14.3) مشفر قبلي لإشارة الثنائي المضاعف

إذا كان $\{b_i\}$ يعبر عن سيل الرموز الثنائية الداخلة و $\{d_i\}$ عن سيل الرموز الخارجة يكون

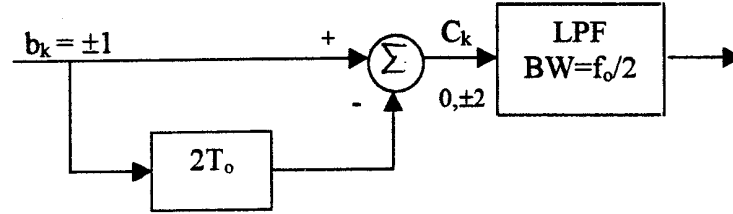
$$d_i = b_i \oplus d_{i-1}$$

ولذلك إذا كان الرمز الداخل $b_i = 0$ يكون الرمز الخارج مماثلا للرمز الخارج السابق و إذا كان الرمز الداخل $b_i = 1$ يكون الرمز الخارج مخالفا للرمز الخارج

السابق ، وتحول الرموز الخارجة الى قطبية وتولد النبضات كما سبق شرحه ، و بذلك تكون العينة التي تصل للمستقبل موجبة أو سالبة في حالة إرسال 0 ، وتكون 0 في حالة إرسال 1 ، لذلك فقاعدة اتخاذ القرار هي:

إذا كانت العينة المستقبلية صفرا ، قرر 1 ، وإذا كانت العينة المستقبلية موجبة أو سالبة ، قرر 0

للتغلب على العيب الأول يمكن استخدام نظام إشارة الثنائي المضاعف المعدلة modified duobinary لجعل الطيف صفرا عند $f = 0$ ويبين شكل (15.3) هذا النظام حيث يتكون الدخل من قطار النبضات الحادة القطبية.



شكل (15.3) نظام توليد نبضات إشارة الثنائي المضاعف المعدلة

$$C_k = b_k - b_{k-2}$$

أي مازال الرمز الخارج C_k ثلاثيا $(-2, 0, +2)$ و تكون دالة النقل للحزء الأيسر مع التردد

$$H_m(f) = 1 - \exp[-j2\pi f(2T_0)] = 2j \exp(-j2\pi fT_0) \sin 2\pi fT_0$$

وتكون دالة النقل الكلية مع التردد

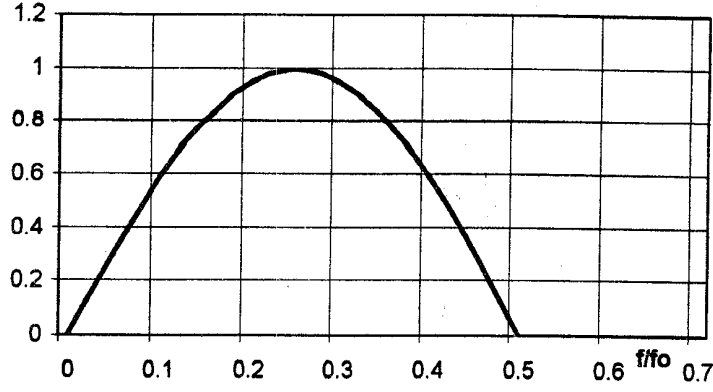
$$H_{em}(f) = 2j \exp(-j2\pi fT_0) \sin 2\pi fT_0 \text{rect}(f / f_0)$$

ويبين شكل (16.3) الاستجابة الترددية التي تعطى قيمة صفرية عند $f = 0$.

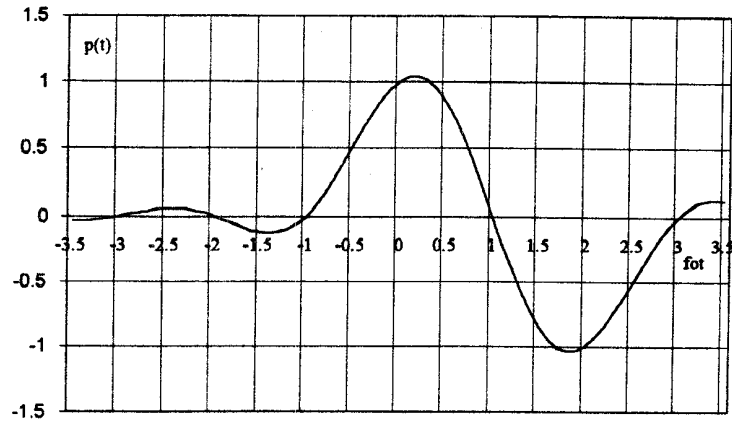
ولذلك فان النبضة الناتجة $p(t)$ تعطى بتحويل فوريير العكسي

$$p(t) = f_0 \sin c(f_0 t) - f_0 \sin c f_0 (t - 2T_0)$$

$$= -\frac{2 \sin \pi f_0 t}{\pi f_0 (t - 2T_0)}$$



شكل (16.3) الاستجابة الترددية $|H_{em}(f)|$ لنظام توليد إشارة الثنائي المضاعف المعدلة



شكل (17.3) نبضة إشارة الثنائي المضاعف المعدلة

وبين شكل (17.3) النبضة الناتجة. في هذا النظام تؤخذ العينات عند اللحظات $t = nT_0$ حيث n عدد صحيح وبذلك يحدث تداخل بين الرموز لأن قيمة العينة تتكون من مركبتين أحدهما نتيجة النبضة الحالية والأخرى نتيجة النبضة قبل السابقة. يلاحظ أن الرمز الخارج C_k يأخذ ثلاث قيم وكذلك العينة المكونة من مركبتين.

تكون العينة موجبة إذا كان $b_k = -b_{k-2} = 1$ لأن $C_k = +2$

تكون العينة صفرا إذا كان $b_k = b_{k-2}$ لأن $C_k = 0$

تكون العينة سالبة إذا كان $b_k = -b_{k-2} = -1$ لأن $C_k = -2$

لذلك فإن قاعدة الكشف المستخدمة لاتخاذ القرار هي:

قرر أن الرمز المرسل 1 إذا كانت العينة موجبة،

قرر أن الرمز المرسل -1 إذا كانت العينة سالبة،

قرر أن الرمز المرسل مماثل للرمز المرسل قبله يفترتين إذا كانت العينة صفرا.

نظرا لصعوبة بناء المرشح ذي الشكل الجيبي المقطوع المعطى بالمعادلة

$$|H_{em}(f)| = 2 \sin \frac{2\pi f}{f_0} \text{rect}\left(\frac{f}{f_0}\right)$$

تعدل المعادلة كالآتي

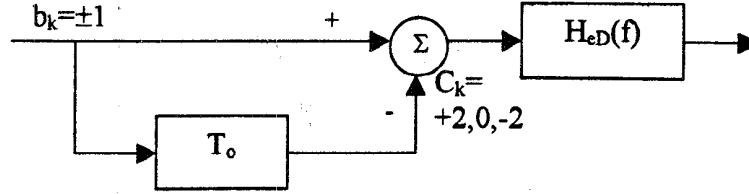
$$|H_{em}(f)| = 4 \sin \frac{\pi f}{f_0} \cos \frac{\pi f}{f_0} \text{rect}\left(\frac{f}{f_0}\right)$$

$$H_{em}(f) = 2j e^{-j2\pi f T_0} [e^{j\pi f T_0} - e^{-j\pi f T_0}] \cos \frac{\pi f}{f_0} \text{rect}\left(\frac{f}{f_0}\right)$$

$$= 2j e^{-j\pi f T_0} [1 - e^{-j2\pi f T_0}] \cos \frac{\pi f}{f_0} \text{rect}\left(\frac{f}{f_0}\right)$$

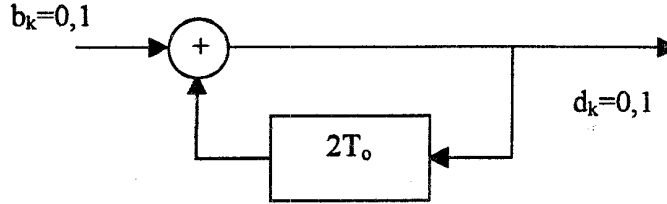
$$= [1 - e^{-j2\pi f T_0}] H_{ed}(f)$$

حيث $H_{eD}(f)$ تمثل المرشح المستخدم في حالة الثنائي المضاعف، وبذلك يمكن استنتاج نظام التوليد المبين في شكل (18.3) الذي يحقق العلاقة الأخيرة كما أن من السهل بناءه عمليا.



شكل (18.3) توليد إشارة الثنائي المضاعف المعدلة

يلاحظ أن قاعدة الكشف تعتمد في قرارها على الرمز السابق بفترتين مما يسبب انتشار الأخطاء ، لذلك يمكن استخدام التشفير القبلي كما يلي



شكل (19.3) التشفير القبلي لإشارة الثنائي المضاعف المعدلة

$$d_k = b_k \oplus d_{k-2}$$

من المعادلة الأخيرة نستنتج أن الرمز الخارج من التشفير القبلي يكون مماثلا للرمز الخارج قبله بفترتين اذا كان $b_k = 0$ ، أو مخالفا له اذا كان $b_k = 1$. بعد التشفير القبلي تحول الرموز الخارجة الى قطبية ثم تشكل النبضات كما سبق شرحه.

$$\begin{aligned} C_k &= d_k - d_{k-2} \\ &= (b_k \oplus d_{k-2}) - d_{k-2} \end{aligned}$$

لذلك تكون العينة المستقبلية $C_k = 0$ إذا كان $b_k = 0$

وتكون $C_k = \pm 2$, إذا كان $b_k = 1$

لذلك تكون قاعدة اتخاذ القرار هي:

قرر 0 في حالة استقبال عينة صفرية و قرر 1 في حالة استقبال عينة موجبة أو سالبة

بذلك يمكن استخدام نظام الثنائي المضاعف المعدل الذى لا يحتاج إلى قناة قرن للتيار المستمر وكذلك لا يحتاج إلى انحدار حاد في الاستجابة الترددية للمرشح المستخدم في توليد النبضات في نقل النبضات على قناة اتصال عرض نطاقها الترددى $f_0/2$ هرتز بمعدل يساوى f_0 نبضة في الثانية بدون ISI.

4.8.3 المعيار الثالث لنيكويسث Nyquist Third Criterion

تصمم النبضة بحيث تكون المساحة تحتها لا تساوى صفرا في فترة الرمز وتكون صفرا في فترات الرموز المجاورة. فإذا كانت $p(t)$ تمثل الرمز المتقل في الفترة من $-T/2$ إلى $T/2$

$$\int_{nT-T/2}^{nT+T/2} p(t)dt = \begin{cases} 1 & n = 0 \\ 0 & n \neq 0 \end{cases}$$

وفي جهاز الاستقبال الذى يستخدم دائرة تكامل، تقاس المساحة في كل فترة تراسل وبناءا على إشارة هذه المساحة يتخذ القرار. لذلك إذا استخدمت نبضة تحقق المعيار الثالث لنيكويسث تكون العينة الناتجة من حساب المساحة خالية من التداخل بين الرموز لأن المساحات الناتجة عن الرموز المجاورة ستكون أصفرا. فيما يلي سنبرهن أن النبضة التى تحقق المعيار الثالث لنيكويسث يمكن توليدها بواسطة مرشح استجابته الترددية

$$P(f) = \frac{\text{rect}(f/f_0)}{\sin c(f/f_0)} \quad (2.3)$$

البرهان:

$$\int_{-T/2}^{T/2} p(t) dt = p(t) * \text{rect}(t/T) |_{t=0} = y(0)$$

وذلك باستخدام التعريف الرياضى للالتفاف convolution في مجال الزمن. ولكن من خصائص تحويل فوريير أن الالتفاف في مجال الزمن يناظره ضرب في مجال التردد، لذلك باستخدام المعادلة (2.3)

$$y(0) = \int_{-\infty}^{\infty} Y(f) df = \int_{-\infty}^{\infty} P(f) T \sin c(fT) df = \int_{-\infty}^{\infty} T \text{rect}(f/f_0) df = 1$$

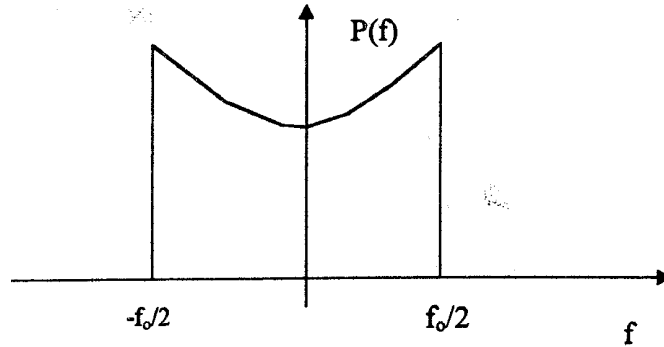
$$y(nT) = \int_{nT-T/2}^{nT+T/2} p(t) dt = p(t) * \text{rect}(t/T) |_{t=nT}$$

$$= p(t) * \text{rect}\left(\frac{t-nT}{T}\right) |_{t=0}$$

$$= \int_{-\infty}^{\infty} P(f) \sin c(fT) e^{-j2\pi f nT} df$$

وباستخدام المعادلة (2.3)

$$y(nT) = \int_{-\infty}^{\infty} T \text{rect}(f/f_0) e^{-j2\pi f nT} df = \sin c(n) = 0 \quad ; n \neq 0$$



شكل (20.3) الاستجابة الترددية للمرشح

يوضح شكل (20.3) الاستجابة الترددية $P(f)$ والتي يصعب تحقيقها عمليا.

من البرهان السابق يتضح أن الاستجابة الترددية $P_3(f)$ المعطاة بالعلاقة

$$P_3(f) = P_1(f)/\text{sinc}(fT)$$

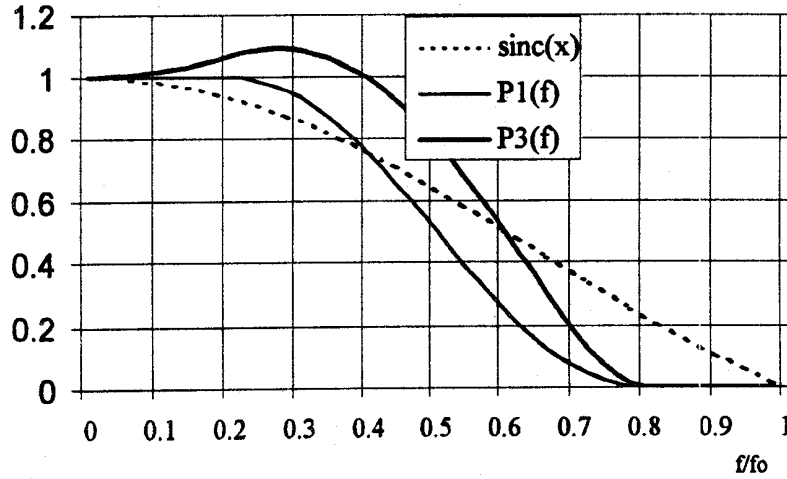
سوف تحقق المعيار الثالث لنيكويسيت إذا كانت $P_1(f)$ تحقق المعيار الأول

لنيكويسيت وذلك لأن

$$\int_{nT-T/2}^{nT+T/2} p_3(t) dt = \int_{-\infty}^{\infty} TP_1(f) e^{-j2\pi fnT} df = Tp_1(nT) = \begin{cases} T; n = 0 \\ 0; n \neq 0 \end{cases}$$

و باستخدام $P_1(f)$ دالة جيب تمام مرتفع بانحدار r تكون $P_3(f)$ لها شكل انحدار

ناعم بحيث يسهل تحقيقه عمليا كما يوضح شكل (21.3).



شكل (21.3) استجابة ترددية ذات انحدار ناعم تحقق المعيار الثالث لنيكويسيت

الباب الرابع: طرق التضمين الرقمي للموجة الحاملة

Digital Carrier Modulation

لنقل المعلومات الرقمية في قنوات اتصال ذات ترددات مرتفعة تستخدم موجة جيبية ذات تردد مرتفع كموجة حاملة ويغير أحد خواص هذه الموجة مثل السعة أو التردد أو الطور تبعاً للتغيرات في المعلومات الرقمية ونظراً لأن البيانات الرقمية تأخذ قيماً محددة فإن خاصية الموجة الحاملة سوف تأخذ أيضاً قيماً محددة تزداد من واحدة لأخرى.

1.4 طرق التضمين الرقمي الثنائي Binary Digital Modulation

في هذه الطرق تكون البيانات الرقمية ثنائية أي تأخذ أحد الرقمين واحد أو صفر وبالتالي فخاصية الموجة الحاملة المتغيرة طبقاً للبيانات سوف تأخذ إحدى قيمتين كما يبين شكل (1.4) حيث تأخذ سعة الموجة الحاملة القيمة صفر أو واحد في (a) ، بينما يتبدل تردد الموجة الحاملة في (b) من تردد لتردد ثاني ، أو يأخذ طورها القيمة صفر أو π ، وفيما يلي شرح تفصيلي لهذه الإشارات.

4 تبديل الفتح والقفل On Off Keying(OOK)

وتسمى أيضاً بتبديل إزاحة السعة الثنائية Binary Amplitude Shift Keying أو باختصار BASK حيث تتبدل سعة الموجة الحاملة بين قيمتين أحدهما صفر بالفتح و القفل باستخدام إشارة ثنائية أحادية القطبية $m(t)$ تأخذ أحد القيمتين واحد أو صفر فتصير الإشارة المناظرة نبضة جيبية أو صفراً خلال زمن نقل الإشارة الثنائية كما يلي

$$S_{ook}(t) = \begin{cases} A_c \cos \omega_c t & , \text{if } m(t) = 1 \\ 0 & , \text{if } m(t) = 0 \end{cases}$$

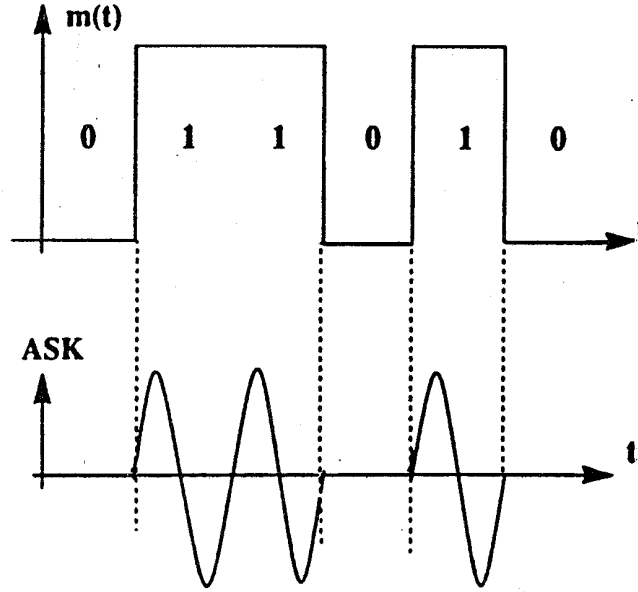
حيث A_c أقصى سعة للإشارة ويمكن تمثيلها بالمعادلة

$$S_{\text{ook}}(t) = A_c m(t) \cos \omega_c t$$

كذلك إذا عرفت إشارة الغلاف $g(t) = A_c m(t)$

تصبح إشارة OOK

$$S_{\text{ook}}(t) = g(t) \cos \omega_c t$$



شكل (a.1.4) إشارة التضمين الرقمي الثنائي ASK

وقد سبق اشتقاق كثافة القدرة الطيفية للإشارة $m(t)$ لذلك فكثافة القدرة الطيفية لإشارة الغلاف

$$S_g(f) = \frac{A_c^2}{4} [\delta(f) + T \sin^2(fT)]$$

وتصير كثافة القدرة الطيفية للإشارة المضمنة

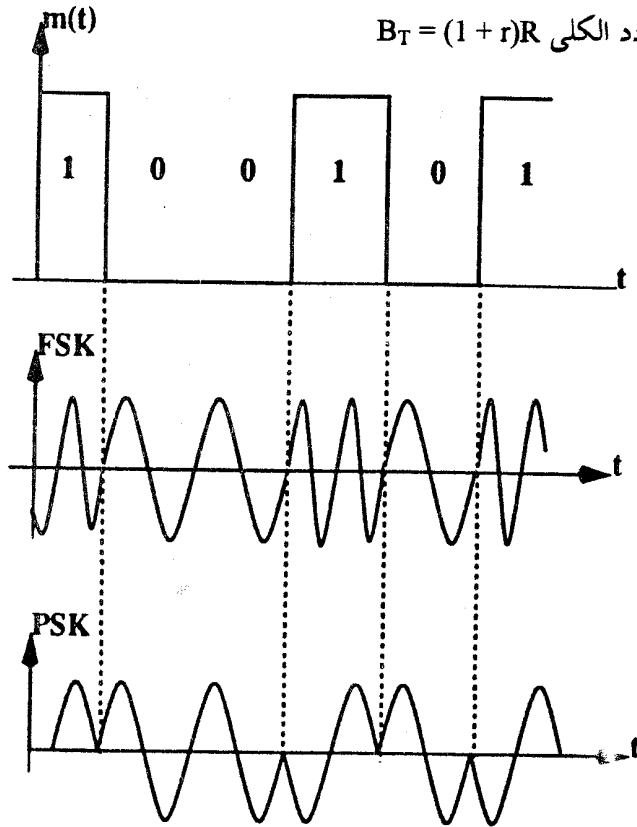
$$S_s(f) = \frac{1}{4} [S_g(f - f_c) + S_g(f + f_c)]$$

$$= \frac{A_c^2}{16} [\delta(f - f_c) + T \sin c^2((f - f_c)T) + \delta(f + f_c) + T \sin c^2(f + f_c)T]$$

أى يحتوى الطيف على مركبة مركزة عند f_c وأخرى مستمرة حول الأولى نطاق
فصلها الأساسي $2/T$ أى ضعف معدل نقل البيانات R هذا بفرض استخدام شكل
مستطيل للنضات الثنائية

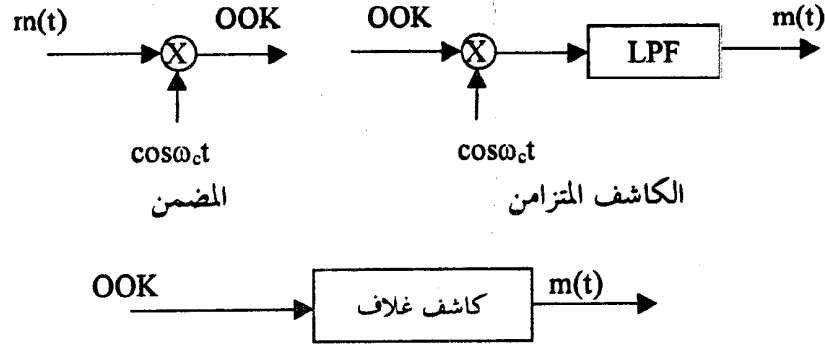
أما فى حالة تشكيل النضات بمرشح جيب تمام منحدر مرفوع بمعامل انحدار r يصير

$$B_T = (1 + r)R$$



شكل (b.1.4) إشارة التضمين الرقمى الثنائى FSK و PSK

يمكن كشف إشارة OOK باستخدام كاشف الغلاف أو الكاشف المتزامن لكن النوع الأول يتميز بالبساطة ويبين شكل (4.2) المكونات الأساسية للمضمن و الكاشفين.



الكاشف الغير متزامن

شكل (2.4) التضمين والكشف لإشارة OOK

بعد كشف الإشارة $m(t)$ تؤخذ عينة في كل فترة T وبناء على قيمتها يقرر هل أرسل واحد أو صفر في هذه الفترة.

2.1.4 تبديل إزاحة الطور الثنائي Binary Phase Shift Keying

(باختصار BPSK) حيث يبدل طور الموجة الجيبية الحاملة بين قيمتين هما صفر و

$\pm 90^\circ$ أو 180°

$$S_{\text{BPSK}}(t) = A_c \cos(\omega_c t \pm \pi/2) \text{ if } m(t) = \pm 1$$

يلاحظ أن الإشارة الثنائية المستخدمة للتضمين من النوع القطبي ويمكن صياغة

المعادلة السابقة كالتالي

$$S_{\text{BPSK}}(t) = A_c \cos(\omega_c t + D_p m(t))$$

حيث $D_p = \pi/2$ يسمى معامل التضمين.

أيضا يمكن كتابة الإشارة بالصيغة التالية

$$S_{\text{BPSK}}(t) = \pm A_c \sin \omega_c t \text{ if } m(t) = \mp 1$$

$$= -A_c m(t) \sin \omega_c t$$

وبتعريف إشارة الغلاف $g(t) = A_c m(t)$

$$S_g(f) = A_c^2 T \sin^2(fT)$$

وتصبح كثافة القدرة الطيفية لإشارة BPSK

$$S_s(f) = \frac{A_c^2}{4} [T \sin^2(f - f_c)T + T \sin^2(f + f_c)T]$$

ويلاحظ أنها نفس الطيف لإشارة OOK عدا أنها لا تحتوي على مركبة مركزة

كما أن متوسط القدرة $A_c^2/2$ في حالة PSK لكنه $A_c^2/4$ في حالة OOK

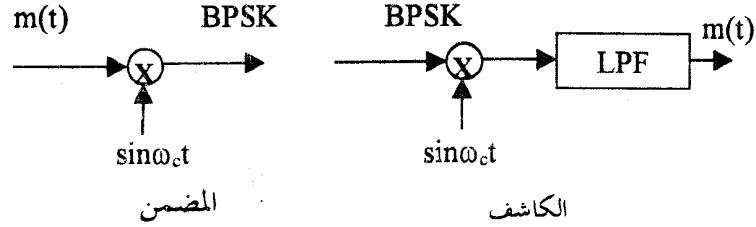
والإشارتان لهما نفس نطاق التردد اللازم للإرسال.

في حالة PSK لا بد من استخدام الكاشف المتزامن ، وحيث لا توجد مركبة مركزة

في طيف الإشارة يحتاج جهاز الاستقبال إلى معدات إضافية لاستخراج الموجة

الحاملة (مثل إطار كوستاس Costas loop) ويوضح شكل (3.4) المكونات

الأساسية للمضمن و الكاشف.



شكل (3.4) التضمين والكشف لإشارة BPSK

ويمكن استبدال LPF بدائرة تكامل وإخماد لتحسين الأداء في وجود الضوضاء.

3.1.4 تبديل إزاحة التردد الثنائي Binary Frequency Shift Keying

أو باختصار BFSK حيث يستخدم ترددين للموجة الحاملة أحدهما يمثل الصفر و الآخر يمثل الواحد، وهناك نوعان لهذه الإشارة حسب طريقة التوليد في النوع الأول المستمر الطور تولد الإشارة باستخدام مضمن تردد يتحكم في تردده بواسطة الإشارة الثنائية $m(t)$ ونظرا لأن الإشارة $m(t)$ تتبدل سعتها بالإزاحة من قيمة لأخرى فإن الإشارة BFSK المولدة يبدل ترددها بالإزاحة من قيمة لأخرى مع استمرار الطور مع الزمن ويمكن تمثيلها بالمعادلة

$$S_{FSK}(t) = A_c \cos[\omega_c t + D_f \int_0^t m(t) dt]$$

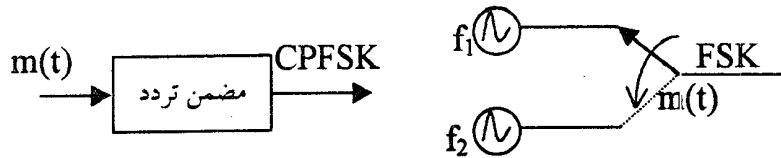
أى يكون ترددها اللحظى $f_c + (D_f/2\pi)m(t)$

حيث D_f معامل التضمين و الإشارة $m(t)$ تتبادل القيمتين ± 1

$$f_{1,2} = f_c \pm D_f/2\pi$$

ويلاحظ أن الانحراف الأقصى للتردد عن f_c هو $\pm D_f/2\pi$

أما النوع الثانى لإشارة BFSK فيتميز بطور غير مستمر ويمكن توليد الإشارة باستخدام مذبذبتين تردد أحدهما f_1 وتردد الآخر f_2 وتؤخذ إشارة الخرج من أحدهما أثناء الفترة T_b حيث يختار أحد الترددين بالتحكم في مفتاح تبديل بواسطة الإشارة $m(t)$ كما في شكل (4.4).



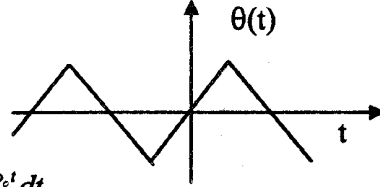
شكل (4.4) التضمين لإشارة FSK

مع الصعب حساب طيف إشارة FSK إلا في حالات خاصة يوضحها المثال التالي.

مثال: اعتبر الإشارة $m(t)$ تتكون من ± 1 بالتبادل دوريا ، لذلك يصبح انحراف الطور $\theta(t)$ دالة دورية في الزمن و يمكن تحليل الدالة بسلسلة فوريير كما يلي

$$\theta(t) = \pm 2\pi \Delta f t$$

$$e^{j\theta(t)} = \sum_{-\infty}^{\infty} c_n e^{jn\omega_o t}$$



$$c_n = \frac{1}{T_o} \int_{-T_o/4}^{T_o/4} e^{j\Delta\omega t - jn\omega_o t} dt + \int_{T_o/4}^{3T_o/4} e^{-j\Delta\omega(t-T_o/2) - jn\omega_o t} dt$$

$$= \frac{\sin \frac{\pi}{2}(h-n)}{\frac{\pi}{2}(h-n)} + (-1)^n \frac{\sin \frac{\pi}{2}(h+n)}{\frac{\pi}{2}(h+n)}$$

حيث h معامل التضمين ويعرف بأنه النسبة بين التأرجح الأقصى للتردد $2\Delta f$ و

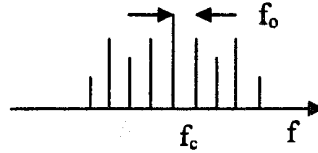
معدل نقل البيانات R أى أن $h = \Delta f T_o = 2\Delta f T$

لذلك يمكن كتابة معادلة الإشارة $s(t)$

$$s(t) = \text{Re} \{ A_c e^{j\omega_c t} \sum_{-\infty}^{\infty} c_n e^{jn\omega_o t} \}$$

$$= \text{Re} \{ A_c \sum_{-\infty}^{\infty} c_n e^{j(\omega_c + n\omega_o t)} \}$$

$$= A_c \sum_{-\infty}^{\infty} c_n \cos(\omega_c + n\omega_o t)$$



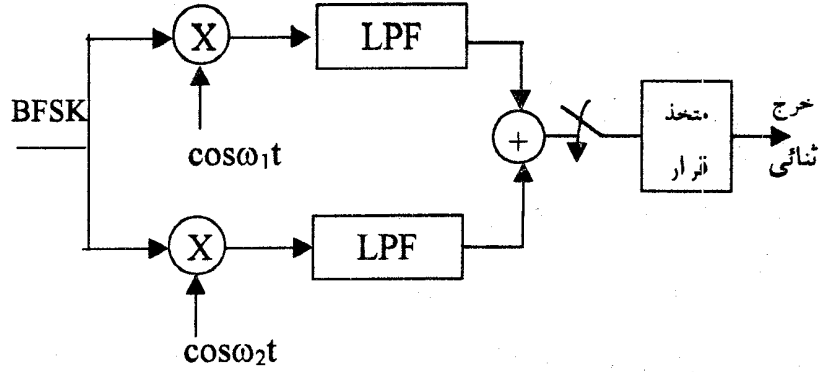
شكل (5.4) مثال لطيف FSK

لذلك يتكون الطيف من مركبات مركزة حول $f_c + n/2T_b$ شدتها $|c_n|$ كما يوضح

شكل (5.4) ، ويمكن تقدير نطاق تردد إشارة FSK باستخدام قاعدة كارسون

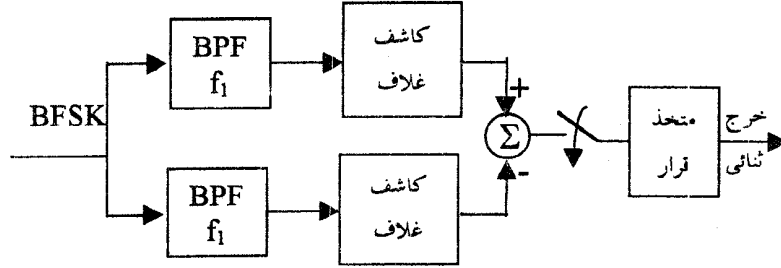
$$B_T = 2(\Delta f + B) = 2(\beta + 1)B$$

حيث B نطاق تردد الإشارة $m(t)$ وحيث أن $\beta = \Delta f / B$ هو معامل التضمين
 إذا كانت $\Delta f \ll B$ (أي أن $\beta \ll 1$) تصير الإشارة ضيقة النطاق narrowband
 وإذا كانت $\Delta f \gg B$ (أي أن $\beta \gg 1$) تصير الإشارة عريضة النطاق wideband.
 يمكن كشف إشارة FSK باستخدام كاشف متزامن أو كاشف غير متزامن، ويوضح شكل (6.4) تركيب الكاشف المتزامن.



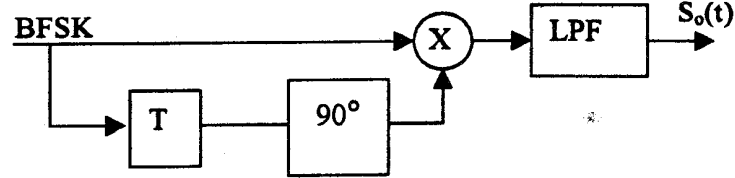
شكل (6.4) الكاشف المتزامن لإشارة BFSK

ويوضح شكل (7.4) تركيب كاشف غير متزامن.



شكل (7.4) الكشف الغير متزامن لإشارة BFSK

ويستخدم هذا الكاشف فرعين يتكون كل فرع من كاشف للغلاف بعد مرشح
 امرار حزمة BPF وسوف يحلل أداء هذه الكواشف في وجود الضوضاء فيما بعد.
 كما يبين شكل (8.4) كاشف تفاضلي يتكون من وحدة تأخير ومزيج للطور
 بمقدار 90 درجة ثم وحدة ضرب يتلوها مرشح امرار ترددات منخفضة LPF



شكل (8.4) الكاشف التفاضلي أحادى التأخير

بفرض أن الإشارة الداخلة $s(t)$ هي

$$s(t) = A_c \cos[\omega_c t + \theta(t)]$$

حيث $\theta(t)$ هي انحراف الطور نتيجة تضمين المعلومات الرقمية. وتكون الإشارة

الداخلة إلى المرشح هي

$$A_c^2 \cos[\omega_c t + \theta(t)] \sin[\omega_c (t - T) + \theta(t - T)]$$

$$= \frac{1}{2} A_c^2 \{ \sin[\theta(t) - \theta(t - T)] + \sin[2\omega_c t + \theta(t) + \theta(t - T)] \}$$

حيث تم فرض أن $\omega_c T = n2\pi$ حيث n عدد صحيح

وبذلك يكون الحد الأول هو الخارج من المرشح

$$s_o(t) = \frac{1}{2} A_c^2 \sin[\theta(t) - \theta(t - T)]$$

$$= \frac{1}{2} A_c^2 \sin(\pm h\pi) \text{ for } \pm 1$$

وبلاحظ أن الفرق بين قيمتي الإشارة الناتجة في حالة إرسال ± 1 يكون أكبر

مايمكن إذا كانت $h=0.5$ لأن قيمتي الإشارة تصيران $\pm A_c^2/2$ في حالتي إرسال

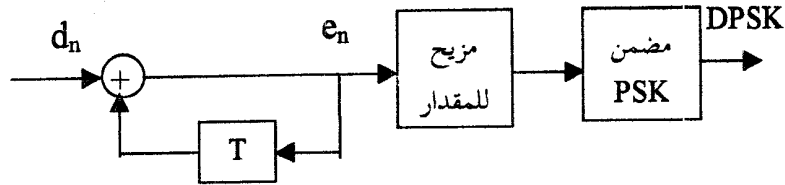
1 ± على الترتيب.

تسمى هذه الحالة الخاصة بتديل الإزاحة الدنيا Minimum Shift Keying لأنها تناظر أقل إزاحة تردد لتعطى موجتين جيبيتين متعامدتين كما سيتم بيانه فيما بعد.

4.1.4 تبديل إزاحة فرق الطور Differential Phase Shift Keying

أو باختصار DPSK وتستخدم هذه الإشارة بدلا من PSK التي تحتاج إلى كاشف متزامن كما سبق ذكره حيث تنقل المعلومات الرقمية في حالة DPSK في فرق الطور بدلا من الطور المطلق كما في إشارة PSK ، وبذلك يمكن استخدام كاشف تفاضلي لاستخراج المعلومات من الإشارة.

يتكون المضمن من مشفر قبلي و مزيج للمقدار ثم مضمن كما في شكل (9.4).



شكل (9.4) مضمن إشارة DPSK

باستخدام مشفر قبلي تتحول المعلومات الرقمية الثنائية $\{d_n\}$ إلى تغيرات في المتابعة الرقمية $\{e_n\}$ حيث

$$e_n = d_n \oplus e_{n-1}$$

ثم يحول الرمز 0 إلى مقدار سالب والرمز 1 إلى مقدار موجب في مزيج المقدار و أخيرا بالتحكم في طور المذبذب داخل مضمن PSK تنتج إشارة DPSK التي يكون طورها صفرا إذا كان $e_n = 0$ وطورها π إذا كان $e_n = 1$ كما يتضح من المثال التالي

الرمز الداخل d_n 1 1 0 1 0 0 1

الرمز المشفر e_n 1 0 1 1 0 0 0 1

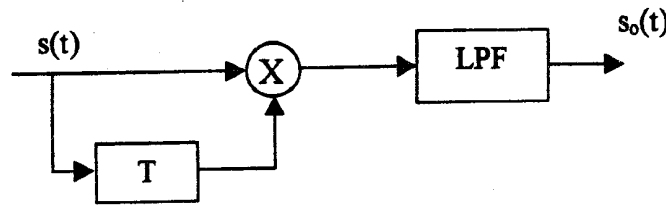
الطور θ π 0 π π 0 0 0 0 π

ويمكن كتابة إشارة DPSK كما يلي

$$s(t) = A_c \cos(\omega_c t + \theta(t))$$

حيث أن التغيرات في الطور $\theta(t)$ تعتمد على المعلومات الثنائية d_n .

ويتكون الكاشف التفاضلي كما في شكل (10.4).



شكل (10.4) الكاشف التفاضلي لإشارة DPSK

الإشارة الداخلة إلى مرشح الترددات المنخفضة LPF هي

$$\begin{aligned} s(t)s(t-T) &= A_c \cos[\omega_c t + \theta(t)] A_c \cos[\omega_c (t-T) + \theta(t-T)] \\ &= \frac{1}{2} A_c^2 \cos[\theta(t) - \theta(t-T)] + \frac{1}{2} A_c^2 \cos[2\omega_c t + \theta(t) + \theta(t-T)] \end{aligned}$$

حيث تم فرض $\omega_c T = n2\pi$ حيث n عدد صحيح لذلك يمر الحد الأول فقط من المرشح و يصبح الخرج

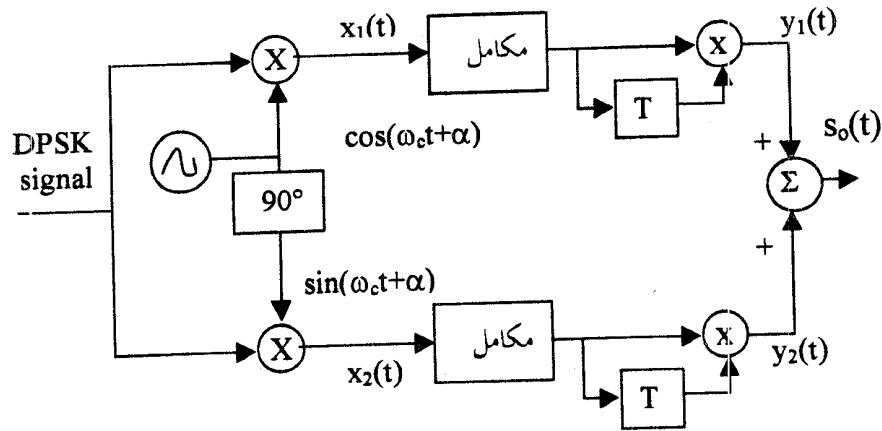
$$s_o(t) = \frac{1}{2} A_c^2 \cos[\theta(t) - \theta(t-T)] = \frac{1}{2} A_c^2 \cos \Delta\theta$$

وفيما يلي فرق الطور $\Delta\theta$ وإشارة الخرج $s_o(t)$ للمثال السابق

θ	π	0	π	π	0	0	0	π
$\Delta\theta$	$-\pi$	π	0	$-\pi$	0	0	π	
إشارة الخرج	-	-	+	-	+	+	-	

وبمقارنة إشارة الخرج بالمعلومات الرقمية الأصلية نستنتج قاعدة صنع القرار وهي
 قرر $d_n = 0$ إذا كانت إشارة الخرج موجبة وقرر $d_n = 1$ إذا كانت إشارة الخرج
 سالبة.

يلاحظ أن هذا الكاشف لا يحتاج لمعرفة التردد والطور المطلقين للإشارة $s(t)$ ولكن
 يحتاج إلى تزامن الرموز لأخذ عينات في اللحظات المناسبة لصنع القرار.
 يتميز الكاشف التفاضلي بالبساطة ولكن أداءه في وجود الضوضاء أقل جودة من
 الكاشف الأفضل optimum detector المبين في شكل (11.4) والذي يتكون من
 فرعين يتم في كل منهما ضرب الإشارة القادمة في موجة جيبية له نفس تردد
 الموجة الحاملة ثم دائرة تكامل ثم تؤخر الإشارة الخارجة من دائرة التكامل وتضرب
 في نفسها ثم تجمع الإشارتان الناتجتان في الفرعين ويصنع القرار بناء على إشارة
 المجموع كما سبق بيانه في الكاشف التفاضلي حيث أن هذا المجموع يتناسب مع
 $\cos \theta$ في حالة عدم وجود ضوضاء وفيما يلي تحليل تفصيلي للكاشف التفاضلي
 لاثبات أن الخرج يتناسب مع $\cos \theta$



شكل (11.4) الكاشف الأمثل لإشارة DPSK

في حالة عدم وجود الضوضاء تكون الإشارة $x_1(t)$ الداخلة لدائرة التكامل في الفرع العلوى

$$x_1(t) = A_c \cos[\omega_c t + \theta(t)] \cos[\omega_c t + \alpha]$$

$$= \frac{1}{2} A_c \{ \cos[\theta(t) - \alpha] + \cos[2\omega_c t + \theta(t) + \alpha] \}$$

ونظرا لأن الحد الثانى يحتوى على موجة جيبية عالية التردد يكون تكامله صفرا، ويصير الخارج من دائرة التكامل في الفرع العلوى

$$(A_c T / 2) \cos[\theta(t) - \alpha]$$

بفرض أن الطور $\theta(t)$ ثابت أثناء فترة التكامل وتصير الإشارة

$$y_1(t) = (A_c T / 2)^2 \cos[\theta(t) - \alpha] \cos[\theta(t - T) - \alpha]$$

وبالمثل الإشارة $x_2(t)$ الداخلة إلى دائرة التكامل في الفرع السفلى

$$x_2(t) = A_c \cos[\omega_c t + \theta(t)] \sin[\omega_c t + \alpha]$$

$$= \frac{1}{2} A_c \{ \sin[\alpha - \theta(t)] + \sin[2\omega_c t + \theta(t) + \alpha] \}$$

ويصير الخارج من دائرة التكامل

$$(A_c T / 2) \sin[\alpha - \theta(t)]$$

وتصير الإشارة

$$y_2(t) = (A_c T / 2)^2 \sin[\alpha - \theta(t)] \sin[\alpha - \theta(t - T)]$$

وتصير الإشارة الخارجة $s_o(t)$

$$s_o(t) = y_1(t) + y_2(t) = (A_c T / 2)^2 \cos[\theta(t) - \theta(t - T)]$$

$$= (A_c T / 2)^2 \cos \Delta\theta$$

2.4 طرق التضمين الرقمى المتعدد Multilevel Digital Modulation

في هذه الطرق تتكون البيانات الرقمية التى تكون الرسالة من سلسلة رموز بحيث

أن أى رمز يمكن أن يأخذ قيما متعددة عددها $M=2^k$

حيث k عدد الأرقام الثنائية التي يمكن تمثيل الرمز بها.

1.2.4 تبديل الإزاحة للسعة المتعددة

M-ary Amplitude Shift Keying

تتبدل سعة الموجة الحاملة بين عدة قيم هي $0, a, 2a, \dots, (M-1)a$ على سبيل المثال ويمكن تمثيل الإشارة في الفترة الزمنية T_s بالمعادلة

$$S_k(t) = A_k \cos \omega_c t$$

حيث A_k هي سعة الموجة أثناء هذه الفترة، ويلاحظ أن طول الفترة $T_s = kT$

حيث T_b هو طول فترة الزمن الثنائي. أيضا يمكن تمثيل الإشارة بالمعادلة

$$s(t) = m(t) \cos \omega_c t$$

حيث $m(t)$ تمثل الرسالة التي تتكون من سلسلة الرموز $\{A_k\}$

ولذلك فإن دائرة التضمين هي نفسها المستخدمة لتوليد ASK

كما يمكن استخدام كاشف الغلاف أو الكاشف المتزامن ثم أخذ عينات يتخذ القرار حسب قيمتها

إذا كانت السعة تأخذ عدة قيم متوسطها صفر أي $\pm a, \pm 2a, \dots, \pm (M-1)a$ على سبيل المثال فلابد من استخدام الكاشف المتزامن لأن طيفها لن يحتوي على مركبة مركزة عند تردد الموجة الحاملة وتأخذ كثافة القدرة الطيفية للإشارة شكل $\text{sinc}^2(f-f_c)T_s$

وبذلك يكون نطاق فصها الأساسي $2/T_s$ أو $2/kT$ ومركزا عند f_c

2.2.4 تبديل الإزاحة للطور المتعدد M-ary Phase Shift Keying

أو باختصار MPSK حيث يبدل طور الموجة الحاملة بين عدة قيم عددها M وعادة تأخذ القيم

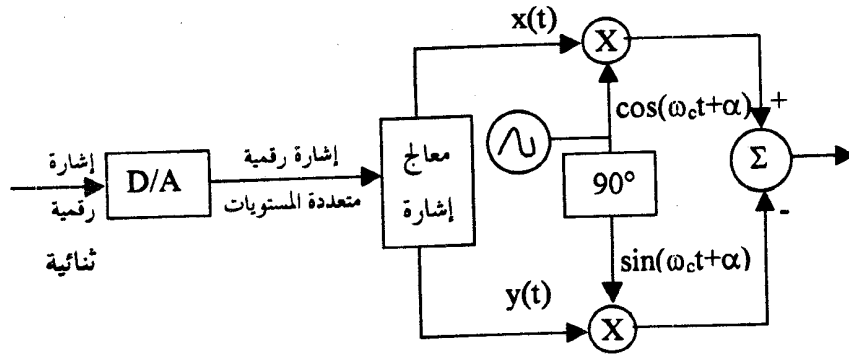
$$\theta_i = \frac{i-1}{M} 2\pi$$

حيث $i = 1, 2, \dots, M$

بحيث تكون الإشارة في الفترة $kT_s \leq t < (k+1)T_s$

$$s(t) = A_c \cos(\omega_c t + \theta_k) \\ = A_c \cos \theta_k \cos \omega_c t - A_c \sin \theta_k \sin \omega_c t$$

وتوضح المعادلة الأخيرة أن MPSK يمكن توليدها باستخدام موجتين حاملتين متعامدتين لهما نفس التردد وتبديل سعة كل منهما بين عدد من القيم كما بشكل (12.4).



شكل (12.4) مضمن MPSK

حيث يقوم معالج الإشارة بتعيين الزاوية θ_k التي تناظر الرقم الذي يمثل قيمة الإشارة

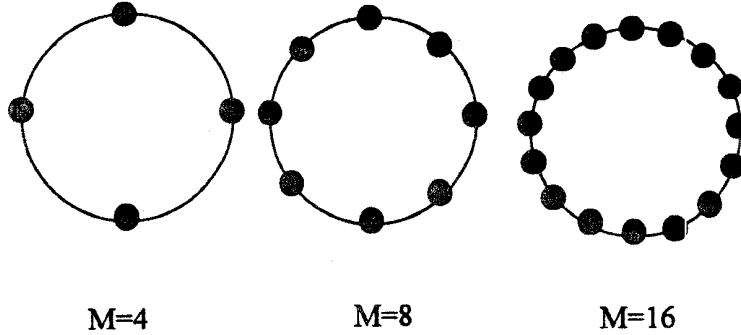
الرقمية متعددة المستويات في فترة معينة طولها $kT = T_s$

وحساب الكميتين $y(t) = A_c \sin \theta_k$, $x(t) = A_c \cos \theta_k$

لاستخدامهما في ضرب الموجتين الحاملتين.

يمكن تمثيل الإشارة MPSK في مستوى باستخدام محورين عموديين يمثل أحدهما الموجة الحاملة $\cos \omega_c t$ ويمثل الآخر الموجة الحاملة العمودية $\sin \omega_c t$ ، ويتوقع

الإحداثيات لسعة كل موجة نلاحظ أن القيم الممكنة للإشارة تقع على محيط دائرة على زوايا متساوية كما بشكل (13.4).



شكل (13.4) القيم الممكنة لإشارة MPSK

3.2.4 التضمين السعوى المتعامد

(Quadrature Amplitude Modulation)

أو باختصار QAM حيث تقع القيم الممكنة للإشارة على رؤوس مربعات في مستوى نتيجة أن سعتي الموجتين المتعامدتين تتبدل بين عدة قيم، لذلك يمكن التعبير عن الإشارة بالمعادلة

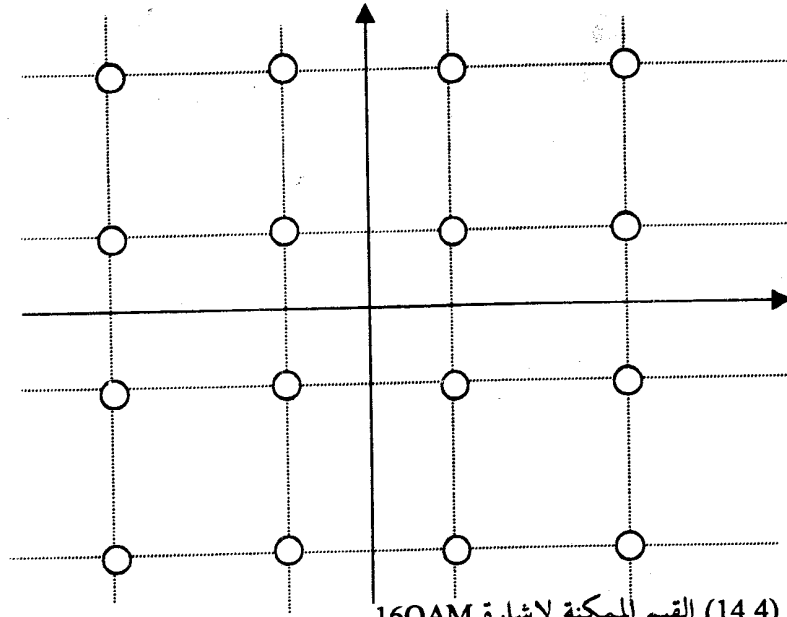
$$s(t) = \text{Re}\{[x(t) + jy(t)]e^{j\omega_c t}\} = x(t) \cos \omega_c t - y(t) \sin \omega_c t$$

حيث أن $x(t)$, $y(t)$ تأخذ أحد القيم $\pm a, \pm 3a, \dots, \pm(\sqrt{M}-1)a$

بحيث أن الرموز الناتجة يمكن تمثيلها بالغلاف المركب

$$g(t) = x(t) + jy(t)$$

وكذلك يمكن تمثيلها كما في شكل (14.4).



شكل (14.4) القيم الممكنة لإشارة 16QAM

يمكن التعبير عن $x(t)$ كما يلي

$$x(t) = \sum_{n=-\infty}^{\infty} x_n p(t - nT_s)$$

حيث $p(t)$ نبضة مستطيلة طولها $T_s = kT$ ومقدارها الوحدة بينما الرمز x_n يأخذ إحدى القيم

$$\pm a, \pm 3a, \dots, \pm(\sqrt{M} - 1)a$$

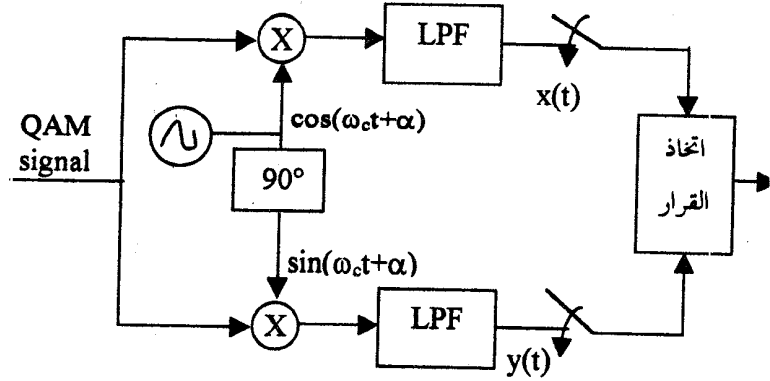
وبالمثل يمكن التعبير عن الإشارة $y(t)$ كما يلي

$$y(t) = \sum_{n=-\infty}^{\infty} y_n p(t - nT_s)$$

حيث أن الرمز y_n يأخذ إحدى القيم $\pm a, \pm 3a, \dots, \pm(\sqrt{M} - 1)a$

مستقلا عن x_n بحيث تظل قيمتا x_n, y_n ثابتتين أثناء الفترة T_s .

طيف إشارتي QAM, MPSK يأخذ شكل $\text{sinc}^2(f-f_c)T_s$ وبذلك يكون نطاق
فصها الأساسي $2/T_s$ وبالتالي يقل نطاق التردد اللازم لنقل هذه الإشارة بنسبة
 $\log_2 M = k$ عن نطاق إشارتي BASK, BPSK.
تحتاج إشارة QAM إلى كاشف متزامن موضح تركيبه في شكل (15.4).



شكل (15.4) الكاشف المتزامن لإشارة 16QAM.

ويمكن استخدام نفس الكاشف لكشف إشارة MPSK.
يمكن استخدام تشكيل النبضات في كل من QAM, MPSK لتقليل نطاق التردد
اللازم لنقل الإشارة فمثلا إذا استخدم مرشح جيب مرتفع معامل انحداره r يكون
نطاق تردد النبضات المشكلة $B = (1 + r)R_s/2$ و يكون نطاق تردد إشارة
MPSK, QAM هو

$$B_T = (1 + r)R_s$$

حيث R_s هو معدل الرموز و يعطى بالعلاقة $R_s = R/\log_2 M$

وبذلك تكون العلاقة بين نطاق تردد الإشارة و معدل النبضات الثنائية

$$B_T = (1 + r)R/\log_2 M$$

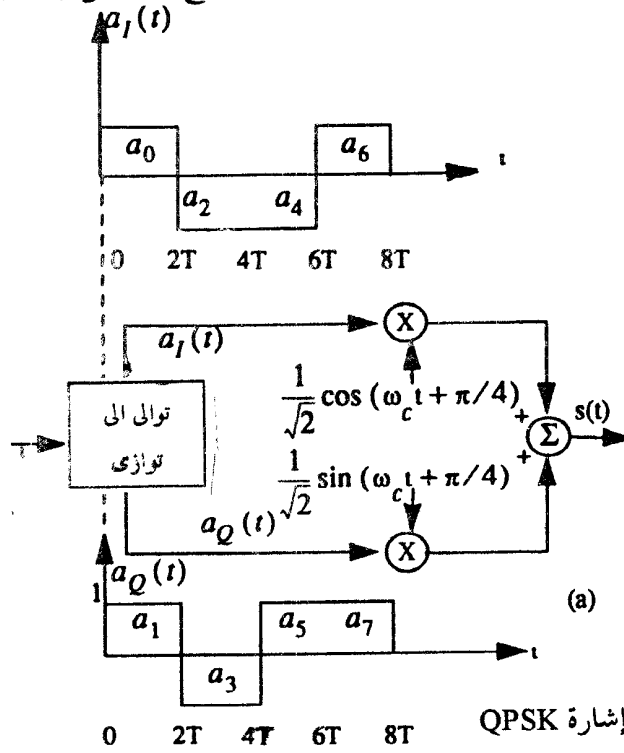
$$\eta = \frac{R}{B_T} = \frac{\log_2 M}{1+r}$$

وتصبح الكفاءة الطيفية

4.2.4 تبديل إزاحة الطور الرباعي

Quadrature Phase Shift Keying

أو باختصار QPSK و يعتبر حالة خاصة من MPSK حيث $M=4$ أو يتكون من إشارتين كل منهما BPSK ينقلان على التوازي باستخدام موجتين حاملتين لهما نفس التردد و لكن يختلفان في الطور بمقدار تسعون درجة، أى إذا كانت إحداها $\cos(\omega_c t + \alpha)$ تكون الأخرى $\sin(\omega_c t + \alpha)$ ، وتضمن الإشارة الأولى الأرقام الثنائية الزوجية الرتبة وتضمن الأخرى الإشارات الثنائية الفردية الرتبة بعد فصلهما وضرب كل منهما في الموجة الحاملة التي تخصها كما هو موضح في شكل (16.4).



شكل (16.4) توليد إشارة QPSK

يوضح الشكل توليد الإشارة

$$s(t) = A_1 a_I(t) \cos(\omega_c t + \alpha) + A_2 a_Q(t) \sin(\omega_c t + \alpha)$$

حيث $A_1 = A_2 = 1/\sqrt{2}$ والزاوية $\alpha = \pi/4$ في هذا الشكل

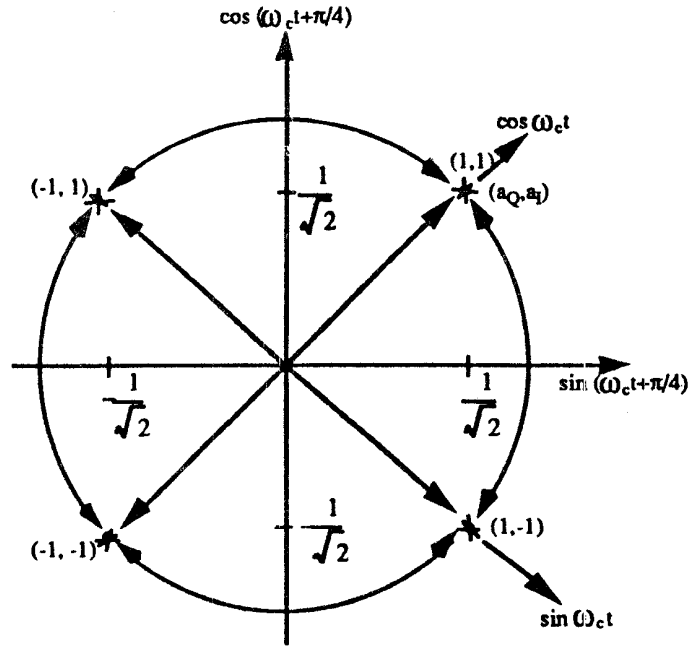
وتأخذ $a_I(t)$, $a_Q(t)$ القيم الثنائية ± 1 حسب الرقم الثنائي المراد نقله باستخدام نبضات مستطيلة طولها $2T$ ومعدل $1/2T$ رمز في الثانية. يمكن أيضا التعبير عن

الإشارة $s(t)$ بالمعادلة

$$s(t) = \cos(\omega_c t + \theta(t))$$

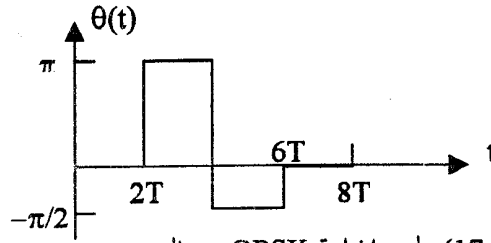
حيث $\theta(t)$ تأخذ أربع قيم ممكنة هي صفر، $\pm\pi/2$ ، π حسب قيمتي $a_I(t)$, $a_Q(t)$

كما هو موضح بشكل (b.16.4)



شكل (17.4) القيم و الانتقالات الممكنة للطور

وبلاحظ أن الإشارتين $a_I(t)$, $a_Q(t)$ متزامتان بحيث يمكن حدوث تغيير في قيمة أى منهما في نفس اللحظات $t = 2kT$ حيث k عدد صحيح وبذلك يمكن حدوث تغيير في قيمة الطور $\theta(t)$ عند نفس اللحظات بمقدار صفر أو $\pm\pi/2$ ، أو π ويوضح شكل (b.16.4) القيم الممكنة للطور وكذلك الانتقالات الممكنة من طور إلى آخر، كما يوضح شكل (17.4) طور الإشارة مع الزمن المناظر للمتابعة الثنائية المرسومة في شكل (a.16.4).

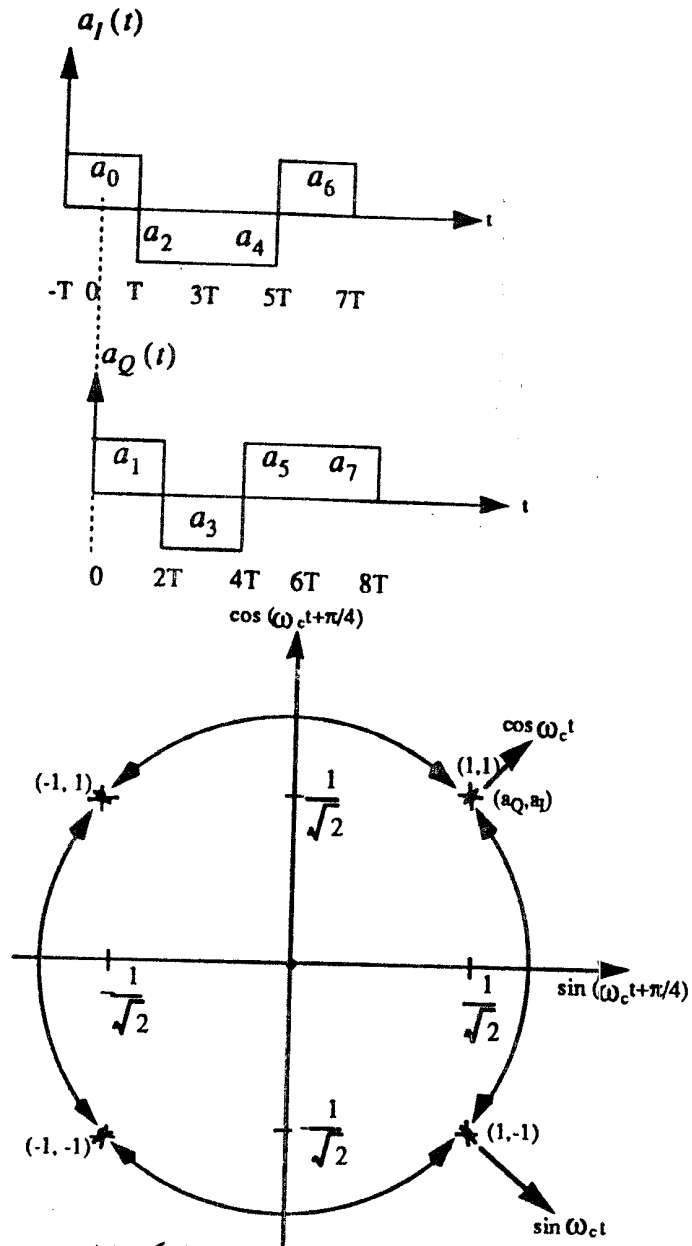


شكل (17.4) طور إشارة QPSK مع الزمن

5.2.4 تبديل إزاحة الطور الرباعي المؤخرة

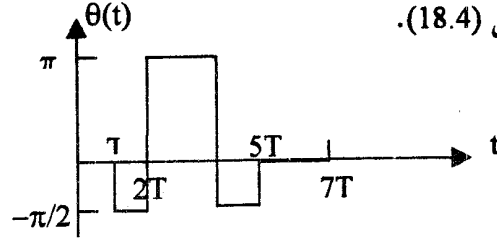
Offset Quadrature Phase Shift Keying

أو باختصار OQPSK ويمكن تمثيل هذه الإشارة بنفس المعادلات السابقة التي تمثل إشارة QPSK مع اختلاف واحد في تزامن الإشارتين $a_I(t)$, $a_Q(t)$ حيث تؤخر الإشارة $a_Q(t)$ بمقدار T عن نظيرتها في QPSK كما هو موضح في شكل (a.18.4). لذلك يمكن حدوث تغيير في قيمة $a_I(t)$ عند اللحظات $t = 2kT$ بينما يمكن حدوث تغيير في قيمة $a_Q(t)$ عند اللحظات $t = (2k+1)T$ ولذلك يمكن حدوث تغيير في قيمة الطور $\theta(t)$ عند اللحظات $t = kT$ ولكن مقدار هذا التغير يأخذ إحدى القيم صفر أو $\pm\pi/2$ فقط، ويوضح شكل (b.18.4) القيم الممكنة لطور إشارة OQPSK وكذلك الانتقالات الممكنة من طور لآخر.



شكل (18.4) إشاراتي $a_I(t)$ و $a_Q(t)$ والانتقالات الممكنة لطور OQPSK

ويوضح شكل (19.4) الطور الناتج لإشارة OQPSK مع الزمن المناظر للمتابعة الثنائية في شكل (18.4).

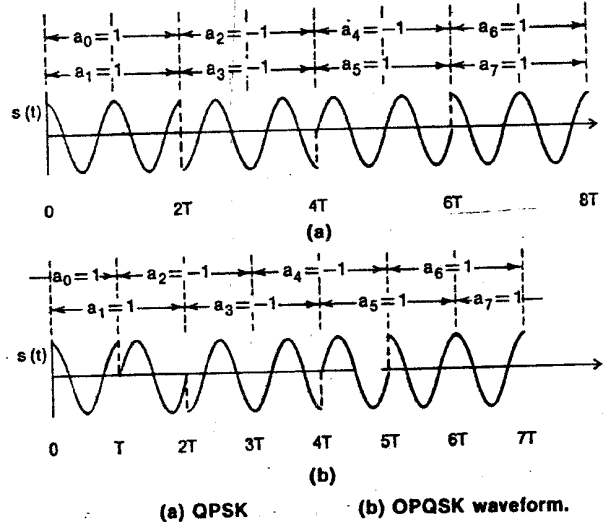


شكل (19.4) الطور الناتج لإشارة OQPSK

رغم وجود اختلاف في تزامن $a_i(t)$, $a_q(t)$ في إشارة QPSK و OQPSK إلا أن الإشارتين لهما نفس الكثافة الطيفية للقدرة $\text{sinc}^2(2fT)$ المرتبطة بشكل النبضة المستطيلة المستخدمة في الإشارتين ، ولكن الإشارتين يستجيبان بشكل مختلف لعملية ترشيح نطاق التردد bandpass filtering و التكبير اللاخطي nonlinear amplification اللتين تحدثان في بعض التطبيقات مثل الأقمار الصناعية وفيما يلي شرح مفصل لاستجابة كل منهما.

في إشارة QPSK يمكن أن يتغير الطور بمقدار 180 درجة إذا تغيرت قيمة $a_i(t)$ و قيمة $a_q(t)$ في نفس اللحظة و يوضح شكل (19.4) مثالا لإشارة QPSK حيث يتغير الطور بمقدار 180 درجة عند اللحظة $t = 2T$. عند ترشيح هذه الإشارة للحد من نطاق التردد يصير غلافها متغيرا و يمر بالصفر عند اللحظات التي يتغير فيها الطور بمقدار 180 درجة. عند تكبير الإشارة الناتجة في مكبر لاخطي يحد من الغلاف ليصير ثابتا و لكن في نفس الوقت تعود الفصوص الجانبية للطيف للظهور مرة أخرى و يزول تأثير الترشيح السابق مما قد يسبب تداخل هذه الإشارة في القنوات المجاورة. في إشارة OQPSK لا يمكن أن يتغير الطور بمقدار 180 درجة

لأن $a_I(t)$ و $a_Q(t)$ لا يتغيران في نفس اللحظة و يوضح شكل (19.4) مثالا لإشارة OQPSK لنفس المتابعة الثنائية الموضحة في شكل (16.4) .



شكل (19.4) مثال لإشارة QPSK وإشارة OQPSK مع الزمن عند ترشيح هذه الإشارة للحد من نطاق التردد التردد يصير غلافها متغيرا و لكنه لا يقل إلى الصفر و عند تكبير الإشارة الناتجة في مكبر لاخطى يحد من الغلاف ليصير ثابتا مرة أخرى لا تعود الفصوص الجانبية للطيف إلى مستواها الأول بخلاف ما حدث في حالة QPSK، يلاحظ أن سبب أفضلية استجابة OQPSK بالنسبة لاستجابة QPSK هو تجنب الإزاحة الكبيرة في الطور مما دعا إلى تصميم إشارات مستمرة الطور و ثابتة الغلاف للحصول على استجابة أفضل في التطبيقات المذكورة و من أهم هذه الإشارات إشارة MSK .

6.2.4 تبديل الإزاحة الدنيا Minimum Shift Keying

أو باختصار MSK ويمكن اعتبار هذه الإشارة حالة خاصة من إشارة OQPSK مع استخدام تشكيل جيبي للنبضات بدلا من الشكل المستطيل و بذلك تصبح إشارة MSK

$$s(t) = a_I(t) \cos \frac{\pi t}{2T} \cos \omega_c t + a_Q(t) \sin \frac{\pi t}{2T} \sin \omega_c t$$

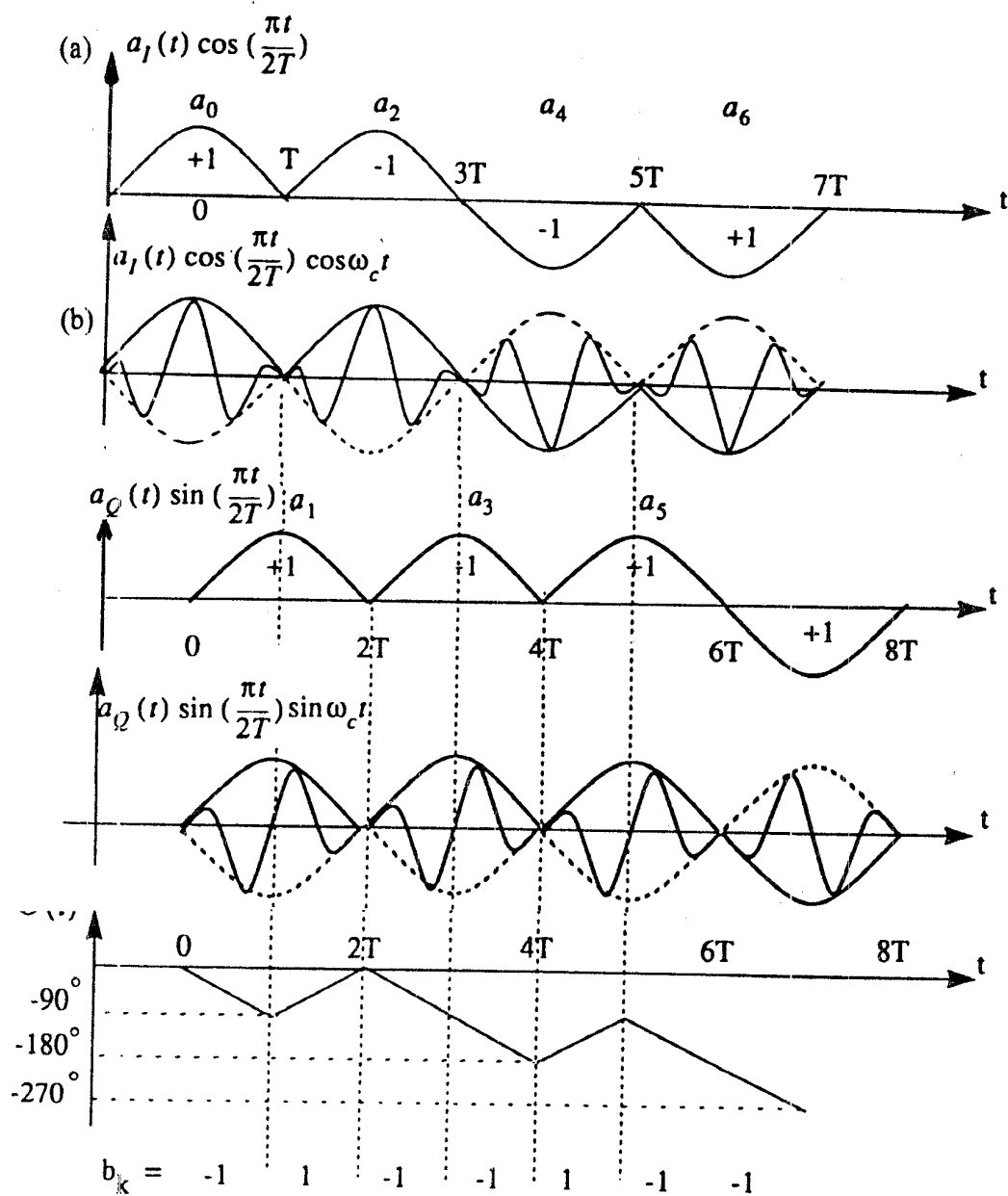
ويوضح شكل (20.4) المركبات المختلفة لإشارة MSK حيث يوضح شكل (a) الإشارة $a_I(t)$ مضروبة في نبضات جيبيه الشكل و يوضح شكل (b) الموجة الحاملة الأولى بعد التضمين و يوضح شكل (c) الإشارة $a_Q(t)$ مضروبة في نبضات جيبيه الشكل و يوضح شكل (d) الموجة الحاملة المتعامدة بعد التضمين و يوضح شكل (e) طور الإشارة $s(t)$ ذات الغلاف الثابت و يلاحظ أن الطور مستمر مع الزمن كما يلاحظ أنه يمكن التعبير عن هذه الإشارة بالمعادلة المختصرة

$$s(t) = \cos[\omega_c t + b_k(t) \frac{\pi t}{2T} + \phi_k]$$

حيث $b_k(t) = 1$ عندما تختلف قطبية الإشارتين $a_I(t)$ و $a_Q(t)$ وتكون $b_k(t) = -1$ عندما تكون قطبية الإشارتين متماثلة و حيث ϕ_k ثابت لضمان استمرارية الطور. لذا يمكن اعتبار $b_k(t) = -a_I(t)a_Q(t)$ مما سبق يتبين أن إشارة MSK لها الخواص الآتية أولا: أن لها غلاف ثابت

ثانيا: أن لها طور مستمر يتكون من خطوط مستقيمة ميلها $\pm \pi/2T$.

ثالثا: أنها حالة خاصة من FSK بحيث أن التردد الأول $f_+ = f_c + 1/4T$ والتردد الثاني $f_- = f_c - 1/4T$ وبذلك يكون الفرق بين أكبر و أقل تردد $2\Delta f$ هو نصف معدل الرموز الثنائية $1/T$ أو بتعبير آخر معامل التضمين $h = 0.5$ وهو أقل قيمة



شكل (20.4) مركبات إشارة MSK

لهذا المعامل تجعل $\cos 2\pi f_c t$ و $\cos 2\pi f_c t$ متعامدين orthogonal أى أن

$$\int_0^T \cos 2\pi f_+ t \cos 2\pi f_- t dt = 0$$

رابعا: أن الطور يزيد أو ينقص بمقدار $\pi/2$ خلال أى فترة T حسب قطبية $b_k(t)$ بحيث يزيد فى حالة القطبية الموجبة و ينقص فى حالة القطبية السالبة ، ولذلك

$$b_k = \pm 1 \text{ إذا كان } \Delta\theta(T) = \theta((k+1)T) - \theta(kT) = \pm\pi/2$$

لذلك يمكن استخدام الكشف الغير متماسك noncoherent detection لإشارة

MSK مثل الكاشف التفاضلى differential detector ودائرة التمييز

discriminator وهذه تعتبر ميزة هامة لهذه الإشارة بخلاف إشارتي QPSK و

OQPSK اللتين يحتاجان إلى كاشف متماسك coherent detection.

وهناك ميزة أخرى هامة لإشارة MSK هى الكثافة الطيفية للقدرة لها والتي تعتبر

أفضل من تلك الخاصة بإشارتي QPSK و OQPSK وفيما يلى شرح تفصيلي

لذلك

فى حالة QPSK و OQPSK تستخدم نبضة مستطيلة عرضها $2T$ فى كل من

المركبتين $a_I(t)$, $a_Q(t)$ لذلك فكثافة القدرة الطيفية للإشارة القطبية $a_I(t)$ أو $a_Q(t)$

هى

$$S_g(f) = 2T \text{sinc}^2(2fT)$$

ومن ثم فالكثافة الطيفية لقدرة المركبة $A_c a_I(t) \cos 2\pi f_c t$ هى

$$\frac{A_c^2}{4} 2T [\sin^2 2(f - f_c)T + \sin^2 2(f + f_c)T]$$

وبذلك تصبح كثافة القدرة لإشارة QPSK الممثلة بالمعادلة

$$s(t) = A_c [a_I(t) \cos(2\pi f_c t + \alpha) + a_Q(t) \sin(2\pi f_c t + \alpha)]$$

هى

$$S_s(f) = A_c^2 T [\sin^2 c^2 (f - f_c) T + \sin^2 c^2 (f + f_c) T]$$

مع ملاحظة أن نطاق التردد للفص الأساسي هو $1/T$ أي نصف نطاق تردد الفص الأساسي لإشارة PSK الثنائية و بذلك فالكفاءة الطيفية لكل من QPSK و OQPSK هي ضعف الكفاءة الطيفية لإشارة PSK الثنائية.

في حالة MSK تستخدم نبضة جيبية عرضها $2T$ و تعطى بالعلاقة

$$p(t) = \cos \frac{\pi t}{2T} \text{rect}\left(\frac{t}{2T}\right)$$

وتحويل فوريير لهذه النبضة هو

$$P(f) = \frac{4T}{\pi} \left[\frac{\cos 2\pi f T}{1 - 16f^2 T^2} \right]$$

لذا تصبح كثافة القدرة الطيفية للإشارة القطبية

$$\frac{1}{2T} |P(f)|^2 = \frac{8T}{\pi^2} \left[\frac{\cos 2\pi f T}{1 - 16f^2 T^2} \right]^2$$

وبذلك تصبح كثافة القدرة لغللاف إشارة MSK المثلثة بالمعادلة

$$g(t) = A_c [a_I(t) \cos \frac{\pi t}{2T} + j a_Q \sin \frac{\pi t}{2T}]$$

هي

$$S_g(f) = A_c^2 \frac{16T}{\pi^2} \left[\frac{\cos 2\pi f T}{1 - 16f^2 T^2} \right]^2$$

للمقارنة بين طيفي MSK و QPSK لهما نفس القدرة الكلية يؤخذ المقدار

$A_c = 1/\sqrt{2}$ في إشارة QPSK ويؤخذ $A_c = 1$ في إشارة MSK ، عندئذ تصبح

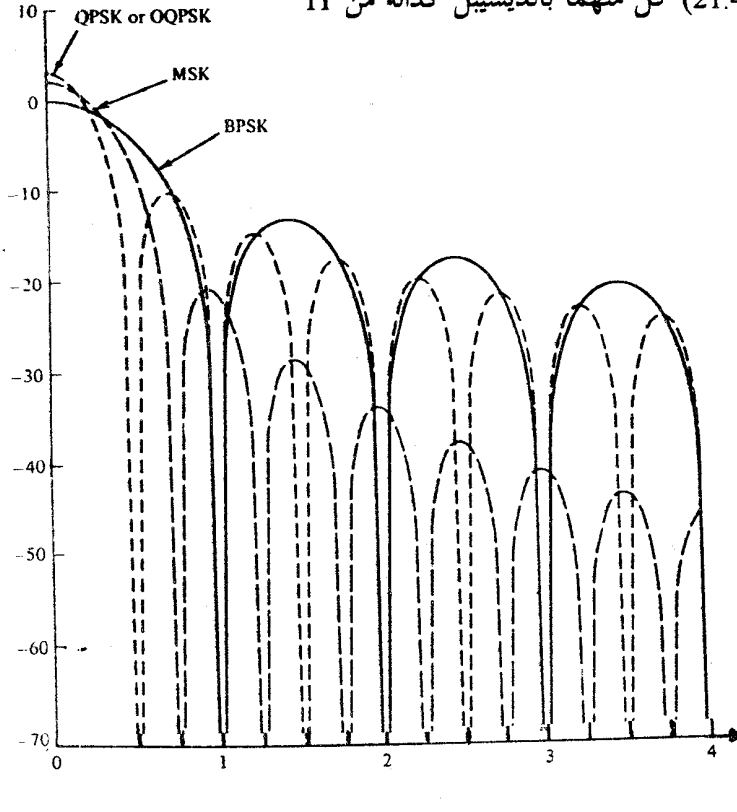
كثافة القدرة لغللاف إشارة QPSK

$$S_{gQPSK} = 2T \sin^2 c^2 (2fT)$$

وتصبح كثافة القدرة لغللاف إشارة MSK

$$S_{gMSK}(f) = \frac{16T}{\pi^2} \left[\frac{\cos 2\pi fT}{1 - 16f^2T^2} \right]^2$$

ويوضح شكل (21.4) كل منهما بالديسبل كدالة من fT



شكل (21.4) الكثافة الطيفية لقدرة إشارتي QPSK و MSK

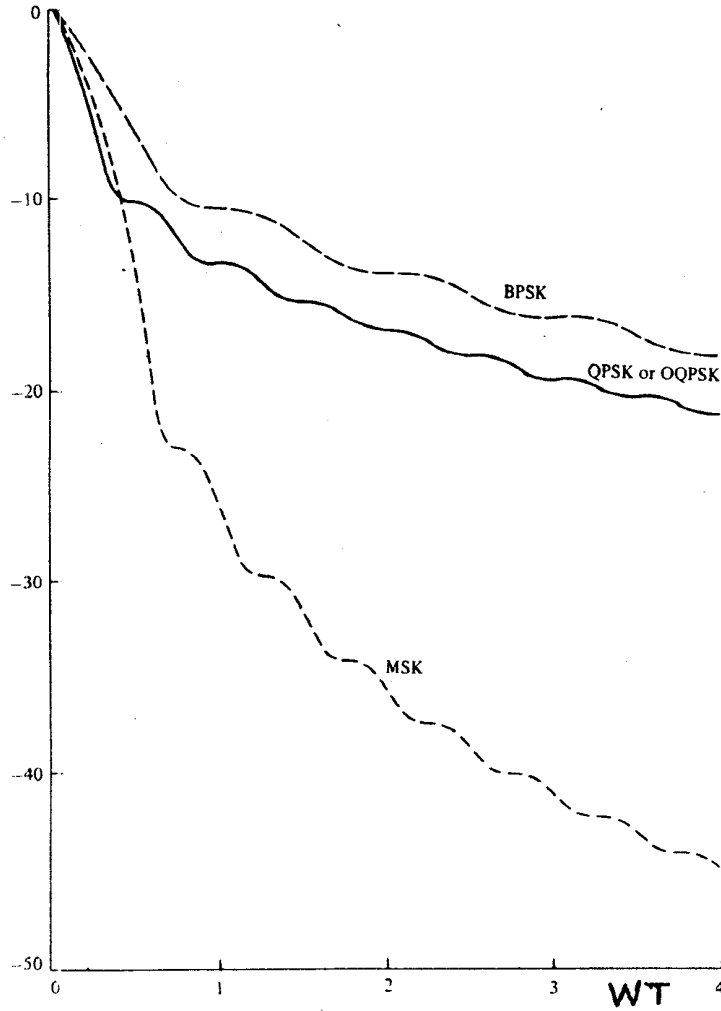
يلاحظ أن الفصوص الجانبية في حالة MSK تقل بمعدل أكبر من نظائرها في حالة QPSK بالرغم من أن عرض نطاق الفص الأساسي في MSK هو $1.5/T$ أي يزيد بنسبة خمسين في المائة عن نظيره في QPSK .

إذا حسبنا نطاق التردد B الذي يحتوي على 99% من قدرة الإشارة نجد أن $B \approx 8/T$ في حالة QPSK لكنه $B \approx 1.2/T$ في حالة MSK .

كذلك بتعريف نسبة القدرة الموجودة خارج نطاق تردد معين W بالمعادلة

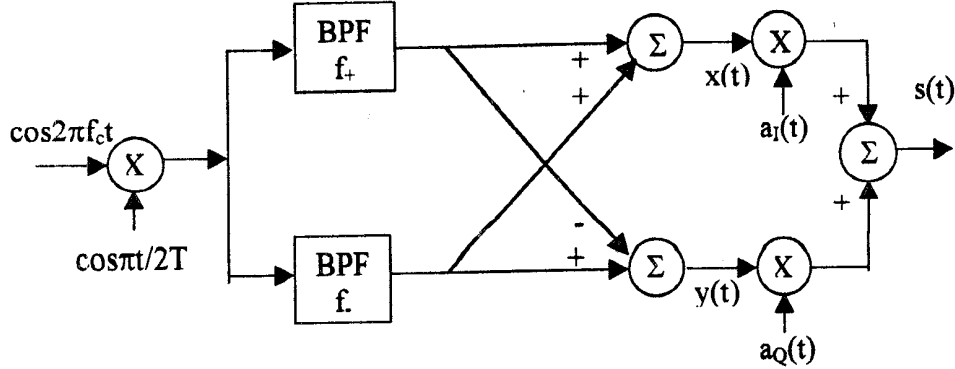
$$F = \frac{\int_{\omega}^{\infty} S(f) df}{\int_0^{\infty} S(f) df}$$

يوضح شكل (22.4) مقارنة F بالديسيبل للإشارتين كدالة من WT



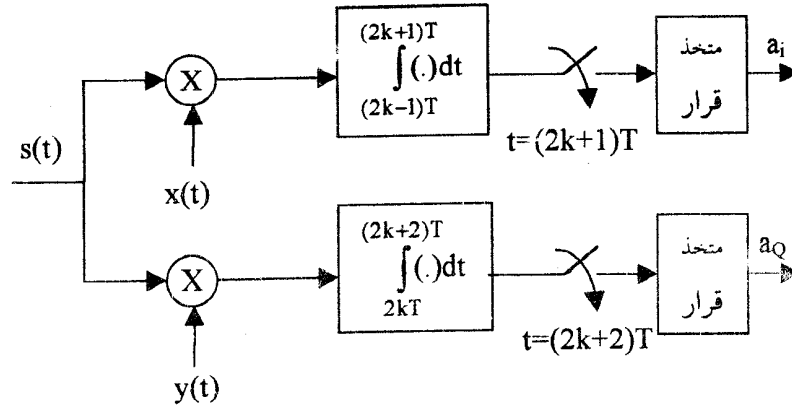
شكل (22.4) نسبة القدرة بالديسيبل خارج نطاق التردد

كما سبق يتضح امتياز MSK عن QPSK في الكفاءة الطيفية
يمكن توليد إشارة MSK باستخدام المولد الموضح في شكل (23.4)



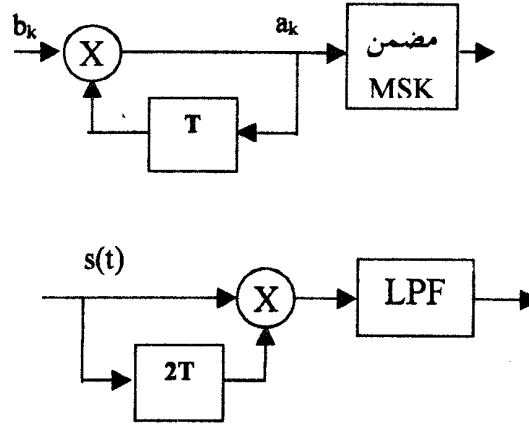
شكل (23.4) توليد إشارة MSK

ويمكن استخدام جهاز الاستقبال الموضح في شكل (24.4) لاستقبالها.
أيضا يمكن استخدام الكاشف التفاضلي لاستقبال إشارة MSK وقد سبق شرح
عمل الكاشف التفاضلي الأحادي التأخير و فيما يلي شرح لعمل الكاشف
التفاضلي ثنائي التأخير two-bit differential detector.



شكل (24.4) تركيب جهاز استقبال إشارة MSK

يتم أولاً تشفير تفاضلي قبل إدخال الإشارة الثنائية القطبية إلى المضمن كما في شكل (4.25).



شكل (25.4) الكشف التفاضلي ثنائي التأخير لإشارة MSK

حيث تحول الإشارة القطبية b_k إلى الإشارة القطبية a_k بتأخير الأخيرة لمدة T وضربها في الأولى وبذلك يمكن التعبير عن a_k بالمعادلة

$$a_k = a_{k-1} b_k$$

وبذلك يكون الرمز a_k مماثلاً للرمز السابق في القطبية إذا كان $b_k = 1$ ويكون مخالفاً له في القطبية إذا كان $b_k = -1$

بالتعبير عن إشارة MSK بالمعادلة $s(t) = \cos(\omega_c t + \theta)$

حيث $\theta(t)$ هي الطور المستمر وبذلك يكون الدخل إلى مرشح امرار الترددات

المنخفضة LPF حاصل ضرب الإشارتين المعطى بـ

$$\begin{aligned} & \cos[\omega_c t + \theta(t)] \cos[\omega_c (t - 2T) + \theta(t - 2T)] \\ &= \frac{1}{2} \cos[2\omega_c T + \theta(t) - \theta(t - 2T)] + \frac{1}{2} \cos[2\omega_c t + -2\omega_c T + \theta(t) + \theta(t - 2T)] \end{aligned}$$

وبلاحظ أن الحد الثاني يحتوى على تردد عالى و بذلك لن يمر من المرشح و يصير
الخرج من المرشح

$$y(t) = \frac{1}{2} \cos[\theta(t) - \theta(t - 2T)]$$

حيث تم اختيار تردد الموجة الحاملة f_c لتكون أحد مضاعفات معدل البيانات
الرقمية الثنائية وبذلك يكون $\omega_c T = 2n\pi$ وبأخذ عينات من الخرج بمعدل $1/T$
تكون العينة

$$y(kT) = \frac{1}{2} \cos(a_k + a_{k-1}) \frac{\pi}{2}$$

و بذلك تكون العينة موجبة إذا كان $b_k = -1$ ليكون $a_k = -a_{k-1}$

و تكون العينة سالبة إذا كان $b_k = 1$ ليكون $a_k = a_{k-1}$

لذلك فقاعدة صنع القرار هي : قرر أن $b_k = 1$ إذا كانت العينة سالبة و : قرر
أن $b_k = -1$ إذا كانت العينة موجبة.

7.2.4 تبديل إزاحة فرق الطور الرباعي Differential QPSK

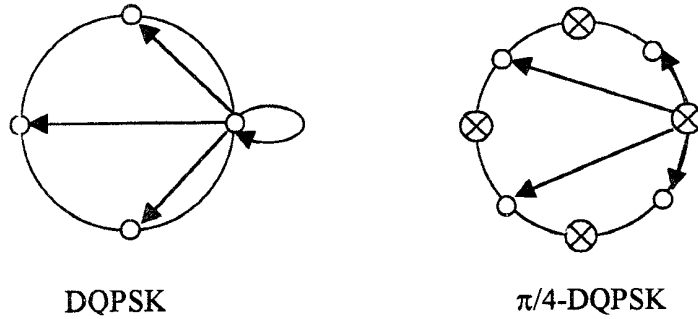
أو باختصار DQPSK وتستخدم هذه الإشارة بدلا من QPSK حتى يمكن
استخدام كاشف غير متزامن (حيث أن إشارة QPSK تحتاج إلى كاشف متزامن
كما سبق بيانه) وذلك بتمثيل الرموز الرقمية بفرق في الطور بدلا من القيمة المطلقة
للطور كما يوضح الجدول التالي لنوعين من DQPSK.

الرموز الرقمية	a_Q	a_I	$\Delta\theta$ في DQPSK	$\Delta\theta$ في $\pi/4$ -DQPSK
-1 +1	-1	+1	$\pi/2$	$3\pi/4$
1 1	1	1	0	$\pi/4$
1 -1	1	-1	$-\pi/2$	$-\pi/4$
-1 -1	-1	-1	π	$-3\pi/4$

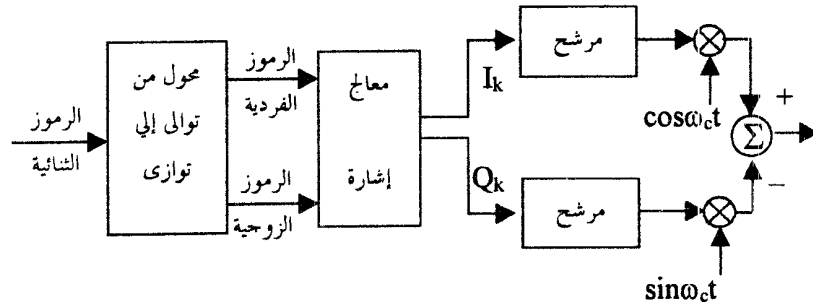
حيث يتجنب النوع الثاني $\pi/4$ -DQPSK الإزاحة التي مقدارها π حتى لا يمر غلافها بالصفر إذا رشحت كما سبق بيانه.

في النوع الأول DQPSK يأخذ الطور المطلق أحد القيم الأربعة : صفر ، π ، $\pm \pi/2$ ويتنقل بينها كما يوضح شكل (26.4)

أما النوع الثاني $\pi/4$ -DQPSK فيأخذ الطور المطلق إحدى القيم الثمانية التي يمكن تقسيمها إلى مجموعتين بحيث ينتقل الطور من أحد القيم الأربعة في مجموعة إلى أحد القيم الأربعة في المجموعة الثانية كما يوضح شكل (26.4) الذي يمثل نقط المجموعة الأولى بدوائر والثانية بـ \otimes



شكل (26.4) لقيم والانتقالات الممكنة لإشارتي DQPSK و $\pi/4$ -DQPSK



شكل (27.4) توليد إشارة DQPSK

ويلاحظ أن الطور يظل ثابتا لفترات زمنية أطولها $2T$ وتمثل الأسهم التغير في الطور $\Delta\theta$ الممكنة. يوضح شكل (27.4) كيفية توليد إشارة DQPSK بنوعها حيث

يتم تحويل سيل البيانات الرقمية الثنائية من توالى إلى توازى على فرعين يحتوى الأول على البيانات الرقمية الثنائية الزوجية الرتبة a_I ويحتوى الثانى على البيانات الرقمية الثنائية الفردية الرتبة a_Q ثم يقوم معالج الإشارة بحساب فرق الطور المناظر $\Delta\theta_k$ لفترة زمنية طولها $2T$ بناء على الرمزين a_I و a_Q الداخلين أثناء هذه الفترة حسب الجدول السابق ثم يضيف هذا الفرق إلى الطور السابق حسابه في الفترة السابقة θ_{k-1} لحساب الطور المطلق $\theta_k = \theta_{k-1} + \Delta\theta_k$ للفترة الحالية وحساب

رقمين I_k, Q_k حسب المعادلتين

$$I_k = \cos \theta_k, \quad Q_k = \sin \theta_k$$

ثم يضرب الرقم الأول I_k في الموجة الحاملة $\cos \omega_c t$

ويضرب الرقم الثانى Q_k في الموجة الحاملة العمودية $\sin \omega_c t$ ويضاف الناتجان

بإشارتين مختلفتين في دائرة الجمع لتوليد الإشارة $s(t)$ التى تعطى بالمعادلة الآتية في الفترة الزمنية

$$s(t) = I_k \cos \omega_c t - Q_k \sin \omega_c t \quad 2kT < t < (2k+2)T$$

$$s(t) = \cos \theta_k \cos \omega_c t - \sin \theta_k \sin \omega_c t = \cos(\omega_c t + \theta_k)$$

بفرض أن المرشحين غير موجودين يلاحظ أن الرقمين I_k و Q_k يظلان ثابتين أثناء

فترة زمنية طولها $2T$ وهذا يعنى استخدام نبضات مستطيلة طولها $2T$ فيكون

طيف الإشارة $s(t)$ في هذه الحالة بشكل sinc^2 عرض نطاق فحسه الأساسى $1/T$

ويتركز عند f_c أما في حالة استخدام مرشحين لتشكيل النبضات ذات السعة I_k و

Q_k يمكن تقليل نطاق التردد اللازم لنقل الإشارة كما سبق شرحه في إشارات

QAM . فمثلا تستخدم النظم الخليوية الرقمية للهواتف النقالة في أمريكا واليابان

$\pi/4$ DQPSK ومرشحين من نوع الجيب المرتفع raised cosine. معامل انحدار rolloff factor معين.

تولد نبضة ناعمة $g(t)$ بواسطة مرشح استجابته الترددية

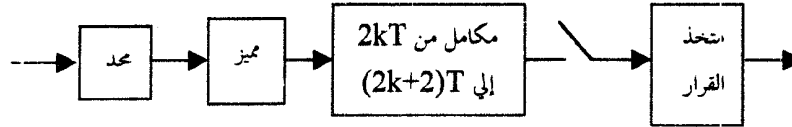
$$H(f) = \begin{cases} T & 0 \leq |f| \leq \frac{1-\alpha}{2T} \\ T \sqrt{\frac{1}{2} \left[1 - \sin \frac{\pi T}{\alpha} \left(|f| - \frac{1}{2T} \right) \right]} & \frac{1-\alpha}{2T} \leq |f| \leq \frac{1+\alpha}{2T} \\ 0 & |f| \geq \frac{1+\alpha}{2T} \end{cases}$$

أى أن الاستجابة الترددية للمرشح هي الجذر التربيعي لمنحنى جيب تمام مرتفع معامل انحداره α .

وتصير الإشارة المرسله ممثلة بالمعادلة الآتية

$$s(t) = \sum_{k=-\infty}^{\infty} h(t-kT) \cos(2\pi f_c t + \theta_k)$$

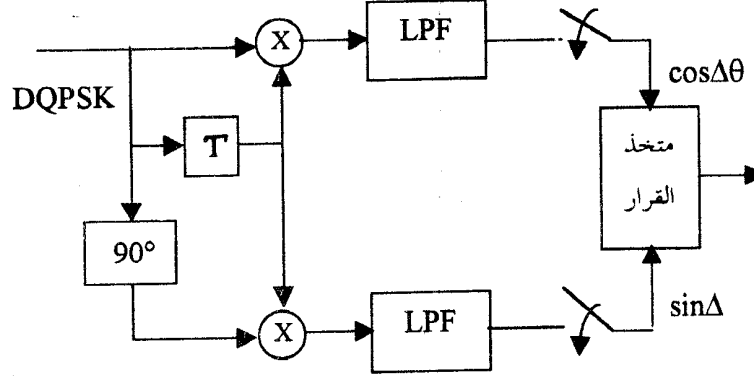
يمكن كشف إشارة QPSK بنوعيتها باستخدام الكاشف التفاضلي أو الكاشف التمييزي وهما من النوع الغير متماسك و كذلك يمكن استخدام الكشف المتماسك.



شكل (28.4) الكاشف التمييزي

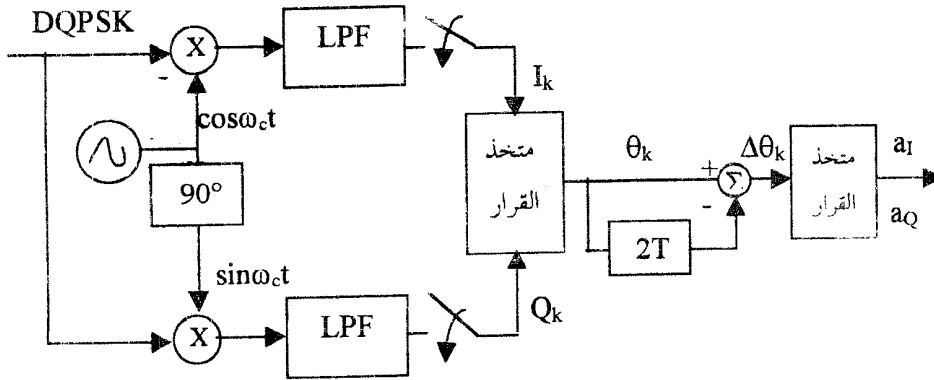
ويوضح شكل (28.4) الكاشف التمييزي الذي يتكون من مميز يعطى مشتقة الطور θ' ثم مكامل يعطى فرق الطور $\Delta\theta$ الذي يبنى عليه القرار عن الرمزين الثنائيين المناظرين للفترة المذكورة.

ويوضح شكل (29.4) الكاشف التفاضلي ويلاحظ أن الخرج من مرشح امرار الترددات المنخفضة LPF في الفرع العلوى يعطى $\cos\Delta\theta$ والخرج من المرشح في الفرع السفلى هو $\sin\Delta\theta$ وبناءا على قيمتهما تحدد $\Delta\theta$ والرمزين الثنائيين a_I و a_Q



شكل (29.4) الكشف التفاضلي لإشارة DQPSK

يوضح شكل (30.4) الكاشف المتناسك وهو مماثل لذلك المستخدم في إشارة QPSK لكن يضاف في آخره دائرة لحساب $\Delta\theta$ بتأخير θ و طرحها من θ_k



شكل (30.4) الكشف المتناسك (المتزامن) لإشارة DQPSK

8.2.4 تبديل الإزاحة الدنيا الجاوسية

Gaussian Minimum Shift Keying

أو باختصار GMSK وتولد بإدخال مرشح لمرار الترددات المنخفضة LPF ذي استجابة ترددية جاوسية الشكل قبل مولد إشارة MSK وبذلك تتحول الإشارة القطبية الداخلة ذات النبضات المستطيلة إلى إشارة قطبية ذات نبضات ناعمة مما يؤدي إلى خفض مستوى الفصوص الجانبية للكثافة الطيفية للقدرة في إشارة MSK لتقليل التداخل على القنوات المجاورة ويمكن ضبط مستوى التداخل إلى أى درجة مطلوبة بالتحكم في نطاق تردد المرشح الجاوسى، وتستخدم إشارة GMSK في نظام الاتصالات الخليوى GSM و بعض نظم الاتصالات اللاسلكية الشخصية و فيما يلي وصف تحليلي لهذه الإشارة.

يمكن تمثيل الإشارة القطبية الداخلة للمرشح بالعلاقة

$$x(t) = \sum_{n=-\infty}^{\infty} a_n \text{rect}\left(\frac{t-nT}{T}\right); a_n = \pm 1$$

وتعطى الاستجابة الترددية للمرشح بالعلاقة

$$H(f) = \exp\left\{-\left(\frac{f}{B}\right)^2 \frac{\ln 2}{2}\right\}$$

حيث B يمثل نطاق التردد الذى ينخفض فيه مستوى $|H(f)|$ بمقدار ثلاثة ديسيبل

عن قيمته العظمى عند $f=0$ وبأخذ تحويل فورير العكسى نحصل على استجابة

المرشح الزمنية للنبضة الحادة $h(t)$

$$h(t) = \sqrt{\frac{2\pi}{\ln 2}} B \exp\left\{\frac{-2(\pi B t)^2}{\ln 2}\right\}$$

وبذلك تكون استجابة المرشح الزمنية لنبضة مستطيلة زمنها T ومركزة عند الصفر

هى

$$g(t) = \text{rect}\left(\frac{t}{T}\right) * h(t) = \int_{-T/2}^{T/2} h(t - \lambda) d\lambda$$

$$= \frac{1}{2} \left\{ \text{erf}\left[-\sqrt{\frac{2}{\ln 2}} \pi B \left(t - \frac{T}{2}\right)\right] + \text{erf}\left[\sqrt{\frac{2}{\ln 2}} \pi B \left(t + \frac{T}{2}\right)\right] \right\}$$

حيث $\text{erf}(x)$ هي دالة الخطأ الرياضية المشهورة المعروفة بالعلاقة

$$\text{erf}(x) = \frac{2}{\sqrt{\pi}} \int_0^x \exp(-u^2) du$$

ولاحظ أن الدالة $g(t)$ هي دالة زوجية متماثلة حول الصفر أى أن $g(t) = g(-t)$ وتقع قيمتها العظمى عند الصفر و تنحدر بشكل ناعم سريع كلما زادت $|t|$ والمساحة الكلية تحتها تساوى النصف. وبذلك تصير الإشارة الداخلة لمضمن MSK هي

$$y(t) = \sum_{n=-\infty}^{\infty} a_n g(t - nT)$$

وبذلك يمكن التعبير رياضياً عن إشارة GMSK بالمعادلة

$$s(t) = \cos[2\pi f_c t + \phi(t)]$$

حيث $\phi(t)$ دالة الطور المستمر المعطاة بالعلاقة

$$\phi(t) = 2\pi h \sum_{n=-\infty}^{\infty} a_n q(t - nT)$$

$$q(t) = \int_{-\infty}^t g(u) du \quad \text{وذلك بتعريف}$$

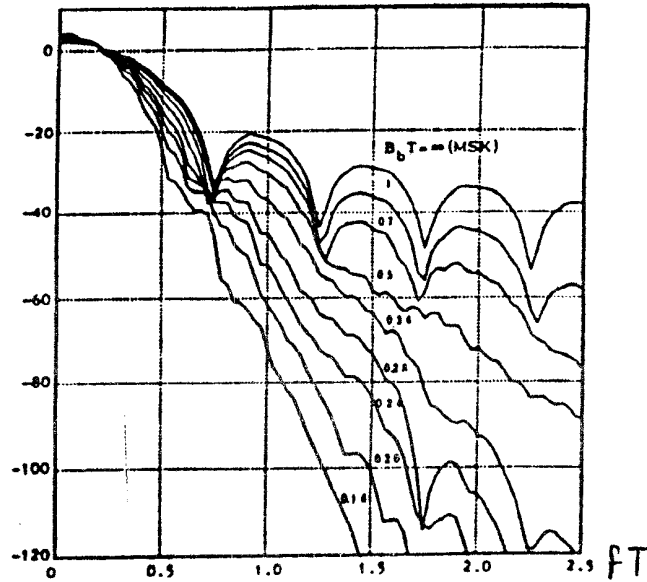
ووضح شكل (31.4) الكثافة الطيفية للقدرة لإشارة GMSK لقيم متعددة لنطاق تردد المرشح B مع ملاحظة أن $B \rightarrow \infty$ تمثل إشارة MSK.

ويوضح الجدول التالي نطاق التردد بالنسبة لمعدل النبضات الثنائية (WT) التي
يحتوى على نسب مختلفة للقدرة لإشارة GMSK لقيم مختلفة لنطاق تردد المرشح
الجائسي BT

جدول (1.4) نطاق التردد المحتوى على نسبة معينة من القدرة

99.99%	99.9%	99%	90%	BT
1.22	0.99	0.79	0.52	0.2
1.37	1.09	0.86	0.57	0.25
2.08	1.33	1.04	0.69	0.5
6	2.76	1.2	0.78	∞

ولاحظ من الجدول أن قيم WT في حالة GMSK دائما أصغر من نظيرتها لإشارة
MSK ويزيد الفرق بتقليل BT ولكن يحدث هذا في الطيف على حساب زيادة
التداخل بين الرموز ISI وسوف توضح هذه النقطة عند شرح كشف الإشارة.



شكل (31.4) الكثافة الطيفية للقدرة لإشارة GMSK

حيث أن إشارة GMSK تعتبر تطويراً لإشارة FSK يمكن كشفها باستخدام مميز discriminator يليه أخذ عينات و اتخاذ القرار. بما أن الخرج من المميز هو مشتقة طور إشارة الدخل لذلك يكون الخرج من المميز في حالة عدم وجود ضوضاء هو

$$\phi'(t) = \frac{d\phi}{dt} = 2\pi h \sum_{n=-\infty}^{\infty} a_n g(t - nT)$$

وباعتبار الرمز المتمركز زمنياً حول الصفر تكون العينة عند هذه اللحظة

$$\phi'(0) = 2\pi h [\pm g(0) + \sum_{n \neq 0} a_n g(nT)]$$

حيث يمثل الحد الأول الإشارة المرادة علماً بأن $a_n = \pm 1$ ويمثل الحد الثاني التداخل بين الرموز و يعتمد على قطبية الرموز الأخرى و على قيم $g(nT)$ التي تقل بسرعة بزيادة رتبته n . ويلاحظ أن متوسط الحد الثاني هو صفر و لذلك تكون قاعدة اتخاذ القرار هي

$$\text{قرر أن } a_0 = \pm 1 \text{ إذا كان } \phi'(0) = \pm$$

يمكن اعتبار إشارة GMSK عنصر من طائفة من الإشارات المستمرة الطور

باستخدام نبضات ناعمة $g(t)$ و عادة يكون زمن النبضة LT حيث $L > 1$ ولذلك تسمى الإشارة المستمرة الطور جزئية الاستجابة و يعرف L بطول النبضة و تأخذ $g(t)$ أعلى قيمة لها عند الصفر وتكون زوجية والمساحة الكلية تحتها تساوي النصف حتى لا يزيد فرق الطور عن $\pi/2$ بعد فترة زمنية T وفيما يلي نعرض أمثلة لتضمين الإشارات المستمرة الطور جزئية الاستجابة

Partial Response Continuous Phase Modulation

أو باختصار PRCPM

١. نبضات دالة جيب التمام المرتفع Raised cosine وتسمى باختصار LRC إذا كان طول النبضة LT وتعرف النبضة بالمعادلة الآتية

$$g(t) = \frac{1}{2LT} (1 + \cos \frac{2\pi t}{LT}) \text{rect}(\frac{t}{LT})$$

٢. نبضات دالة جيب التمام المرتفع الطيفي spectrally raise cosine وتسمى باختصار LSRC إذا كان طول الفص الأساسي للنبضة LT وتعرف النبضة بالمعادلة الآتية

$$g(t) = \frac{1}{LT} \frac{\sin(\frac{2\pi t}{LT})}{\frac{2\pi t}{LT}} \frac{\cos r \frac{2\pi t}{LT}}{1 - (\frac{4\pi t}{LT})^2}$$

و يمكن توليدها كاستجابة الزمنية للنبضة الحادة من مرشح جيب تمام مرتفع و منحدر بمعامل انحدار r .

يمكن استخدام المميز لكشف كل إشارات PRCPM كما سبق شرحه لإشارة GMSK و يوضح الجدول الآتي القيم $g(nT)$ التي تحدد ISI لبعض إشارات PRCPM

جدول (2.4) العينات المؤثرة لنبضة إشارة PRCPM

Tg(2T)	Tg(T)	Tg(0)	الإشارة
0	0	1/2	2RC
0	1/12	1/3	3RC
0	1/8	1/4	4RC
0	0	1/2	2SRC, $r=.8$
0.019	0.1046	1/3	3SRC, $r=.8$
0	0.1366	1/4	4SRC, $r=.8$
.001	.08625	.33	GMSK, BT=.25
.00035	.0591	0.371	GMSK, BT=.3
0.00005	0.0305	0.437	GMSK, BT=0.4

ويمكن كشف جميع هذه الإشارات باستخدام الكاشف التفاضلي. ففي حالة استخدام الكاشف التفاضلي المكون من وحدة تأخير لمدة T و مزيج للطور بمقدار تسعين درجة ثم وحدة ضرب يليها مرشح امرار ترددات منخفضة LPF. يتناسب مقدار إشارة الخرج مع $\sin[\phi(t) - \phi(t - T)] = \sin \Delta\phi$ وباعتبار الرمز الثنائي a_0 المتمركز حول الصفر تكون العينة المأخوذة لإشارة الخرج هي

$$\sin[\phi(T/2) - \phi(-T/2)] = \sin[2\pi h \sum_{n=-\infty}^{\infty} a_n \int_{-T/2}^{T/2} g(t - nT) dt]$$

$$= \sin \sum_{n=-\infty}^{\infty} a_n p_n$$

وذلك بتعريف المتغير p_n كالآتي

$$p_n = 2\pi h \int_{nT-T/2}^{nT+T/2} g(t) dt$$

وبذلك يمكن كتابة فرق الطور كما يلي

$$\Delta\phi = \pm p_0 + \sum_{n \neq 0} a_n p_n$$

حيث يمثل الحد الأول الإشارة المرادة علما بأن $a_0 = \pm 1$ ويمثل الحد الثاني ISI الذي يعتمد على قطبية الرموز a_n و على قيم p_n التي تقل بزيادة n كما يوضح جدول (3.4). كذلك يمكن استخدام الكاشف التفاضلي ثنائي الرمز لكشف إشارات PRCPM على أن يتم عمل تشفير مسبق precoding قبل التضمين كما سبق تفصيله لإشارة MSK انظر شكل (25.4).

يمثل التشفير المسبق بالمعادلة $a_n = b_n a_{n-1}$ حيث يتفق a_n, a_{n-1} في القطبية إذا كان $b_n = 1$ ويختلفان في القطبية إذا كان $b_n = -1$ وفي الاستقبال يبنى القرار على قطبية الخرج الذي يتناسب مع $\cos[\phi(3T/2) - \phi(-T/2)] = \cos \Delta\phi$

جدول (3.4) قيم العينات المؤثرة في الكشف التفاضلي أحادي التأخير

$p_3/(2\pi h)$	$p_2/(2\pi h)$	$p_1/(2\pi h)$	$p_0/(2\pi h)$	الإشارة
0	0	0.045	0.41	2RC
0	0	0.097	0.305	3RC
0	0.006	0.125	0.238	4RC
-0.0012	-0.00366	0.0466	0.4176	2SRC, $r=.8$
-0.0012	-0.0135	0.1133	0.3071	3SRC, $r=.8$
-0.00883	0.0064	0.1361	0.2387	4SRC, $r=.8$
.000	0.00298	0.1003	0.3248	GMSK, BT=.25
.000	0.00065	0.0862	0.3615	GMSK, BT=.3
0.000	0.00007	0.0636	0.4114	GMSK, BT=0.4

و يمكن كتابة فرق الطور على الصورة

$$\Delta\phi = \sum_{n=-\infty}^{\infty} a_n q_n$$

و ذلك بتعريف المتغير q_n بالمعادلة

$$q_n = 2\pi h \int_{nT-T/2}^{nT+3T/2} g(t) dt$$

وبملاحظة أن $q_0 = q_1$ يمكن كتابة فرق الطور على الصورة

$$\Delta\phi = (a_0 + a_1)q_0 + \text{ISI}$$

وبذلك يكون $\Delta\phi = \pm 2q_0 + \text{ISI}$ إذا كان $b_0 = 1$ ، ويكون $\Delta\phi = \text{ISI}$ إذا كان $b_0 = -1$ ، لذلك يتخذ القرار أن $b_0 = -1$ إذا كانت إشارة الخرج موجبة ، و أن $b_0 = +1$ إذا كانت إشارة الخرج سالبة. يوضح الجدول الآتي قيم q_n (التي تقل بزيادة n) لبعض الإشارات.

جدول (4.4) قيم العينات المؤثرة في الكشف التفاضلي ثنائي التأخير

الإشارة	$q_0/(2\pi h)$	$q_2/(2\pi h)$	$q_3/(2\pi h)$	$q_4/(2\pi h)$
2RC	0.455	0.045	0	0
3RC	0.402	0.097	0	0
4RC	0.363	0.131	0.006	0
2SRC, $r=.8$	0.4662	0.0429	-0.00486	-0.00151
3SRC, $r=.8$	0.4204	0.0998	-0.0147	-0.0029
4SRC, $r=.8$	0.3748	0.1425	-0.00243	-0.0094
GMSK, BT=.25	0.4251	0.1032	0.003	.000
GMSK, BT=.3	0.4477	0.0869	0.00066	.000
GMSK, BT=0.4	0.455	0.0637	0.00007	0.000

يلاحظ من الجدولين السابقين أن $q_n = p_n + p_{n+1}$ وكذلك $q_{-n} = q_{n+1}$ لقيم n الموجبة

يلاحظ أن بعض المتابعات الثنائية تتأثر أكثر بالتداخل بين الرموز ISI فمثلاً تحدث أسوأ حالة إذا كان الرمز المراد الكشف عنه في لحظة معينة موجبا و باقي الرموز سالبة أو إذا كان هذا الرمز سالبا و باقي الرموز موجبة لأن ISI يتراكم في هاتين الحالتين بطريقة سلبية التأثير على القرار. إذا اعتبرنا هذه الحالة لإشارة 4RC مع استخدام الكشف التفاضلي أحادي التأخير نجد أن ISI فقط قد يسبب خطأ في القرار حتى في حالة عدم وجود الضوضاء لأن $p_1 + p_{-1} > p_0$ ولكن إذا استخدم الكشف التفاضلي ثنائي التأخير لكشف نفس الإشارة لا يمكن أن يحدث خطأ بسبب ISI وحده.

الباب الخامس

أداء نظم الاتصالات الرقمية في وجود الضوضاء

تم استعراض طرق التضمين الرقمي في الباب السابق بوصف الإشارات الرقمية و طرق توليدها و طرق اكتشافها و فيما يلي تحليل لأداء بعض الطرق في وجود الضوضاء التي تشوه الإشارة و تؤدي إلى خطأ في كشفها. و عادة ما يقاس أداء نظم الاتصالات الرقمية باحتمال الخطأ في الرمز الثنائي في طرق التضمين الرقمي الثنائي أو باحتمال الخطأ في الرمز في طرق التضمين الرقمي الأخرى. في البداية نستنتج طريقة لتصميم مرشح خطي يقلل تأثير الضوضاء بينما يعطى أقصى قيمة للإشارة ويسمى بالمرشح الموائم matched filter ثم نحلل احتمال الخطأ في حالة استخدام جهاز استقبال يحتوي على مرشح موائم و يسمى في هذه الحالة بجهاز الاستقبال الأمثل ثم نحلل احتمال الخطأ في حالة استخدام أجهزة استقبال أقل تعقيدا لكنها تعطى احتمال خطأ أكبر من جهاز الاستقبال الأمثل.

1.5 المرشح الموائم

سوف نفترض أن الدخل للمرشح $r(t)$ يتكون من مركبتين أولاهما الإشارة المرسلية من جهاز الاستقبال $s(t)$ و الثانية ضوضاء في شكل إشارة عشوائية $n(t)$ نتيجة قناة الاتصال و المطلوب تصميم المرشح بحيث تكون نسبة الإشارة إلى الضوضاء في الخرج أقصى ما يمكن و بفرض أن مركبة الإشارة الخارجة $s_o(t)$ و مركبة الضوضاء الخارجة $n_o(t)$ تعرف هذه النسبة بـ

$$SNR_o = \frac{s_o^2(t_o)}{E\{n_o^2(t_o)\}}$$

حيث يعطى البسط مربع عينة الإشارة و يعطى المقام متوسط مربع الضوضاء.
 بفرض أن استجابة المرشح للنمضة الحادة هي $h(t)$ تكون علاقة الإشارة الخارجة
 بالإشارة الداخلة

$$s_o(t_o) = \int_{-\infty}^{\infty} H(f)S(f) \exp(j2\pi f t_o) df$$

حيث $H(f)$ هي تحويل فوريير لـ $h(t)$ و $S(f)$ هي تحويل فوريير لـ $s(t)$ أما
 متوسط مربع الضوضاء فيعطى بالعلاقة

$$E\{n_o^2(t)\} = R_{n_o}(0) = \int_{-\infty}^{\infty} G_n(f) |H(f)|^2 df$$

حيث $G_n(f)$ هي الكثافة الطيفية للقدرة للضوضاء الداخلة $n(t)$ و بذلك تكون
 نسبة الإشارة إلى الضوضاء

$$\frac{S}{N} = \frac{\left| \int_{-\infty}^{\infty} H(f)S(f) \exp(j2\pi f t_o) df \right|^2}{\int_{-\infty}^{\infty} G_n(f) |H(f)|^2 df}$$

وباستخدام متباينة شوارتز Schwartz inequality

$$\left| \int_{-\infty}^{\infty} A(f)B(f) df \right|^2 \leq \int_{-\infty}^{\infty} |A(f)|^2 df \int_{-\infty}^{\infty} |B(f)|^2 df$$

حيث تتحول علامة \leq إلى $=$ عندما يكون $A(f) = kB^*(f)$ حيث k ثابت و

بتعويض

$$A(f) = \sqrt{G_n(f)}H(f) \text{ و } B(f) = S(f) \exp(j2\pi f t_o) / \sqrt{G_n(f)}$$

المعادلة السابقة وتطبيق المتباينة يمكن إثبات أن

$$\frac{S}{N} \leq \int_{-\infty}^{\infty} \frac{|S(f)|^2}{G_n(f)} df$$

وتكون S/N أكبر ما يمكن إذا كان:

$$H(f) = kS^*(f) \exp(-j2\pi f t_0) / G_n(f)$$

حيث k ثابت ، و في حالة إذا كانت $n(t)$ ضوضاء بيضاء ذات كثافة قدرة طيفية $N_0/2$ تصير دالة المرشح

$$H(f) = \frac{2k}{N_0} S^*(f) \exp(-j2\pi f t_0)$$

وتكون استجابته للنبضة الحادة

$$h(t) = \frac{2k}{N_0} s(t_0 - t)$$

وتصير نسبة الإشارة إلى الضوضاء

$$\frac{S}{N} = \frac{2}{N_0} \int_{-\infty}^{\infty} |S(f)|^2 df = \frac{2E_s}{N_0}$$

حيث E_s هي طاقة الإشارة

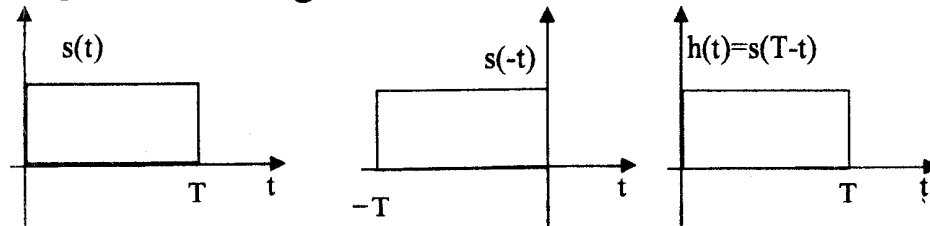
مثال: بفرض أن الإشارة $s(t)$ دالة مستطيلة مع الزمن تبدأ عند الصفر

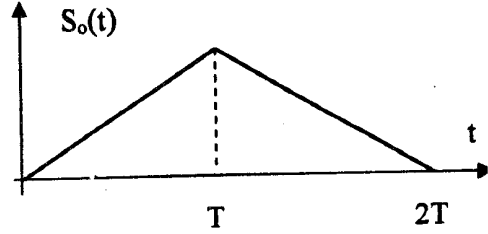
$$s(t) = \text{rect}\left(\frac{t - T/2}{T}\right)$$

يكون المرشح الموائم النقي يعطى أكبر نسبة إشارة إلى ضوضاء في اللحظة $t = T$

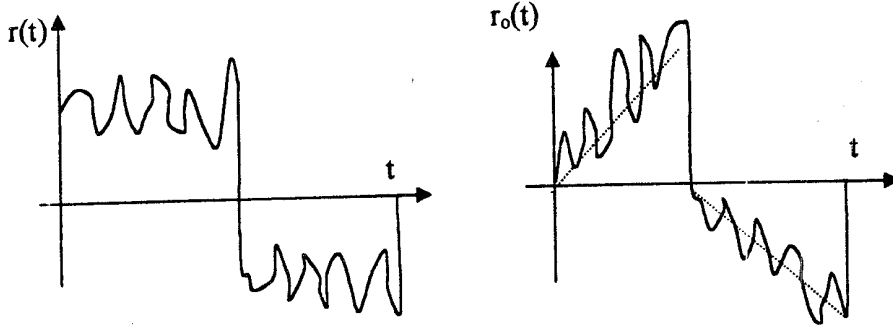
$$h(t) = s(T - t) = \text{rect}\left(\frac{t - T/2}{T}\right)$$

أى أن الاستجابة للنبضة الحادة تأخذ شكلا مستطيلا مع الزمن كما يبين شكل 1.5





شكل (a.1.5) الاشارات وعملية الترشيح في المرشح الموائم للمثال السابق و يلاحظ أن استجابة المرشح للنضبة المستطيلة هي دالة مثلثية قيمتها العظمى عند اللحظة $t = T$. مما سبق نلاحظ انه عندما تكون الإشارة مستطيلة فإن المرشح الموائم يكافئ عملية تكامل و إخماد في كل فترة T إذا أرسلت البيانات الرقمية باستخدام شفرة خط قطبية أو أحادية القطبية حيث نحتاج إلى تصفير الخرج من المكامل بعد أخذ العينة في نهاية الفترة T لبدء عملية تكامل جديدة و يوضح شكل (1.5) مثالا لإشارة قطبية مشوهة بالضوضاء و شكل الخرج من المرشح الموائم. تحتاج هذه العملية إلى معرفة تزامن الرموز الثنائية حتى يحدث أفضل ترشيح.



شكل (b.1.5) إشارتي الدخل والخرج للمرشح الموائم

نظرية : في حالة الضوضاء البيضاء يكون المرشح الموائم مكافئاً لـ correlator .
البرهان : يكون الخرج من الرابط

$$r_o(t_o) = \int_{t_o-T}^{t_o} r(t)s(t)dt \quad (1.5)$$

وفي حالة المرشح الموائم يكون الخرج

$$r_o(t_o) = r(t_o) * h(t_o) = \int_{-\infty}^t r(\lambda)h(t_o - \lambda)d\lambda$$

ولكن في حالة الضوضاء البيضاء $h(t) = s(t_o - t)$ خلال الفترة $0 < t < T$ وصفرًا خارج هذه الفترة، لذلك يصير الخرج

$$r_o(t_o) = \int_{t_o-T}^{t_o} r(\lambda)s[t_o - (t_o - \lambda)]d\lambda = \int_{t_o-T}^{t_o} r(\lambda)s(\lambda)d\lambda$$

وهو الخرج من الرابط كما تعطيه المعادلة (1.5) و بذلك ثبت المطلوب.

مثال: في حالة BPSK تعطى الإشارة بالمعادلة

$$s(t) = \pm A \cos \omega_c t \quad nT \leq t \leq (n+1)T$$

بذلك يكون الخرج من الرابط الذي يستخدم إشارة متزامنة لها نفس التردد و
الطور

$$r(nT) = \int_{(n-1)T}^T \pm A \cos^2 \omega_c t dt + \int n(t) \cos \omega_c t dt = \pm \frac{A}{2} T + \eta$$

حيث η متغير عشوائي متوسطه صفر. لذلك فقاعدة اتخاذ القرار تبني على قطبية
الخرج.

2.5 احتمال الخطأ للإشارات الثنائية في وجود الضوضاء الجاوسية

تمثل الإشارة الثنائية $s(t)$ بأحد الشكلين $s_1(t)$ أو $s_2(t)$ في حالتى إرسال واحد أو صفر على الترتيب و تجمع الضوضاء $n(t)$ على أحد الشكلين أثناء فترة رمز ثنائى معينة بحيث تكون الإشارة الداخلة إلى جهاز الاستقبال $r(t)$

$$r(t) = s_1(t) + n(t) \quad \text{عند إرسال 1}$$

$$r(t) = s_2(t) + n(t) \quad \text{وعند إرسال 0}$$

يقوم جهاز الاستقبال بمعالجة الإشارة المستقبلية $r(t)$ وإخراج إشارة $r_o(t)$ التى يؤخذ منها عينات بمعدل يساوى معدل النبضات الثنائية. لذلك تكون العينة المأخوذة

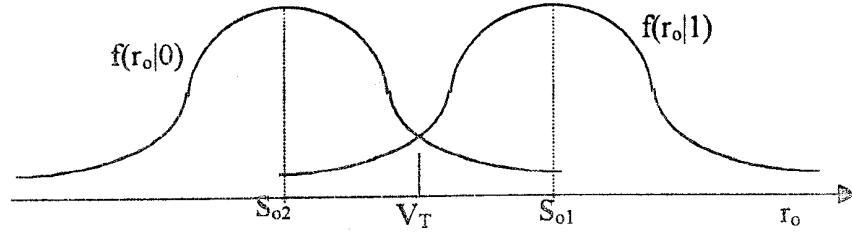
$$r_o = r_o(t_o) = s_{o1} + n_o \quad \text{عند إرسال 1}$$

$$r_o = r_o(t_o) = s_{o2} + n_o \quad \text{وعند إرسال 0}$$

حيث s_{o1} و s_{o2} هما قيمتى العينتين الناتجتين من معالجة الإشارتين $s_1(t)$ أو $s_2(t)$ على الترتيب بينما n_o هى قيمة العينة الناتجة عن معالجة إشارة الضوضاء $n(t)$ وبفرض أن الضوضاء هى عملية عشوائية جاوسية متوسطها صفر تكون n_o متغير عشوائى جاوسى متوسطه صفر و متوسط مربعه σ_n^2 ويصير r_o متغير عشوائى جاوسى تباينه σ_n^2 ولكن متوسطه s_{o1} أو s_{o2} فى حالتى إرسال 1 أو 0 على الترتيب. ولذلك تكون دالة كثافة الاحتمال للمتغير r_o فى هاتين الحالتين هما

$$f(r_o | 1) = \frac{1}{\sqrt{2\pi}\sigma_n} \exp\left(-\frac{(r - s_{o1})^2}{2\sigma_n^2}\right)$$

$$f(r_o | 0) = \frac{1}{\sqrt{2\pi}\sigma_n} \exp\left(-\frac{(r - s_{o2})^2}{2\sigma_n^2}\right)$$



شكل (2.5) كثافة احتمال الإشارة المكتشفة وحدود مناطق القرار
ويتخذ القرار بناء على قيمة r_o بحيث إذا كانت أكبر من حد threshold معين
 V_t يقرر أن 1 قد أرسل وإذا كانت هذه القيمة أصغر من V_t يقرر أن 0 قد
أرسل لذلك يكون احتمال الخطأ في حالة إرسال 0 هو

$$P(\varepsilon | 0) = \int_{V_t}^{\infty} f(r_o | 0) dr_o$$

ويكون احتمال الخطأ في حالة إرسال 1 هو

$$P(\varepsilon | 1) = \int_{-\infty}^{V_t} f(r_o | 1) dr_o$$

وبفرض أن احتمال إرسال 0 مساوي لاحتمال إرسال 1 تصير القيمة المتوسطة
لاحتمال الخطأ

$$\begin{aligned} P_e &= \frac{1}{2} P(\varepsilon | 0) + \frac{1}{2} P(\varepsilon | 1) \\ &= \frac{1}{2} \int_{V_t}^{\infty} \frac{1}{\sqrt{2\pi}\sigma_n} \exp\left(-\frac{(r-s_{o1})^2}{2\sigma_n^2}\right) dr_o + \frac{1}{2} \int_{-\infty}^{V_t} \frac{1}{\sqrt{2\pi}\sigma_n} \exp\left(-\frac{(r-s_{o2})^2}{2\sigma_n^2}\right) dr_o \\ &= \frac{1}{2} Q\left(\frac{-V_t + s_{o1}}{\sigma_n}\right) + \frac{1}{2} Q\left(\frac{V_t - s_{o2}}{\sigma_n}\right) \end{aligned}$$

ولجعل P_e أقل ما يمكن باختيار قيمة مثلى للحد V_t نضع $\frac{\partial P_e}{\partial V_t} = 0$

وبحل المعادلة الناتجة نجد أن أفضل قيمة للحد هي $V_t(\text{opt}) = \frac{s_{o1} + s_{o2}}{2}$ وتصير القيمة الصغرى لاحتمال الخطأ

$$\min P_e = Q\left(\frac{s_{o1} - s_{o2}}{2\sigma_n}\right) \quad (2.5)$$

في حالة استعمال مرشح موائم كمعالج للإشارة المستقبلية $r(t)$ و بفرض أن الضوضاء جناوسية بيضاء يكون المرشح الموائم لفرق الإشارة $s_1(t) - s_2(t)$ هو $h(t) = k[s_1(t_0 - t) - s_2(t_0 - t)]$ وتصبح القيمة العظمى لنسبة الإشارة إلى الضوضاء لخرج المرشح هي $2E_d/N_0$ حيث تمثل E_d طاقة فرق الإشارة و تعرف كالآتي

$$E_d = \int_0^T [s_1(t) - s_2(t)]^2 dt$$

لذلك يمكن كتابة احتمال الخطأ بدلالة E_d/N_0 حيث $N_0/2$ هي الكثافة الطيفية للضوضاء البيضاء.

$$P_e = Q\left(\frac{1}{2} \sqrt{\frac{2E_d}{N_0}}\right) = Q\left(\sqrt{\frac{E_d}{2N_0}}\right) \quad (3.5)$$

وفيما يلي نطبق هذه القاعدة على بعض الإشارات حيث تستخدم المعادلة (2.5) لحساب احتمال الخطأ عند استخدام أى مستقبل بينما تستخدم المعادلة (3.5) عند استخدام المرشح الموائم.

1.2.5 الإشارة أحادية القطبية Unipolar

وتمثل بالحالتين

$$\begin{aligned} s_1(t) &= A & 0 < t < T \\ s_2(t) &= 0 & 0 < t < T \end{aligned}$$

وبحساب E_d لهذه الإشارة نجد أنها $E_d = A^2 T$

بينما متوسط الطاقة للنبضة $E_b = E_d/2$ لأن 1 و 0 هما نفس الاحتمال لذلك يكون احتمال الخطأ عند استخدام المرشح الموائم

$$P_e = Q\left(\sqrt{\frac{A^2 T}{2N_0}}\right) = Q\left(\sqrt{\frac{E_b}{N_0}}\right)$$

مع ملاحظة أن المرشح الموائم هنا هو دائرة تكامل و إخذ.

أما اذا استخدم مرشح عادى لأمرار الترددات المنخفضة LPF نطاق تردده

$B > 2/T$ للحد من قدرة الضوضاء تصير قدرة الضوضاء بعد الترشيح

$$s_{01} - s_{02} = A \text{ و } \sigma_n^2 = N_0 B$$

لذلك يكون احتمال الخطأ باستعمال المعادلة (2.5)

$$P_e = Q\left(\frac{A}{2\sqrt{N_0 B}}\right) = Q\left(\sqrt{\frac{A^2}{4N_0 B}}\right)$$

2.2.5 الإشارة القطبية Polar

وتمثل بالحالتين

$$\begin{aligned} s_1(t) &= A & 0 < t < T \\ s_2(t) &= -A & 0 < t < T \end{aligned}$$

وبحساب E_d لهذه الإشارة نجد أنها $E_d = (2A)^2 T = 4E_b$

لذلك يكون احتمال الخطأ عند استخدام المرشح الموائم

$$P_e = Q\left(\sqrt{\frac{4A^2 T}{2N_0}}\right) = Q\left(\sqrt{2\frac{E_b}{N_0}}\right)$$

وبذلك تعطى هذه الإشارة ميزة قدرها 3dB بالنسبة للإشارة أحادية القطبية

أما في حالة استخدام مرشح عادى LPF نطاق تردده B يكون $\sigma_n^2 = N_0 B$ و

$$s_{01} - s_{02} = 2A$$

ويصير احتمال الخطأ

$$P_e = Q\left(\frac{2A}{2\sqrt{N_o B}}\right) = Q\left(\sqrt{\frac{A^2}{N_o B}}\right)$$

3.2.5 إشارة تبديل الفتح و القفل OOK

ونمثل بالحالتين

$$\begin{aligned} s_1(t) &= A \cos(\omega_c t + \theta) & 0 < t < T \\ s_2(t) &= 0 & 0 < t < T \end{aligned}$$

وبحساب E_d لهذه الإشارة نجد أنها

$$E_d = \int_0^T A^2 \cos^2(\omega_c t + \theta) dt = \frac{A^2 T}{2} = 2E_b$$

لذلك يكون احتمال الخطأ عند استخدام المرشح الموائم

$$P_e = Q\left(\sqrt{\frac{A^2 T}{2(2N_o)}}\right) = Q\left(\sqrt{\frac{E_b}{N_o}}\right)$$

وهي نفس النتيجة التي حصلنا عليها في حالة الإشارة أحادية القطبية. ويلاحظ أن

المرشح الموائم هنا يكافئ رابط يضرب الإشارة في $2\cos(\omega_c T + \theta)$ ثم يكامل

النتيجة لمدة T ويأخذ العينة في نهاية الفترة ويخمد الإشارة. وعند استبدال دائرة

$$\begin{aligned} \text{التكامل والإخماد بمرشح عادي LPF نطاق تردده } B \text{ يكون } \sigma_n^2 &= N_o B \text{ و } s_{o1} = A, s_{o2} = 0 \\ &= A, s_{o2} = 0 \end{aligned}$$

ويصير احتمال الخطأ

$$P_e = Q\left(\frac{A}{2\sqrt{2N_o B}}\right) = Q\left(\sqrt{\frac{A^2}{8N_o B}}\right)$$

4.2.5 إشارة تبديل إزاحة الطور الثنائي BPSK

ونمثل بالحالتين

$$\begin{aligned} s_1(t) &= A \cos(\omega_c t + \theta) & 0 < t < T \\ s_2(t) &= -A \cos(\omega_c t + \theta) & 0 < t < T \end{aligned}$$

وبحساب E_d لهذه الإشارة نجد أنها

$$E_d = \int_0^T [2A \cos(\omega_c t + \theta)]^2 dt = 2A^2 T = 4E_b$$

وعند استخدام المرشح الموائم يصير احتمال الخطأ مماثلاً لحالة OOK فيما عدا استخدام قيمة مختلفة للحد V_i (صفر في حالة PSK بينما $V_i = AT/2$ في حالة OOK) لذلك فإن احتمال الخطأ

$$P_e = Q\left(\sqrt{\frac{2A^2 T}{2N_o}}\right) = Q\left(\sqrt{2\frac{E_b}{N_o}}\right)$$

أما في حالة استخدام LPF بدلاً من التكامل والإحماد $\sigma_n^2 = 2N_o B$

$$s_{01} = A, s_{02} = -A$$

لذلك يصبح احتمال الخطأ

$$P_e = Q\left(\frac{2A}{2\sqrt{2N_o B}}\right) = Q\left(\sqrt{\frac{A^2}{2N_o B}}\right)$$

وبذلك يمتاز PSK عن OOK بمقدار 3dB في حالة استخدام نفس القدرة المتوسطة أو بمقدار 6dB في حالة استخدام نفس الغلاف A .

5.2.5 إشارة تبديل إزاحة التردد الثنائي BFSK

وتمثل بالحالتين

$$\begin{aligned} s_1(t) &= A \cos \omega_1 t & 0 < t < T \\ s_1(t) &= A \cos \omega_2 t & 0 < t < T \end{aligned}$$

وبحساب E_d لهذه الإشارة نجد أنها

$$\begin{aligned}
E_d &= \int_0^T [A \cos \omega_1 t - A \cos \omega_2 t]^2 dt \\
&= \int_0^T [A^2 \cos^2 \omega_1 t + A^2 \cos^2 \omega_2 t - 2A^2 \cos \omega_1 t \cos \omega_2 t] dt \\
&= \frac{A^2}{2} \left[2T - \frac{\sin(\omega_1 - \omega_2)T}{\omega_1 - \omega_2} \right]
\end{aligned}$$

وذلك باعتبار أن تكامل موجة جيبية لفترة أكبر بكثير من زمن دورتها يكون مهملاً.

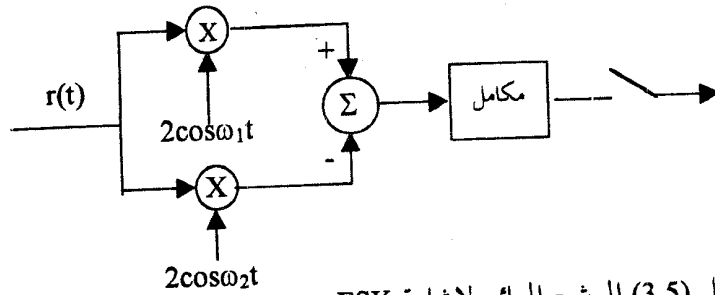
$$f_1 - f_2 = n/2T \quad \text{في حالة استخدام ترددتين متعامدين}$$

$$E_d = A^2 T = 2E_b \quad \text{تصير}$$

لذلك يكون احتمال الخطأ عند استخدام المرشح الموائم لهذه الحالة

$$P_e = Q \left(\sqrt{\frac{A^2 T}{2N_0}} \right) = Q \left(\sqrt{\frac{E_b}{N_0}} \right)$$

وهذه النتيجة ماثلة لحالة OOK مع ملاحظة أن المرشح الموائم في حالة FSK كما هو موضح في شكل (3.5)



شكل (3.5) المرشح الموائم لإشارة FSK

ويمكن استبدال هذه الدائرة بمرشح LPF عرض نطاق تردده B مناسب. في هذه الحالة تكون قدرة الضوضاء بعد الترشيح $4N_0B$ حيث تأتي قدرة مقدارها $2N_0B$ من كل فرع

$$s_{01} = A, s_{02} = -A, \sigma_n^2 = 4N_0B$$

ويصير احتمال الخطأ

$$P_e = Q\left(\frac{2A}{2\sqrt{4N_0B}}\right) = Q\left(\sqrt{\frac{A^2}{4N_0B}}\right)$$

وهو مماثل لحالة OOK اذا استخدمت نفس القدرة المتوسطة.

6.2.5 إشارة تبديل إزاحة الطور الرباعي QPSK, OQPSK

باستخدام مرشح موائم نحصل على نفس احتمال الخطأ لإشارة BPSK حيث أن QPSK يمكن فصلها إلى إشارتي BPSK على التوازي ولكن يقل نطاق التردد اللازم لنقل نفس معدل الرموز الشائبة إلى النصف باستخدام QPSK أو OQPSK

7.2.5 إشارة تبديل الإزاحة الدنيا MSK

باستخدام مرشح موائم نحصل على نفس احتمال الخطأ لإشارات BPSK و QPSK و OQPSK ، أما إذا اعتبرت إشارة MSK كحالة خاصة من FSK واستخدام كاشف كما في FSK يصير احتمال الخطأ مماثلاً لحالة FSK حسب نوع الكاشف

8.2.5 إشارة التضمين السعوى المتعامد QAM

وتمثل بالحالات الآتية

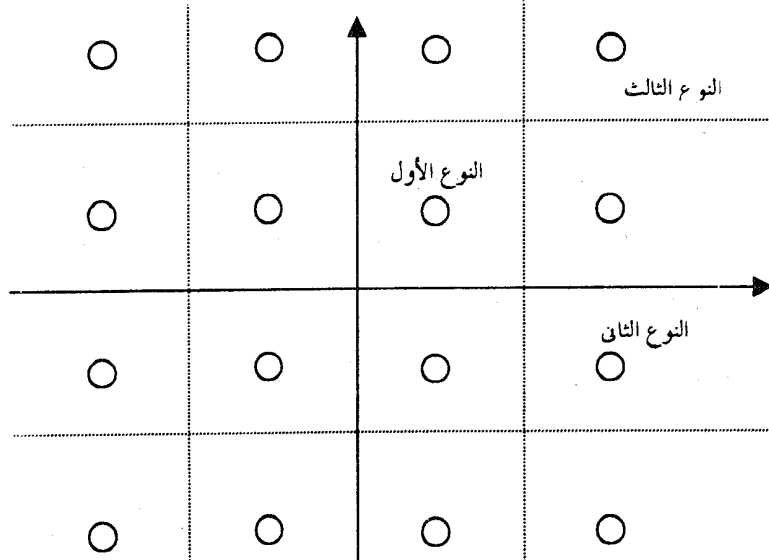
$$s_i(t) = \sqrt{\frac{2}{T_s}} [A_i \cos \omega_c t + B_i \sin \omega_c t]$$

أثناء فترة معينة طوله T_s وحيث أن السعتين A_i, B_i تأخذ القيم $\pm a, \pm 3a, \pm 5a$ الخ....

في حالة إشارة 16QAM تكون هذه القيم $\pm a, \pm 3a$

وتكون الطاقة للرمز $E_i = A_i^2 + B_i^2$

وبذلك يكون متوسط الطاقة للرمز $E_s = 10 a^2$



شكل (4.5) كوكبة الإشارات ومناطق القرار لإشارة 16QAM

ويبين شكل (4.5) كوكبة الإشارات و مناطق القرار التي يفصل بينها الخطوط المنقطعة والمحوران المتعامدان و يلاحظ من هذا الشكل أن هناك ثلاثة أنواع لمناطق القرار الذي يتخذ في جهاز الاستقبال الموضح بشكل (15.4) و الذي يستخدم مرشح موائم للإشارة.

في حالة نقل إشارة معينة $s_i(t)$ تكون الإشارة الداخلة $s_i(t) + n(t)$

حيث $n(t)$ ضوضاء جاوسية بيضاء لها كثافة قدرة ثابتة تساوى $N_0/2$ ويكون الخرج من الفرع العلوى $A_i + n_i$ ويكون الخرج من الفرع السفلى $B_i + n_Q$ ومن خواص الضوضاء الجاوسية نستنتج أن n_i, n_Q هما متغيران عشوائيان جاوسيان متوسط كل منهما صفر و لهما نفس التباين (أو القدرة) σ^2 الذى نشقه فيما يلى

$$n_i = \int_0^{T_s} n(t) \sqrt{\frac{2}{T_s}} \cos \omega_c t dt$$

$$\sigma^2 = E\{n_i^2\} = E\left\{\int_0^{T_s} \int_0^{T_s} \frac{2}{T_s} n(t)n(\lambda) \cos \omega_c t \cos \omega_c \lambda dt d\lambda\right\}$$

$$= \int_0^{T_s} \int_0^{T_s} \frac{2}{T_s} \frac{N_0}{2} \delta(t-\lambda) \cos \omega_c t \cos \omega_c \lambda dt d\lambda$$

$$= \frac{N_0}{T_s} \int_0^{T_s} \cos^2 \omega_c t dt = \frac{N_0}{T_s} \frac{T_s}{2} = \frac{N_0}{2}$$

$$E\{n_Q^2\} = \frac{N_0}{2} \quad \text{وبالمثل يمكن إثبات أن}$$

وبذلك تكون كثافة الاحتمال للمتغيرين العشوائيين n_i, n_Q هي

$$f(n) = \frac{1}{\sqrt{\pi N_0}} \exp\left\{-\frac{n^2}{N_0}\right\}$$

بالرجوع إلى شكل (4.5) نجد أن أى عنصر فى كوكبة الإشارات يمثل بإحداثي

أفقى A_i و إحداثي رأسى B_i ويتخذ القرار حسب قيمتى المتغيرين $A_i + n_i$

و $B_i + n_Q$

فى حالة إرسال إشارة من النوع الأول و التى لها منطقة قرار مربعة يكون القرار

خاطئا إذا زاد أى من $|n_i|$ أو $|n_Q|$ عن a ويكون القرار صحيحا إذا كن

$$-a < n_Q < a, -a < n_i < a$$

وبذلك يكون احتمال صحة القرار في هذه الحالة

$$\begin{aligned} P(C | I) &= \int_{-a}^a f(n)dn \int_{-a}^a f(n)dn \\ &= \left[\int_{-a}^a \frac{1}{\sqrt{\pi N_o}} \exp\left\{-\frac{n^2}{N_o}\right\} dn \right]^2 \\ &= \left[1 - 2Q\left(\sqrt{\frac{2a^2}{N_o}}\right) \right]^2 \end{aligned}$$

في حالة إرسال إشارة من النوع الثاني و التي لها منطقة قرار مستطيلة ممتدة الى مالا نهاية في اتجاه واحد ، يكون القرار صحيحا إذا كل

$$-a < n_Q < \infty, -a < n_I < a$$

وبذلك يكون احتمال صحة القرار في هذه الحالة

$$\begin{aligned} P(C | II) &= \int_{-a}^a f(n)dn \int_{-a}^{\infty} f(n)dn \\ &= \left[1 - 2Q\left(\sqrt{\frac{2a^2}{N_o}}\right) \right] \left[1 - Q\left(\sqrt{\frac{2a^2}{N_o}}\right) \right] \end{aligned}$$

أما في حالة إرسال إشارة من النوع الثالث و التي لها منطقة قرار مستطيلة ممتدة إلي مالا نهاية في اتجاهين متعامدين ، يكون القرار صحيحا إذا كل

$$-a < n_Q < \infty, -a < n_I < \infty$$

وبذلك يكون احتمال صحة القرار في هذه الحالة

$$P(C | III) = \left[\int_{-a}^{\infty} f(n)dn \right]^2 = \left[1 - Q\left(\sqrt{\frac{2a^2}{N_o}}\right) \right]^2$$

ونظرا لوجود أربع إشارات من النوع الأول وثمانية من النوع الثاني وأربعة من

النوع الثالث ، يكون متوسط احتمال صحة القرار لجميع الإشارات

$$P(C) = \frac{4}{16} P(C | I) + \frac{8}{16} P(C | II) + \frac{4}{16} P(C | III)$$

ويكون متوسط احتمال الخطأ

$$P_e = 1 - P(C) = 3Q\left(\sqrt{\frac{2a^2}{N_0}}\right) - 2.25Q^2\left(\sqrt{\frac{2a^2}{N_0}}\right)$$

يلاحظ أنه إذا كانت نسبة الإشارة إلى الضوضاء كبيرة تكون قيمة الدالة $Q(.)$

صغيرة ويمكن تقريب متوسط احتمال الخطأ بالعلاقة

$$P_e \approx 3Q\left(\sqrt{\frac{2a^2}{N_0}}\right) = 3Q\left(\sqrt{\frac{E_s}{5N_0}}\right)$$

9.2.5 إشارة تبديل الإزاحة للطور المتعدد MPSK

وتمثل بالحالات الآتية

$$s_i(t) = \sqrt{\frac{2}{T_s}} \cos\left[\omega_c t + \frac{2\pi(i-1)}{M}\right]$$

أثناء فترة الرمز T_s حيث $i = 1, 2, 3, \dots, M$

ويمكن أيضا كتابتها على الصورة

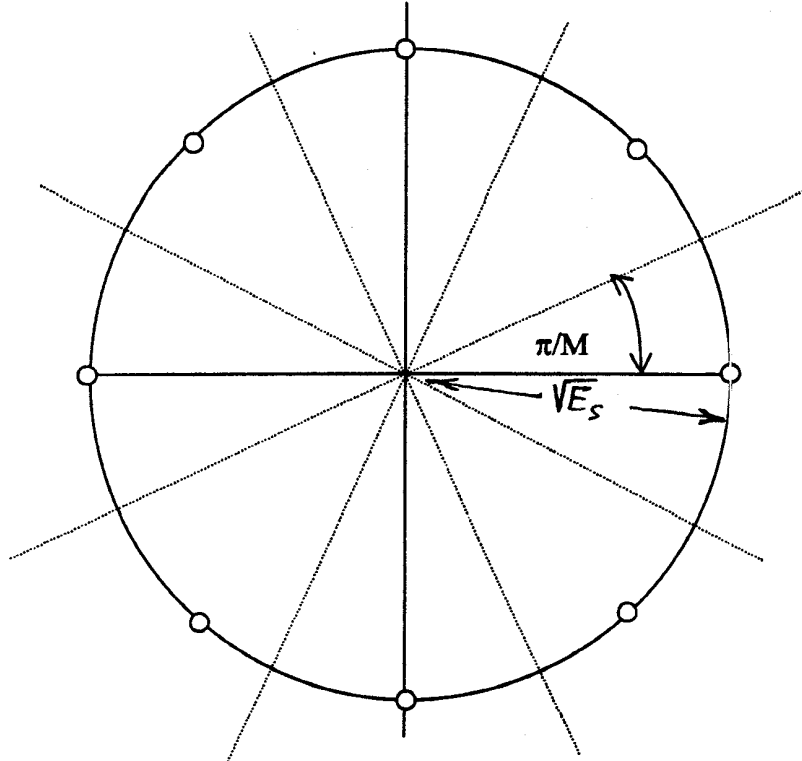
$$s_i(t) = \sqrt{\frac{2}{T_s}} \left[\cos \frac{2\pi(i-1)}{M} \cos \omega_c t - \sin \frac{2\pi(i-1)}{M} \sin \omega_c t \right]$$

ويمكن تمثيلها بكونية الإشارات ذات الإحداثيات المتعامدة (A_i, B_i) أو

$$\sqrt{E_s} \cos \frac{2\pi(i-1)}{M}, \quad -\sqrt{E_s} \sin \frac{2\pi(i-1)}{M}$$

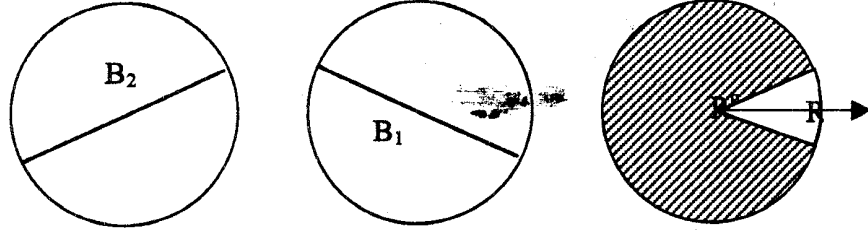
لجهاز الاستقبال المبين في شكل (15.4)

وبوضح شكل (5.5) كوكبة الإشارات التي تمثل بالدوائر الصغيرة و مناطق القرار التي يفصل بينها الخطوط المنقطه. وكما في حالة 16QAM يكون الخرج من الفرع العلوى لجهاز الاستقبال $A_i + n_I$ و الخرج من الفرع السفلى $B_i + n_Q$ حيث كل من n_I, n_Q متغير عشوائى جاوسى متوسطه صفر وتباينه $\sigma^2 = N_0/2$.



شكل (5.5) كوكبة الإشارات ومناطق القرار لإشارة MPSK

نظرا لتمثيل مناطق القرار فان احتمال الخطأ لايتغير بتغير الإشارة ، لذلك يمكن اشتقاق احتمال الخطأ بفرض إرسال الإشارة التي طورها صفر. و يوضح شكل (6.5) منطقة القرار لهذه الإشارة R (المنطقة البيضاء) والمنطقة المكتملة لها R^c (المنطقة المهيثة) وفيما يلي نشتق الحدين الأعلى والأسفل لاحتمال الخطأ .



شكل (6.5) مناطق اتخاذ القرار للطور صفر وحساب الحدين الأدنى والأعلى
لاحتمال الخطأ

بما أن مساحة المنطقة B_1 أصغر من مساحة المنطقة R^c (فيما عدا الحالة الخاصة
 $M=2$ حيث تتساوى المساحتان)، إذن

$$P(e) \geq \Pr\{s \in B_1\} = \Pr\{n_Q > \sqrt{E_s} \sin \frac{\pi}{M}\} = \int_{\sqrt{E_s} \sin \frac{\pi}{M}}^{\infty} \frac{1}{\sqrt{\pi n_0}} \exp\left(-\frac{u^2}{N_0}\right) du$$

$$P(e) > Q\left(\sqrt{\frac{2E_s}{N_0}} \sin \frac{\pi}{M}\right)$$

والنتيجة الأخيرة تعطي الحد الأدنى لاحتمال الخطأ. للحصول على حد أعلى
لاحتمال الخطأ يلاحظ أن مجموع مساحتي المنطقتين B_1 و B_2 يزيد عن مساحة
المنطقة R^c . لذلك

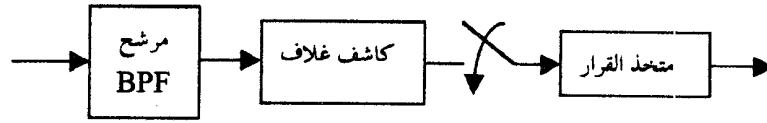
$$P(e) < \Pr\{s \in B_1\} + \Pr\{s \in B_2\}$$

$$P(e) < 2Q\left(\sqrt{\frac{2E_s}{N_0}} \sin \frac{\pi}{M}\right)$$

3.5 احتمال الخطأ للكشف الغير متماسك

1.3.5 إشارة تبديل الفتح و القفل OOK

يتكون جهاز الاستقبال من مرشح لتقليل قدرة الضوضاء ثم كاشف غلاف يليه أخذ عينات بمعدل مساوى لمعدل الرموز الثنائية ثم مقارنة كل عينة بالحد V_t لاتخاذ القرار، و يوضح شكل (7.5) تركيب جهاز الاستقبال.



شكل (7.5) جهاز استقبال إشارة OOK

يفرض أن الضوضاء الداخلة حاوية بيضاء يكون الخرج من المرشح $r(t)$ أثناء فترة زمنية مدتها T

$$r(t) = A \cos \omega_c t + n(t) \quad \text{في حالة إرسال 1}$$

$$r(t) = n(t) \quad \text{وفي حالة إرسال 0}$$

حيث $n(t)$ ضوضاء محدودة النطاق B و يمكن تمثيلها بمركبتين متعامدتين $n_c(t)$, $n_s(t)$ كل منهما عملية عشوائية متوسطها صفر و تباينها (أو قدرتها) $\sigma^2 = N_0 B$

$$r(t) = [A + n_c(t)] \cos \omega_c t - n_s(t) \sin \omega_c t \quad \text{في حالة إرسال 1}$$

$$r(t) = n_c(t) \cos \omega_c t - n_s(t) \sin \omega_c t \quad \text{في حالة إرسال 0}$$

وبذلك يكون غلاف الإشارة $R(t) = R_1(t)$ في حالة إرسال 1 حيث

$$R_1(t) = \sqrt{[A + n_c(t)]^2 + n_s^2(t)}$$

و هو عملية عشوائية من نوع ريس Rice و كثافة احتمال عيناتها

$$f(r_1) = \frac{r_1}{\sigma^2} \exp\left[-\frac{r_1^2 + A^2}{2\sigma^2}\right] I_0\left(\frac{r_1 A}{\sigma^2}\right)$$

ويكون غلاف الإشارة $R(t) = R_o(t)$ في حالة إرسال 0 حيث

$$R_o(t) = \sqrt{n_c^2(t) + n_s^2(t)}$$

و هو عملية عشوائية من نوع رايلي Rayleigh و كثافة احتمال عيناتها

$$f(r_o) = \frac{r_o}{\sigma^2} \exp\left(-\frac{r_o^2}{2\sigma^2}\right)$$

وتصير قاعدة اتخاذ القرار هي: "قرر 1 إذا كانت العينة أكبر من V_t و قرر 0 إذا

كانت العينة أصغر من V_t " ويصير متوسط احتمال الخطأ

$$P_e = \frac{1}{2} \int_0^{V_t} \frac{r_1}{\sigma^2} \exp\left[-\frac{r_1^2 + A^2}{2\sigma^2}\right] I_0\left(\frac{r_1 A}{\sigma^2}\right) dr_1 + \frac{1}{2} \int_{V_t}^{\infty} \frac{r_o}{\sigma^2} \exp\left[-\frac{r_o^2}{2\sigma^2}\right] dr_o$$

ويختار الحد V_t الذي يجعل P_e أقل ما يمكن ويمكن إثبات أن القيمة المثلى له هي

$A/2$ تقريبا إذا كان $A/\sigma \gg 1$ ويكون احتمال الخطأ تقريرا

$$P_e \approx \frac{1}{2} \int_{A/2}^{\infty} \frac{r_o}{\sigma^2} \exp\left[-\frac{r_o^2}{2\sigma^2}\right] dr_o = \frac{1}{2} \exp\left[-\frac{A^2}{8\sigma^2}\right] = \frac{1}{2} \exp\left[-\frac{E_b/N_o}{2BT}\right]$$

حيث تم إهمال التكامل الأول لصغر قيمته بالنسبة للتكامل الثاني

2.3.5 إشارة تبديل إزاحة التردد الثنائي BFSK

تمثل الإشارة بالحالتين

$$s_1(t) = A \cos(\omega_1 t + \theta_1) \quad \text{في حال إرسال 1}$$

$$s_2(t) = A \cos(\omega_2 t + \theta_2) \quad \text{وفي حال إرسال 0}$$

وسنفرض أن الفاصل الترددي بين الإشارتين $f_1 - f_2$ كبير لدرجة أن الانطواء

overlapping بين الطيفين يكون مهملا. لذلك يستخدم مرشح استجابته الترددية

مركزة عند f_1 و نطاق تردده B لأمرار الإشارة الأولى ومنع الثانية في الفرع العلوى لجهاز الاستقبال الموضح في شكل (6.4) بينما يستخدم مرشح آخر استجابته الترددية مركزة عند f_2 و نطاق تردده B لأمرار الإشارة الثانية ومنع الأولى في الفرع السفلى. يلى المرشح كاشف غلاف في الفرعين ثم يطرح خرج الفرع السفلى $V_L(t)$ من خرج الفرع العلوى $V_U(t)$ و تؤخذ عينات من الإشارة الناتجة $r_o(t) = V_U(t) - V_L(t)$ و تقارن بالصفر وتكون قاعدة اتخاذ القرار هي "قرر 1 إذا كانت العينة موجبة و قرر 0 إذا كانت العينة سالبة". وبذلك يكون احتمال الخطأ في حالة إرسال 0 هو احتمال أن $V_L < V_U$ ، ولكن في حالة إرسال 0 كثافة احتمال V_U هي رابلي

$$f(V_U) = \frac{V_U}{\sigma^2} \exp\left[-\frac{V_U^2}{2\sigma^2}\right]$$

وكثافة احتمال V_L هي رابيس

$$f(V_L) = \frac{V_L}{\sigma^2} \exp\left[-\frac{V_L^2 + A^2}{2\sigma^2}\right] I_0\left(\frac{V_L A}{\sigma^2}\right)$$

حيث $\sigma^2 = N_0 B$ ، و لذلك يصير احتمال الخطأ بشرط إرسال 0

$$P_e | 0 = \Pr[V_U > V_L] = \int_0^\infty f(V_L) \left[\int_{V_L}^\infty f(V_U) dV_U \right] dV_L$$

وملاحظة أن

$$\int_{V_L}^\infty f(V_U) dV_U = \int_{V_L}^\infty \frac{V_U}{\sigma^2} \exp\left[-\frac{V_U^2}{2\sigma^2}\right] dV_U = \exp\left[-\frac{V_L^2}{2\sigma^2}\right]$$

$$\therefore P_e | 0 = \exp\left[-\frac{A^2}{2\sigma^2}\right] \int_0^\infty \frac{V_L}{\sigma^2} \exp\left[-\frac{V_L^2}{\sigma^2}\right] \mathbb{I}_0\left(\frac{V_L A}{\sigma^2}\right) dV_L$$

وباستخدام جداول التكاملات نجد أن نتيجة التكامل هي

$$\frac{1}{2} \exp\left[-\frac{A^2}{4\sigma^2}\right]$$

ويصير احتمال الخطأ عند إرسال 0

$$P_e = P_e | 0 = \frac{1}{2} \exp\left[-\frac{A^2}{4\sigma^2}\right] = \frac{1}{2} \exp\left[-\frac{E_b / N_0}{2BT}\right]$$

وهي مساوية لمتوسط احتمال الخطأ بسبب التماثل بين حالتى إرسال 0 أو 1

ويلاحظ أن هذه النتيجة مماثلة لحالة OOK السابقة. وبأخذ أقل قيمة ممكنة للنطاق

$B = 1/T$ لمنع ISI يصير متوسط احتمال الخطأ

$$P_e = \frac{1}{2} \exp\left[-\frac{E_b}{2N_0}\right]$$

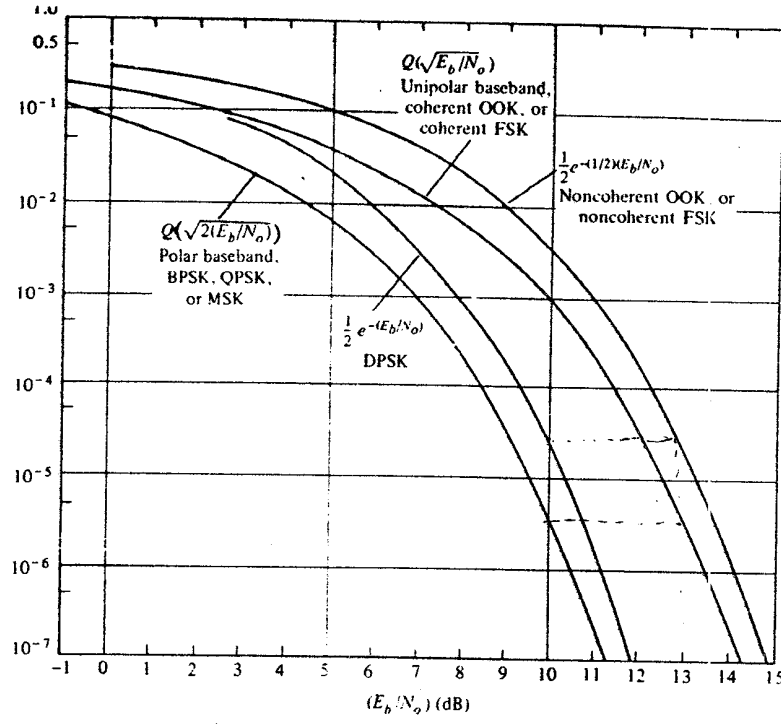
3.3.5 إشارة تبديل إزاحة فرق الطور DPSK

إذا استخدم الكاشف الأمثل في هذه الحالة يمكن إثبات أن احتمال الخطأ مماثل

لحالتى OOK و FSK مع الكشف الغير متماسك المعطى بالمعادلة

$$P_e = \frac{1}{2} \exp\left[-\frac{E_b}{N_0}\right]$$

أخيرا يلخص شكل (8.5) احتمالات الخطأ لبعض طرق التضمين الرقمية.



شكل (8.5) احتمالات الخطأ لبعض طرق التضمين الرقمية.

الباب السادس : نظرية المعلومات وتشفير المصدر

Information Theory and Source Coding

نفترض أن مصدر معلومات يولد رمزا من مجموعة الرموز $\{s_0, s_1, \dots, s_{K-1}\}$ بحيث أن احتمال الرمز s_k هو p_k لذلك

$$\sum_{k=0}^{K-1} p_k = 1$$

1.6 المصدر المتقطع عديم الذاكرة Discrete Memoryless Source

إذا كانت الرموز الصادرة من المصدر في أزمنة مختلفة مستقلة عن بعضها يسمى المصدر المتقطع عديم الذاكرة discrete memoryless .

إذا فرضنا ان $p_k = 1$ فهذا يعني أن الرمز s_k سيصدر بالتأكيد وبذلك تكون المعلومات صفرا ، أما إذا كانت p_k صغيرة فعند صدور رمز من المصدر تزيد كمية المعلومات لعدم تأكدنا من الرمز الصادر قبل صدوره.

2.6 الانتروبيا وقياس المعلومات Entropy and Information measure

تعرف كمية المعلومات التي تصلنا عندما نلاحظ الرمز الصادر s_k بأنها

$$I(s_k) = \log(1/p_k)$$

ويلاحظ من هذا التعريف أن المعلومات تكون صفرا إذا كان $p_k = 1$ وأنها تزداد كلما قل الاحتمال p_k ، ويلاحظ أيضا أن المعلومات موجبة لأن

$$I(s_k) \geq 0 \quad 0 \leq p_k \leq 1$$

في حالة وصول رمزين مستقلين s_k و s_j تكون المعلومات المكتسبة

$$I(s_k s_j) = I(s_k) + I(s_j)$$

لأن

$$\log\left(\frac{1}{p_k p_j}\right) = \log(1/p_k) + \log(1/p_j)$$

وبأخذ أساس اللوغاريتم 2 تكون المعلومات نتيجة وصول رمز احتماله 1/2 هي الواحد وهي نتيجة رمز من رمزين لهما نفس الاحتمال ، اما اذا اعتبرنا فترة طويلة صدر خلالها N رمز مستقل يكون عدد المرات التي ظهر فيها الرمز s_k هو $p_k N$ مرة، لذلك تكون كمية المعلومات خلال الفترة المذكورة

$$I_i = \sum_{i=0}^{K-1} p_i N \log(1 / p_i)$$

ويكون متوسط المعلومات للرمز الواحد هو الانتروبيا H Entropy

$$H = I_i / N = \sum_{i=0}^{K-1} p_i \log(1 / p_i)$$

ويلاحظ أنها تتراوح في المدى $0 \leq H \leq \log_2 K$ وتأخذ قيمتها الصغرى اذا كان $p_k = 1$ لأي رمز، كما تأخذ قيمتها العظمى اذا تساوت احتمالات جميع الرموز ($p_k = 1/K$ لأي رمز).

كحالة خاصة بالنسبة للمصدر الثنائي عديم الذاكرة binary memoryless تكون الانتروبيا

$$H = -p_0 \log p_0 - p_1 \log p_1$$

حيث p_0 احتمال الرمز الأول و p_1 احتمال الرمز الثاني

$$H(p) = -p \log p - (1-p) \log(1-p), 0 \leq p \leq 1$$

ويلاحظ أن $H(1) = H(0) = 0$ و تكون قيمتها عظمى عندما يكون $p=1/2$

$$H(1/2) = 1$$

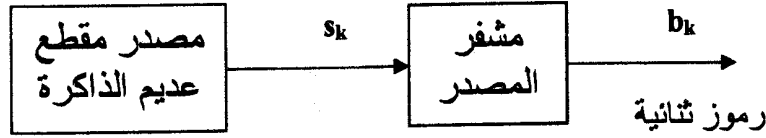
يلاحظ أن الانتروبيا هي مقياس للمعلومات information measure وكذلك مقياس لعدم التأكد uncertainty أو العشوائية randomness .

1.2.6 امتداد للمصدر المقطع عديم الذاكرة

إذا اعتبرنا مجموعات من الرموز بدلا من الرموز الفردية و كل مجموعة تتكون من n رمز متتالي يصير عدد الاحتمالات للمجموعة K^n حيث كان K عدد الرموز الفردية للمصدر ويصير احتمال اى مجموعة مساويا لحاصل ضرب احتمالات رموزها ، و تكون انتروبيا المصدر الممتد nH حيث H انتروبيا المصدر الأصلي.

3.6 نظرية تشفير المصدر Source Coding Theorem

تمثل الرموز الخارجة من مصدر مقطع برموز ثنائية 1 و 0 بحيث يمثل الرمز المتكرر كثيرا بشفرة قصيرة و الرمز النادر الحدوث بشفرة طويلة، ويجب أن يكون التشفير قابل للعكس أى يمكن استعادة الرموز الاصلية من الشفرة.



بفرض أن الرمز s_k الذى يحدد باحتمال p_k يمثل بشفرة طولها l_k رمز ثنائى يكون متوسط طول الشفرة

$$\bar{L} = \sum_{k=0}^{K-1} p_k l_k$$

وتعرف كفاءة التشفير

$$\eta = L_{min} / \bar{L}$$

حيث L_{min} هو أصغر قيمة ممكنة لمتوسط طول الشفرة ولأن $L_{min} \leq \bar{L}$ تكون $\eta \leq 1$.

1.3.6 نظرية شانون للتشفير

تنص على أن متوسط طول الشفرة يكون أكبر من أو يساوى الانتروبيا

$$\bar{L} \geq H$$

بمعنى أن $L_{min} = H$ لذلك تكون كفاءة التشفير

$$\eta = H / \bar{L}$$

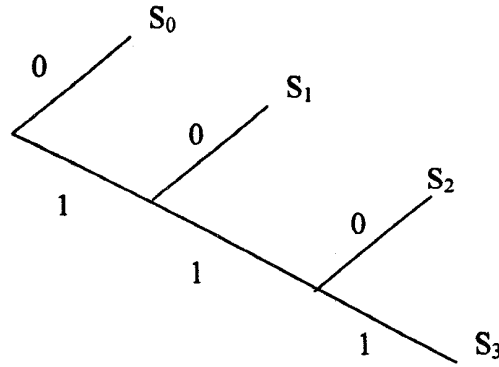
ضغط المعلومات: تحتوى المعلومات الطبيعية الخارجة من مصدر طبيعى على زيادات يمكن ازالتها قبل التراسل ، وبذلك تضغط المعلومات ويمكن ذلك باستخدام أنواع من التشفير كما يلي .

2.3.6 تشفير المقدمة Prefix Coding

تتميز هذه الشفرات بأن أى شفرة لا يمكن أن تكون مقدمة لشفرة اخرى وبذلك يسهل فك الشفرة باستخدام شجرة القرارات وهى مخطط لكل الشفرات وتبدأ بحالة البداية وتنتهى بعدة نهايات تمثل الشفرات

مثال 1 : اعتبر مصدرا يصدر أربعة رموز باحتمالات 0.125,0.125,0.125,0.5

الرمز	احتماله	شفرة المقدمة	طول الشفرة l
S ₀	0.5	0	1
S ₁	0.25	10	2
S ₂	0.125	110	3
S ₃	0.125	111	3



يبدأ فك الشفرة من الشمال فإذا كان الرمز 0 نختار الفرع الأعلى ويقرر S_0 وإذا بدأت بـ 1 نختار الفرع السفلي ثم نختار الفرع التالي وهكذا فمثلاً عند وصول المتابعة 1011111000 نبدأ من الشمال ونصل إلى S_1 فنقرر أن أول رمز S_1 ثم نجد S_3 ثم S_2 ثم S_0 ثم S_0 لذلك يكون حل الشفرة $S_1 S_3 S_2 S_0 S_0$ لحساب الطول المتوسط للشفرة من الجدول السابق

$$\bar{L} = \sum_{i=0}^3 p_i l_i$$

$$= 0.5 \times 1 + 0.25 \times 2 + 0.125 \times 3 + 0.125 \times 3 = 1.75$$

وإذا حسبنا الانتروبيا نجد أنها

$$H(p) = \sum p_i \log(1/p_i)$$

$$= 0.5 \log 2 + 0.25 \log 4 + 0.125 \log 8 + 0.125 \log 8 = 1.75$$

نلاحظ أن $H(p) = \bar{L}$ أى أن كفاءة الشفرة تساوى واحد ، وهذا يحدث عندما تكون احتمالات الرموز قوى سالبة للعدد 2.

3.3.6 متباينة كرافت Kraft Inequality

عند عمل شفرة مقدمة من رموز $\{s_i\}$ لها احتمالات $\{p_i\}$ وأطوال الشفرة المناظرة $\{l_i\}$ حيث $i=1,2,\dots,K-1$ فإن هذه الأطوال تحقق المتباينة

$$\sum_{i=0}^{K-1} 2^{-l_i} \leq 1$$

وذلك باستخدام رموز ثنائية 1,0 في الشفرة .

عندما تكون الاحتمالات قوى سالبة للعدد 2، يمكن أن تكون أطوال الشفرة

$$l_i = \log 1/p_i$$

$$\sum_{i=0}^{K-1} 2^{-l_i} = \sum p_i = 1 \quad \text{وبذلك تتحول متباينة كرافت الى معادلة}$$

وفي هذه الحالة يكون $\bar{L} = \sum p_i \log 1/p_i = H$ وهذا ما لاحظناه في المثال السابق.

نظرية: الطول المتوسط \bar{L} لشفرة مقدمة يكون أكبر من أو يساوى الانتروبيا ،

$$\bar{L} \leq H(p) + 1 \quad \text{ويوجد شفرة مقدمة (من رموز ثنائية) تحقق}$$

نظرية: شفرة المقدمة الثنائية التي تستخدم أقصر طول متوسط تحقق

$$(1) \text{ اذا كان } p_i > p_j \text{ فان } l_i \leq l_j .$$

(2) أطول شفرتين في المجموعة لهما نفس الطول للرمزين الذين لهما أقل احتمالين.

(3) اذا كان هناك شفرتان أو أكثر لهما نفس الطول ، سيتفق اثنان منهم في جميع الأماكن ما عدا الأخير.

مثال 2: كون شفرة المقدمة لمصدر يخرج ثمانية رموز بالاحتمالات التالية

$$p_0 = p_1 = p_2 = p_3 = 1/32, p_4 = p_5 = 1/16, p_6 = 1/4, p_7 = 1/2$$

الحل: سنكتب الاحتمالات كما بالجدول ونعطى كل رمز طول شفرة حسب

النظرية السابقة وكتب الشفرات لتحقيق الشروط السابقة

الرمز الثماني	الاحتمال	الشفرة	الطول
0	2^{-5}	00000	5
1	2^{-5}	00001	5
2	2^{-5}	00010	5
3	2^{-5}	00011	5
4	2^{-4}	0010	4
5	2^{-4}	0011	4
6	2^{-2}	01	2
7	2^{-1}	1	1

نظرية: افترض أن الرمزين الأقل احتمالا قد دجما في رمز اصطناعي واحد و كان ρ' هو أفضل تشفير لذلك المصدر ، للحصول على أفضل تشفير للمصدر الأصلي ρ أضف للرمز الاصطناعي المدمج 1,0 للحصول على شفرتي الرمزين الأقل احتمالا.

سوف نستخدم هذه النظرية في تنفيذ شفرة هافمان

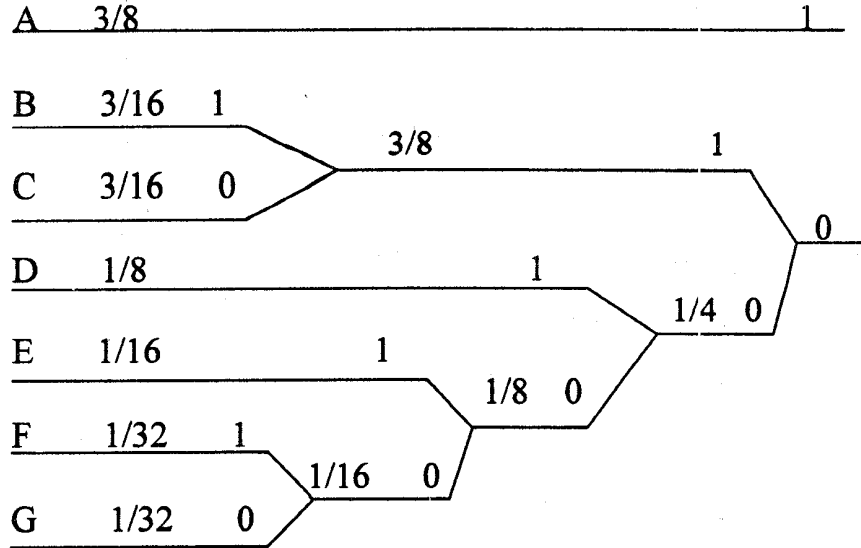
4.3.6 تشفير هافمان Huffman Coding

استخدم الخطوات التالية لتحويل الرموز الى شفرات ثنائية

1. ترتيب الرموز حسب احتمالاتها تنازليا بدءا بأكبر احتمال ، ثم يعطى الرمزين الأقل احتمالا 1,0 وهذا يسمى مرحلة الفصل.
2. يعتبر هذان الرمزان مدمجين في رمز واحد له احتمال يساوي مجموع احتماليهما الأصليين ، وبذلك يقل عدد رموز المجموعة بواحد ، وتدون احتمالات المجموعة الجديدة.
3. تكرر العملية حتى تنتهي برمزين يعطى أحدهما 1 والآخر 0 .

مثال 3: اعتبر مصدرا يصدر الرموز A,B,C,D,E,F,G بالاحتمالات الآتية على الترتيب

$3/8, 3/16, 3/16, 1/8, 1/16, 1/32, 1/32$



تكتب الشفرة بترتيب عكسي كما يبين الجدول التالي

الرمز	الاحتمال	الشفرة	الطول
A	3/8	1	1
B	3/16	011	3
C	3/16	010	3
D	1/8	001	3
E	1/16	0001	4
F	1/32	00001	5
G	1/32	00000	5

بحسب الطول المتوسط للشفرة والانتروبيا كما يلي

$$\bar{L} = 1 \times 3/8 + 3 \times (3/16 + 3/16 + 1/8) + 4 \times 1/16 + 5 \times (1/32 + 1/32) = 2.44$$

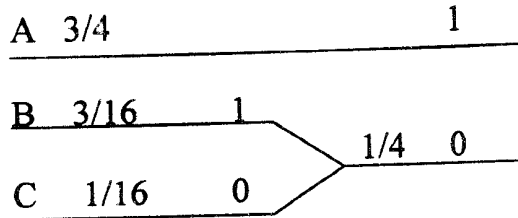
$$H(l) = \frac{3}{8} \log \frac{8}{3} + \frac{3}{16} \log \frac{16}{3} + \dots = 2.37$$

يلاحظ أن الطول المتوسط للشفرة قريب من الانتروبيا.

يمكن تحسين شفرة هافمان بتشفير مجموعات من الرموز بدلا من تشفير الرموز الفردية. يوضح ذلك المثال التالي.

مثال 4: يصدر مصدر رموز الرموز الثلاثة A, B, C باحتمالات الآتية على الترتيب 3/4, 3/16, 1/16 .

أولا شفرة هافمان للرموز الفردية



$$A = 1$$

$$B = 01$$

$$C = 00$$

الطول المتوسط للشفرة

$$\bar{L} = 3/4 \times 1 + 2 \times (3/16 + 3/16) = 1.25$$

الانتروبيا

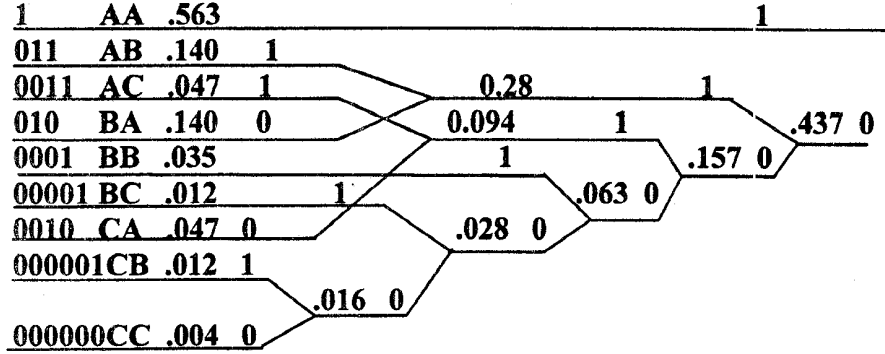
$$H(p) = 3/4 \log 4/3 + 3/16 \log 16/3 + 1/16 \log 16 = 1.012$$

يلاحظ ان الطول المتوسط للشفرة يزيد بحوالى ٢٠% عن الانتروبيا.

ثانيا: شفرة هافمان لمجموعات من رمزين كما يلي

الشفرة

الناجحة



الطول المتوسط للشفرة لرمزين

$$\bar{L}_2 = 1 \times .563 + 3 \times .14 + \dots = 2.07$$

الطول المتوسط للشفرة للرمز

$$\bar{L} = 2.07/2 = 1.035$$

الانتروبيا لم تتغير ولكن يمكن حسابها أيضا كما يلي

$$H(p) = 1/2[.563 \log 1/.563 + .14 \log 1/.14 + \dots] = 1.012$$

من ذلك يتضح التحسين حيث قل الطول المتوسط و اقترب من الانتروبيا.

4.6 القناة المقطعة عديمة الذاكرة Discrete Memoryless Channel

هي نموذج احصائي له دخل X و خرج Y ، و في خلال كل فترة زمنية يدخل رمز من مجموعة الرموز X و يخرج رمز من مجموعة الرموز Y و تسمى القناة مقطعة عندما يكون عدد الرموز في X وفي Y محدودا، وتسمى عديمة الذاكرة عندما

يعتمد الخرج في لحظة معينة على الدخل الحالي فقط وليس على ماسبقه. توصف

القناة بمجموعة رموز الدخل $X = \{x_0, x_1, x_2, \dots, x_{J-1}\}$

و مجموعة رموز الخرج $Y = \{y_0, y_1, y_2, \dots, y_{K-1}\}$

ومجموعة احتمالات الانتقال $p(y_k|x_i) = \text{Prob}(Y=y_k|X=x_i)$

لكل قيم j, k وبالطبع $0 \leq p(y_k|x_j) \leq 1$ لكل قيم j, k .

وليس شرطاً أن يتساوى عدد رموز مجموعة الدخل J و عدد رموز مجموعة الخرج K ، ويمكن تمثيل القناة بمصفوفة الاحتمالات و تسمى مصفوفة القناة.

$$P = \begin{bmatrix} p(y_0|x_0) & p(y_1|x_0) & \dots & p(y_{K-1}|x_0) \\ p(y_0|x_1) & p(y_1|x_1) & \dots & p(y_{K-1}|x_1) \\ \dots & \dots & \dots & \dots \\ p(y_0|x_{J-1}) & p(y_1|x_{J-1}) & \dots & p(y_{K-1}|x_{J-1}) \end{bmatrix}$$

ويلاحظ أن عناصر الصف الواحد تعطي احتمالات الخرج لدخل معين لذلك يكون مجموعها الواحد الصحيح.

بفرض أن رموز الدخل تحدث أصلاً باحتمالات معروفة

$p(x_j) = \text{Prob}[X=x_j]$ تكون احتمالات الارتباط joint probabilities للخرج و الدخل

$$p(x_j, y_k) = p(y_k|x_j)p(x_j)$$

وتكون احتمالات الخرج

$$p(y_k) = \sum_{j=0}^{J-1} p(x_j, y_k) = \sum_{j=0}^{J-1} p(y_k|x_j)p(x_j)$$

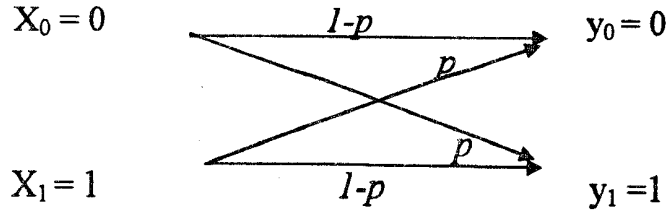
تسمى $p(x_j)$ بالاحتمالات القبلية a priori probabilities

1.4.6 القناة الثنائية المتماثلة Binary Symmetric Channel

هى حالة خاصة من القناة المقطعة العديمة الذاكرة عندما يكون عدد رموز الدخل

اثنين و عدد رموز الخرج اثنين أى أن $J = K = 2$

و تمثل بالرسم التالى و تعرف باحتمال اختلاف الخرج عن الدخل p



2.4.6 المعلومات المتبادلة Mutual Information

اذ اعتبرنا أن خرج القناة Y هو الدخل X المشوه بضوضاء (noisy input) و أن

الانتروبيا $H(X)$ هى مقياس عدم التأكد للدخل X ، كيف نقيس عدم التأكد

للدخل X بعد ملاحظة الخرج Y . سوف نعرف أولا الانتروبيا المشروطة

(conditional entropy) للدخل X علما بأن الخرج قيمة معينة y_k

$$H(X | Y = y_k) = \sum_{j=0}^{J-1} p(x_j | y_k) \log \frac{1}{p(x_j | y_k)}$$

وهى متغير عشوائى متوسطه

$$H(X | Y) = \sum_{k=0}^{K-1} H(X | Y = y_k) p(y_k)$$

$$= \sum_{k=0}^{K-1} \sum_{j=0}^{J-1} p(x_j | y_k) p(y_k) \log \frac{1}{p(x_j | y_k)}$$

$$= \sum_{k=0}^{K-1} \sum_{j=0}^{J-1} p(x_j, y_k) \log \frac{1}{p(x_j | y_k)}$$

الانتروبيا المشروطة $H(X|Y)$ تمثل مقدار عدم التأكد من الدخل بعد معرفة الخرج،
لذلك تعرف المعلومات المتبادلة للقناة

$$I(X;Y) = H(X) - H(X|Y)$$

و لها الخواص التالية

$$I(X;Y) = I(Y;X) \quad \text{أولا التماثل}$$

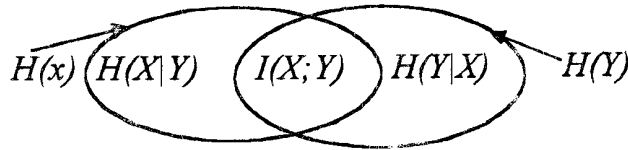
$$I(X;Y) \geq 0 \quad \text{ثانيا كمية غير سالبة}$$

ثالثا لها العلاقة التالية بالانتروبيا المشتركة لدخل و خرج القناة

$$I(X;Y) = H(X) + H(Y) - H(X,Y)$$

حيث تعرف الانتروبيا المشتركة

$$\begin{aligned} H(X,Y) &= \sum_{k=0}^{K-1} \sum_{j=0}^{J-1} p(x_j, y_k) \log \frac{1}{p(x_j, y_k)} \\ &= H(X) + H(Y|X) = H(Y) + H(X|Y) \end{aligned}$$



3.4.6 نظرية سعة المعلومات Information Capacity Theorem

تعرف سعة المعلومات لقناة بأنها أقصى معلومات متبادلة بين الدخل و الخرج لكل التوزيعات الاحصائية الممكنة للدخل أى

$$C = \max_{p(x)} [I(X;Y)], E\{X^2\} = P$$

وتنص النظرية على أن السعة لقناة مستمرة نطاق ترددها B هرتز و مشوهة
 بإضافة ضوضاء جاوسية بيضاء الكثافة الطيفية لقدرتها $N_0/2$ و نطاق ترددها B
 تعطى بـ

$$C = B \log \left(1 + \frac{P}{N_0 B} \right)$$

حيث P القدرة المتوسطة للإشارة الداخلة للقناة.
 ويمكن نقل المعلومات على هذه القناة بمعدل C رمز ثنائي في الثانية أو أقل باحتمال
 خطأ صغير جداً باستخدام نظم تشفير معقدة.
 عند استخدام معدل نقل C يكون $P = E_b C$ حيث E_b الطاقة للرمز الثنائي ، لذا

$$\frac{C}{B} = \log_2 \left(1 + \frac{E_b C}{N_0 B} \right)$$

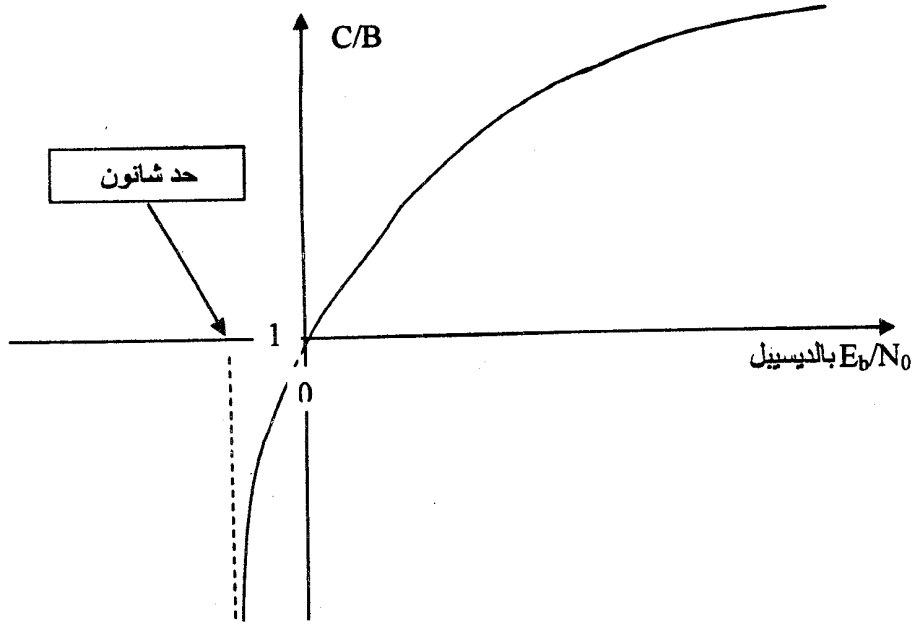
و منها نستنتج أن

$$\frac{E_b}{N_0} = \frac{2^{C/B} - 1}{C/B}$$

برسم العلاقة بين C/B و النسبة E_b/N_0 نحصل على المنحنى التالى الذى يقسم
 المستوى الى منطقتين : المنطقة أسفل ويمين المنحنى حيث $R < C$ وفيها يمكن نقل
 الإشارة بدون أخطاء ، و المنطقة أعلى و يسار المنحنى حيث $R > C$ وفيها يستحيل
 نقل الإشارة بدون أخطاء . عندما يكون نطاق التردد لانهائياً ،

$$\lim_{B \rightarrow \infty} \frac{E_b}{N_0} = \lim_{B \rightarrow \infty} \left(\frac{2^{C/B} - 1}{C/B} \right) = \log 2 = 0.693$$

و تسمى هذه القيمة بمحد شانون Shannon limit .



5.6 مصدر ماركوف Markov Source

يعتمد الرمز الخارج في لحظة معينة على الرموز السابقة من خلال الرمز السابق مباشرة ، أى أن احتمال أن الرمز الحالي x_0 يساوى a_j بعد علم الرموز السابقة x_{-1}, x_{-2}, \dots هو نفس الاحتمال بمعلومية x_{-1} فقط

$$\text{Prob}[x_0=a_j|x_{-1}, x_{-2}, \dots] = \text{Prob}[x_0=a_j|x_{-1}]$$

لذلك يمكن وصف المصدر بمصفوفة احتمالات الانتقالات و التي يعرف عنصرها

$$p_{j|i} = \text{Prob}[x_0 = a_j | x_{-1} = a_i] \quad \text{في الصف } i \text{ و العمود } j$$

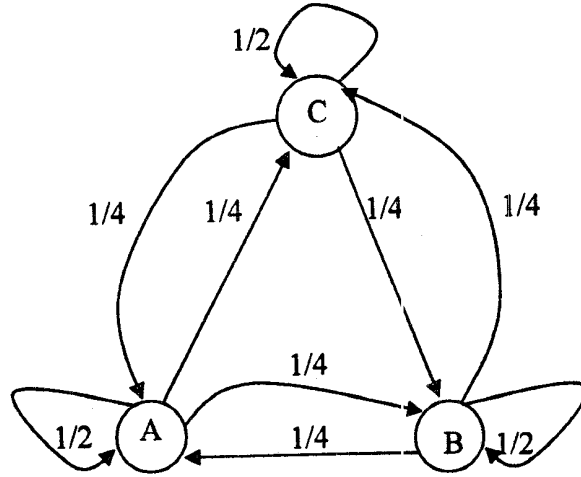
ويسمى هذا المصدر بمصدر ماركوف من الرتبة الأولى.

فمثلا في كلمات اللغة الانكليزية غالبا ما يأتي الحرف u بعد الحرف q أى أن الاحتمال $\text{Prob}[x_0 = u | x_{-1} = q]$ يكون كبيرا.

أما في مصدر ماركوف من الرتبة m فيعتمد الرمز الحالي على m رمز سابق مباشرة $\text{Prob}[x_0 = a_j | x_{-1}, x_{-2}, \dots] = \text{Prob}[x_0 = a_j | x_{-1}, x_{-2}, \dots, x_{-m}]$

في حالة مصدر ماركوف من الرتبة الأولى يمكن تمثيله بمخطط الحالة state diagram

مثال 5: يولد مصدر ماركوف أحد ثلاثة رموز هي A, B, C بحيث أن احتمال توليد رمز معين يعتمد على هذا الرمز و على الرمز السابق مباشرة. يوجد ثلاث حالات هي A, B, C تمثل بثلاث دوائر وترمز الأسهم الى الانتقال في اللحظة الحالية و تعطى القيم المكتوبة على السهم احتمال الانتقال.



مخطط الحالة

مصفوفة احتمالات الانتقالات

$$P_{i|j} = \begin{bmatrix} \frac{1}{2} & \frac{1}{4} & \frac{1}{4} \\ \frac{1}{4} & \frac{1}{2} & \frac{1}{4} \\ \frac{1}{4} & \frac{1}{4} & \frac{1}{2} \end{bmatrix}$$

للمصدر السابق أوجد احتمال توليد المتابعة AC .
 سوف نسمى الحالات الثلاثة A, B, C بالأرقام 1, 2, 3 على الترتيب و نرسم
 مخطط الشجرة في الصفحة التالية.

من هذا الرسم تتولد المتابعة AC اذا مر الرمز بأحد الحالات المتابعة الآتية
 $s_1=1, s_2=1, s_3=3$ أو $s_1=2, s_2=1, s_3=3$ أو $s_1=3, s_2=1, s_3=3$.
 لذلك

$$P[AC] = P[s_1=1, s_2=1, s_3=3] + P[s_1=2, s_2=1, s_3=3] + P[s_1=3, s_2=1, s_3=3]$$

يمكن تحليل الحد الأول كما يلي

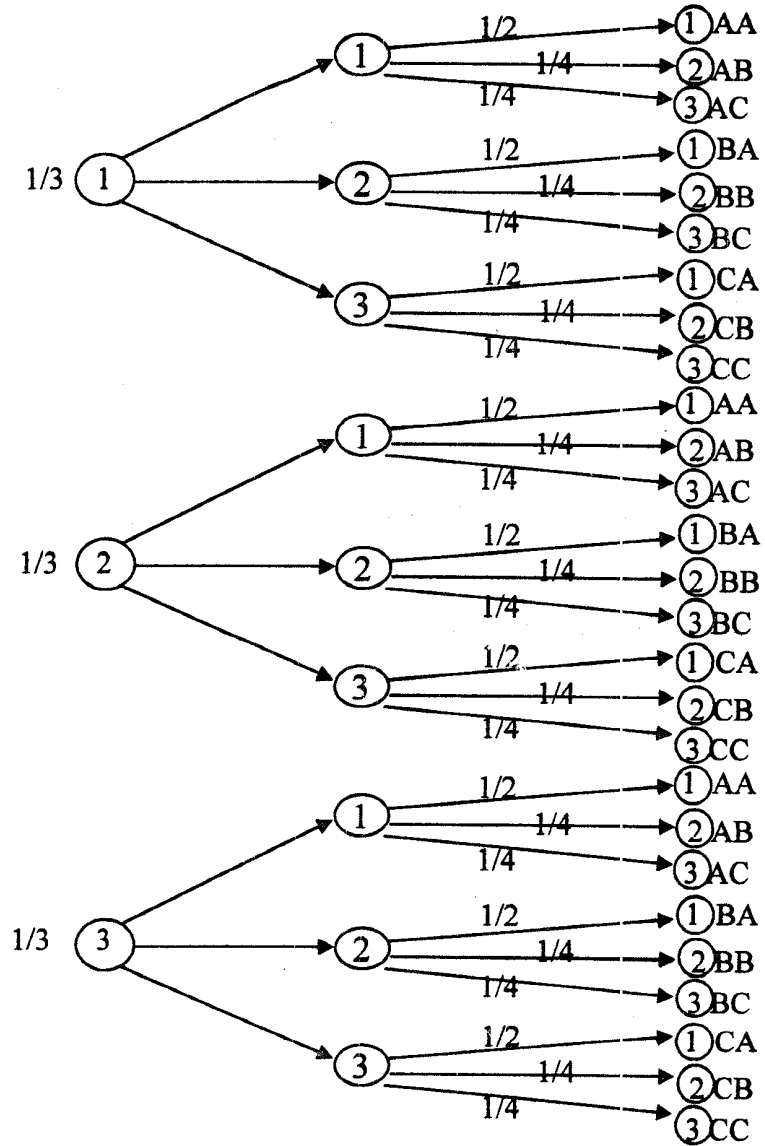
$$P[s_1=1] P[s_2=1|s_1=1] P[s_3=3|s_1=1, s_2=1] \\ = P[s_1=1] P[s_2=1|s_1=1] P[s_3=3|s_1=1] = 1/3 \times 1/2 \times 1/4$$

حيث يتم التعويض من مخطط الشجرة وبالمثل يمكن حساب الحدين الثاني والثالث وبذلك

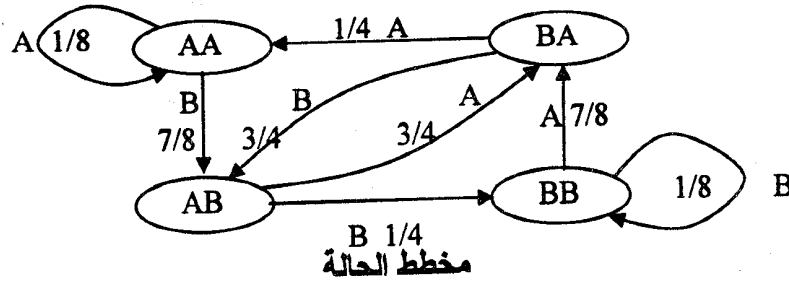
$$P[AC] = 1/3 \times 1/2 \times 1/4 + 1/3 \times 1/4 \times 1/4 + 1/3 \times 1/4 \times 1/4 = 1/12$$

وبالمثل يمكن حساب احتمال أى متابعة من الرموز.

مخطط الشجرة



مثال 6: يولد مصدر ماركوف ثنائي أحد الرمزین A أو B بحيث يعتمد حدوث الرمز عليه وعلى الرمزین السابقین مباشرة (ماركوف من الرتبة الثانية). سوف يمثل مخطط الحالة الحالات السابقة الممكنة وهي AA, BA, AB, AA بدوائر. أى أن الحالة هي رمزین متتالین وتمثل الأسهم الانتقالات الممكنة وتكتب عليها احتمالاتها والرمز الصادر عند كل احتمال.



في حالة عدم اعتماد احتمالات الانتقال على الزمن يكون مصدر ماركوف مستقرا Stationary وفي حالة تطابق المتوسط الاحصائي للمتوسط الزمني يعرف بأنه ارجي (ergodic)

1.5.6 الانتروبيا لمصدر ماركوف MS Entropy of MS

في حالة المصدر الارجي المستقر تعرف الانتروبيا بأنها المتوسط الموزون weighted average لانتروبيا الرموز الصادرة من كل حالة حيث يرمز لانتروبيا الحالة i بـ H_i وهي متوسط كمية المعلومات للرموز الصادرة من الحالة i وتعطى

$$H_i = - \sum_{j=1}^n p_{ij} \log p_{ij}$$

$$H = \sum_{i=1}^n p_i H_i = - \sum_{i=1}^n p_i \sum_{j=1}^n p_{ij} \log p_{ij}$$

حيث p_i هي احتمال وجود المصدر في الحالة i .

ويعرف المعدل المتوسط للمعلومات R بحاصل ضرب الانتروبيا في معدل الرموز

$$R = r_s H$$

يلاحظ أن H هي متوسط المعلومات للرمز ، و r_s عدد الرموز الصادرة في وحدة الزمن وهو نفس عدد الانتقالات التي تحدث في وحدة الزمن.

إذا كان احتمال حدوث متتابعة m_i تتكون من N رمز هو $p[m_i]$ تعرف الدالة G_N

$$G_N = -\frac{1}{N} \sum p[m_i] \log p[m_i]$$

نظرية: (بدون اثبات لكن المثال التالي سيوضحها)

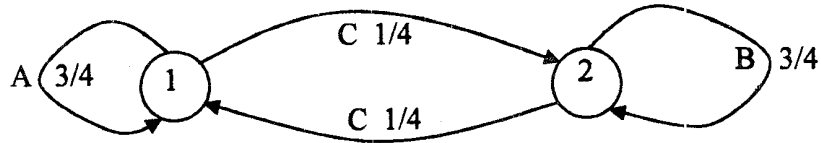
أولا G_N تقترب من الانتروبيا H بزيادة N

$$\lim_{N \rightarrow \infty} G_N = H$$

ثانيا الدالة G_N دالة تناقصية من N

مثال 7: احسب G_3, G_2, G_1 للمصدر الممثل بمخطط الحالة التالي والذي يصدر

احد الرموز الثلاثة A أو B أو C



ارسم مخطط الشجرة.

الحل : نحسب الانتروبيا H_2, H_1 للحالتين 2,1 على الترتيب من مخطط الحالة

$$H_1 = 1/4 \log 4 + 3/4 \log 4/3 = .8113$$

$$H_2 = 1/4 \log 4 + 3/4 \log 4/3 = .8113$$

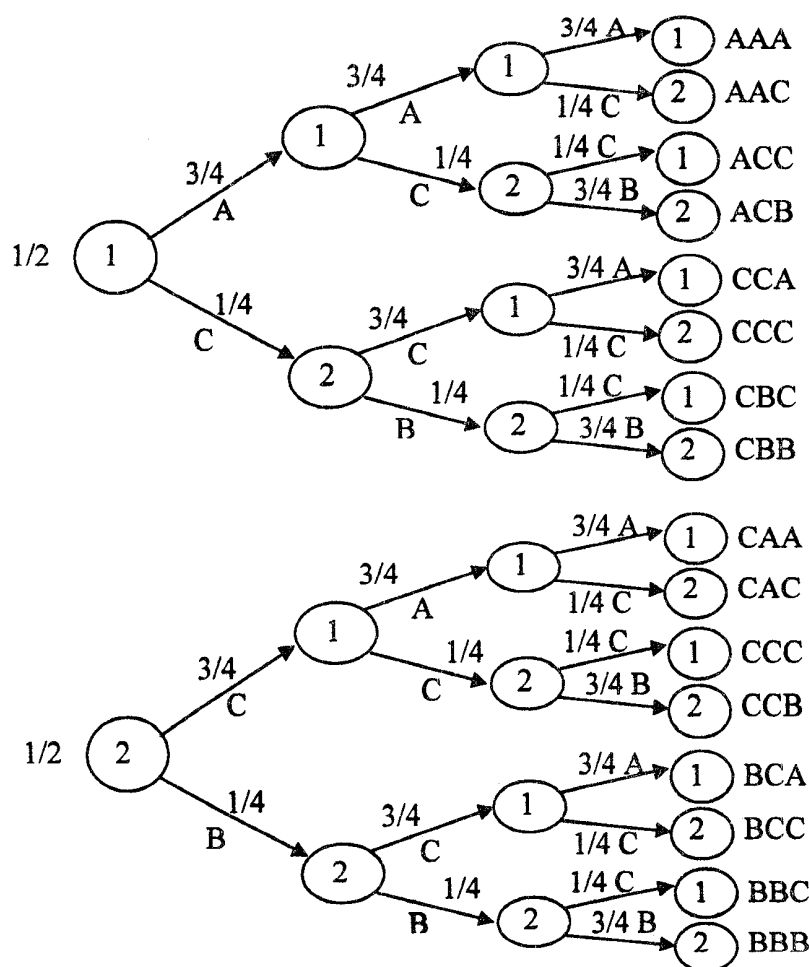
ثم نحسب الانتروبيا للمصدر

$$H = 1/2 H_1 + 1/2 H_2 = .8113 \text{ bit/symbol}$$

لحساب G_1 نلاحظ من مخطط الحالة ان احتمالات صدور الرموز الثلاثة A, B, C هي

هي $1/4, 3/8, 3/8$ على الترتيب

$$\therefore G_1 = 3/8 \log 8/3 + 3/8 \log 8/3 + 1/4 \log 4 = 1.5612$$



ولحساب G_2 نحسب احتمالات حدوث المتتابعات المكونة من رمزين بالاستعانة

بمخطط الشجرة في الصفحة السابقة

$$\begin{aligned} P(AA) &= 1/2 \times 3/4 = 9/32 \\ P(AC) &= 1/2 \times 3/4 \times 1/4 = 3/32 \\ P(CB) &= 1/2 \times 1/4 \times 3/4 = 3/32 \\ P(CC) &= 1/2 \times 1/4 \times 1/4 + 1/2 \times 1/4 \times 1/4 = 1/16 \\ P(BB) &= 1/2 \times 3/4 \times 3/4 = 9/32 \\ P(BC) &= 1/2 \times 3/4 \times 1/4 = 3/32 \\ P(CA) &= 1/2 \times 1/4 \times 3/4 = 3/32 \end{aligned}$$

يلاحظ أن

$$\begin{aligned} P(AA) &= P(BB) = 9/32, \\ P(CA) &= P(AC) = P(CB) = P(BC) = 3/32 \end{aligned}$$

لذلك

$$G_2 = 1/2 [2 \times 9/32 \log 32/9 + 4 \times 3/32 \log 32/4 + 1/16 \log 16] = 1.2799$$

وبالمثل لحساب G_3 نحسب احتمالات المتتابعات المكونة من ثلاثة رموز من أعلى

فرع في الشجرة

$$P(AAA) = 1/2 \times 3/4 \times 3/4 \times 3/4 = 27/128$$

وبالمثل لباقى المتتابعات نجد أن

$$\begin{aligned} P(AAC) &= 9/128, P(ACC) = 3/128 \\ P(ACB) &= 9/128, P(BBB) = 27/128 \\ P(BBC) &= 9/128, P(BCC) = 3/128 \\ P(BCA) &= 9/128, P(CCA) = 3/128 \\ P(CCB) &= 3/128, P(CCC) = 2/128 \\ P(CBC) &= 3/128, P(CAC) = 3/128 \\ P(CBB) &= 9/128, P(CAA) = 9/128 \end{aligned}$$

$$G_3 = 1/3 [27/128 \log 128/27 + 9/128 \log 128/9 + \dots] = 1.097$$

مما سبق يلاحظ تناقص الدالة G_N بزيادة N حتى تصل في النهاية الى H

$$H = \lim_{N \rightarrow \infty} G_N = 0.8113, G_1 \geq G_2 \leq G_3 \geq H$$

2.5.6 تشفير مصادر ماركوف

إذا شفرت كل مجموعة من الرموز إلى شفرة رموز ثنائية متغيرة الطول l_N سيكون متوسط طول الشفرة \bar{l}_N أكبر من G_N و بزيادة عدد الرموز في المجموعة N تقترب \bar{l}_N من G_N و تقترب G_N من H ، وبذلك يقترب معدل الرموز الثنائية من المعدل المتوسط للمعلومات R ، و تعرف كفاءة التشفير η بالنسبة بين المعدل المتوسط للمعلومات R إلى معدل الرموز الثنائية لخرج المشفر.

خوارزم شانون للتشفير Shannon's Encoding Algorithm

بفرض أن الدخل للمشفّر يتكون من احدى q رسالة ممكنة ، وتتكون كل رسالة من N رمز ، ستشفّر الرسالة m_i إلى شفرة ثنائية c_i طولها l_i رمز ثنائي بحيث أن الطول المتوسط \bar{l}_N يكون أقرب ما يمكن إلى G_N .
الحل الذي اقترحه شانون يتلخص في الخطوات التالية، افرض أن احتمالات الرسائل هي p_1, p_2, \dots, p_q

$$\bar{l}_N = \frac{1}{N} \sum_{i=1}^q l_i p_i$$

$$G_N = \frac{1}{N} \sum_{i=1}^q p_i \log \frac{1}{p_i}$$

أولاً: رتب الرسائل ترتيباً تنازلياً في احتمالاتها بحيث أن

$$p_1 \geq p_2 \geq \dots \geq p_q$$

$$F_i = \sum_{k=1}^{i-1} p_k \text{ و } F_1 = 0$$

ثم أوجد الرقم الصحيح l_i الذي يحقق العلاقة

$$\log 1/p_i \leq l_i \leq 1 + \log 1/p_i \quad (1.6)$$

ثانيا: تكون الشفرة c_i الممثلة للرسالة m_i هي المفكوك الثنائي للكسر F_i حتى l_i رمز ثنائي. يلاحظ أن تعريف الكسر الثنائي

$$b_1 b_2 b_3 \dots b_k = \frac{b_1}{2} + \frac{b_2}{2^2} + \frac{b_3}{2^3} + \dots + \frac{b_k}{2^k}$$

يتميز هذا التشفير بالخواص التالية:

1. تمثل الرسائل عالية الاحتمال بشفرات قصيرة بينما تمثل الرسائل صغيرة الاحتمال بشفرات طويلة.

2. تختلف شفرة الرسالة m_i عن كل الشفرات السابقة في مكان أو أكثر.

3. متوسط عدد الأرقام الثنائية في كل رمز محدود بالعلاقة

$$G_N \leq \overline{l_N} \leq G_N + 1/N$$

لإثبات ذلك نضرب المتباينة (1.6) في p_i ثم نجمع من $i=1$ الى q لذا

$$\sum_{i=1}^q p_i \log \frac{1}{p_i} \leq \sum_{i=1}^q p_i l_i \leq 1 + \sum_{i=1}^q p_i \log \frac{1}{p_i}$$

وبقسمة المتباينة الأخيرة على N يثبت المطلوب ويلاحظ أن الطول المتوسط للشفرة يقترب من H عندما تقترب N من مالانهاية.

وتعرف النسبة بين الانتروبيا H الى الطول المتوسط $\overline{l_N}$ بكفاءة المعدل rate efficiency

مثال 8: صمم شفرة شانون للمصدر المعروف في المثال السابق للحالة $N=3$.

عدد الرسائل المكونة من ثلاث رموز خمس عشرة.

الرسالة $m_1 = AAA$ احتمالها $27/128$ لذا

$$\log 128/27 \leq l_1 \leq 1 + \log 128/27$$

$$2.245 \leq l_1 \leq 3.245$$

لذلك $l_1 = 3$ وتولد الشفرة c_1 من فك $(.0000)_2 = F_1 = 0$ ، لذا $c_1 = 000$

كذلك الرسالة الثانية $m_2 = BBB$ لها نفس الاحتمال $27/128$ لذا يكون طول

شفرتها $l_2 = 3$ وتولد الشفرة c_2 من فك $(.0011011)_2$ ، $F_2 = 27/128$ ،

لذا $c_2 = 001$ وهكذا لباقي الشفرات كما يوضحها الجدول التالي

m_i	p_i	l_i	F_i	F_i الثنائي	c_i
AAA	27/128	3	0	.0000	000
BBB	27/128	3	27/128	.0011011	001
CAA	9/128	4	54/128	.0110110	0110
CBB	9/128	4	63/128	.0111111	0111
BCA	9/128	4	72/128	.1001000	1001
BBC	9/128	4	81/128	.1010000	1010
AAC	9/128	4	90/128	.1011010	1011
ACB	9/128	4	99/128	.1100011	1100
CBC	3/128	6	108/128	.1101100	110110
CAC	3/128	6	111/128	.1101111	110111
CCB	3/128	6	114/128	.1110010	111001
CCA	3/128	6	117/128	.1110101	111010
BCC	3/128	6	120/128	.1111000	111100
ACC	3/128	6	123/128	.1111011	111101
CCC	2/128	6	126/128	.1111110	111111

لذا $H = .8113$ ، $\sum p_i l_i = 3.89$ ، لذلك الطول المتوسط للشفرة = 1.3 رقم ثنائي لكل

رمز ، وتكون كفاءة المعدل 62%.

يمكن تكرار ماسبق للحالتين $N = 1$ ، $N = 2$ ، وفيما يلي النتائج.

للحالة $N = 1$

m_i	p_i	l_i	c_i
A	3/8	2	00
B	3/8	2	01
C	1/4	2	11

ويكون الطول المتوسط للشفرة = 2 رقم ثنائي لكل رمز ، وتكون كفاءة المعدل 40%.

للحالة N =2

m_i	p_i	l_i	F_i	C_i
AA	9/32	2	0	00
BB	9/32	2	9/32	01
AC	3/32	4	18/32	1001
CB	3/32	4	21/32	1010
BC	3/32	4	24/32	1100
CA	3/32	4	27/32	1101
CC	2/32	4	30/32	1111

ويكون الطول المتوسط للشفرة = 1.44 رقم ثنائي لكل رمز ، وتكون كفاءة المعدل 56%.

مشاكل استخدام الشفرة المتغيرة الطول:

أولا : تؤدي الأخطاء البسيطة الناتجة أثناء نقل الإشارة الى أخطاء جسيمة بعد فك التشفير. للتعليق على هذه المشكلة يمكن استخدام الشفرات ثابتة الطول. فمثلا في المثال السابق للحالة N=3 يمكن تشفير الرسائل الخمسة عشر باستخدام شفرة طولها أربعة أرقام ثنائية وهذه تعطي 1.33 رقم ثنائي لكل رمز. وتتميز الشفرة ثابتة الطول ببساطة التشفير وفكه.

ثانيا: يتغير معدل البيانات بشدة اذا قيس على فترات زمنية صغيرة.

ثالثا: يزداد زمن فك التشفير بزيادة عدد الرموز في الرسالة N.

الباب السابع: شفرات التحكم في الأخطاء Error Control Codes

يمكن تحسين معدل الخطأ عند نقل الاشارات باستخدام شفرات التحكم في الأخطاء التي تنقسم الى نوعين

1. شفرات تصحيح الخطأ الأمامية forward error correcting codes ولا تحتاج الى قناة اتصال عكسية حيث يصحح الخطأ في جهاز الاستقبال ، ومن أهم أنواعها شفرات المجموعات block codes و الشفرات التشابكية convolution codes والشفرات الدورية cyclic codes وحديثا الشفرات التوربينية turbo codes.
2. شفرات اكتشاف الأخطاء error detecting codes حيث يمكن اكتشاف وجود أخطاء لكن لا يمكن تصحيحها في جهاز الاستقبال ، لذلك تحتاج الى قناة اتصال عكسية لابلغ المرسل بوجود أخطاء وطلب ارسال الرسالة مرة أخرى. ويستخدم أحد النوعين أو كلاهما في نظم الاتصالات الرقمية ، وبعض الشفرات تصحح عددا من الأخطاء وتكتشف عددا أكبر من الأخطاء كما سنرى فيما بعد. ونعرض فيما يلي أمثلة لأنواع هذه الشفرات.

1.7 شفرات التكافؤ Parity codes

تعتبر من أهم وأكثر الطرق استعمالا في اكتشاف الأخطاء في التراسل الغير متزامن asynchronous transmission وكذلك في التراسل المتزامن للحروف الخاصة character oriented synchronous transmission حيث يستخدم رمز تكافؤ parity bit وفيه يتم اضافة رمز التكافؤ الى الرموز الثنائية المثلة لحرف خاص character قبل التراسل ، ولحساب رمز التكافؤ يحصى عدد الآحاد في الرموز المثلة للرمز فاذا كان عددهم فرديا يكون رمز التكافؤ 0 في التكافؤ الفردى و 1 في

التكافؤ الزوجي ، وبعد استقبال الحرف يحصى عدد الآحاد فيه لاكتشاف وجود خطأ واحد فيه ، فإذا كان التكافؤ فرديا وعدد الآحاد زوجيا (أو التكافؤ زوجيا وعدد الآحاد فرديا) يقرر جهاز الاستقبال وجود خطأ تم اكتشافه في الحرف. فمثلا في الشفرة الأمريكية القياسية لتبادل المعلومات ASCII يستخدم سبعة رموز ثنائية لتمثيل الحرف بالإضافة الى رمز التكافؤ ليصير العدد الكلي للرموز ثمانية. يلاحظ أن هذه الشفرة لاكتشف الأخطاء في الحرف اذا كان عددها زوجيا كما أنها لايمكنها تصحيح الأخطاء المكتشفة.

2.7 شفرات التكرار Repetition Codes

تعتبر من أبسط أنواع الشفرات حيث يكرر كل رمز عدد فردي من المرات M وفي جهاز الاستقبال يقرر الرمز باختبار الرموز المكررة و اتخاذ قرار حسب الأغلبية.

مثال 1: بتكرار الرمز ثلاث مرات تشفر المتابعة الثنائية 10100 الى

000 000 111 000 111 ، وبعد نقلها تكون الشفرة الواصلة الى جهاز الاستقبال

100 001 111 011 111 بفرض حدوث أخطاء في الرموز التي تحتها خط، بناء

على الغالبية من الرموز الثلاثة تكون المتابعة بعد فك التشفير 11100 حيث

صحح الخطأ الواحد من كل ثلاث رموز بينما لا يمكن تصحيح أخطاء أكثر من

ذلك ، أى يكون احتمال الخطأ النهائي P_e هو احتمال حدوث الخطأ في اثنين أو

أكثر من الثلاثة رموز المكررة .

$$P_e = 3p^2(1-p) + p^3 = 3p^2 - 2p^3$$

حيث p هو احتمال الخطأ في أى رمز ، وعادة تكون $p < P_e$ عندما تكون p

أصلا صغيرة ، لذا $P_e \approx 3p^2$

عيب هذا النوع من التشفير أنه يعطى معدل تشفير منخفض للحصول على تحسين

معقول (معدل التشفير $= 1/M$ حيث يكرر كل رمز M مرة)

إذا كانت $M=2m+1$ حيث m عدد صحيح ، يمكن إثبات أن

$$P_e \approx \binom{2m+1}{m+1} p^{m+1}$$

لذلك يمكن تقليل احتمال الخطأ إلى أى قيمة اختيارية بزيادة M .

3.7 شفرات المجموعات Block codes

يقسم سبل الرموز الثنائية إلى مجموعات متساوية الطول ، وتسمى كل مجموعة رسالة ، ثم تشفر كل رسالة مكونة من k رمز ثنائي بإضافة رموز عددها $n-k$ مشتقة من رموز الرسالة لتعطى كلمة مشفرة code word مكونة من n رمز ثنائي.

أى أن الرسالة $D = [d_1 d_2 \dots d_k]$ تشفر إلى $C = [c_1 c_2 \dots c_n]$

تسمى الشفرة بشفرة مجموعة (n,k) وتسمى النسبة k/n بمعدل التشفير. حيث أن

الرسالة الواحدة تتكون من k رمز ثنائي ، يكون عدد الرسائل الممكنة 2^k وهو نفس عدد الكلمات المشفرة الممكنة.

تكون الشفرة خطية linear code إذا كانت كل كلمة مشفرة يمكن تكوينها من التركيب الخطى لكلمات أخرى فمثلا

$$C_1 = a_2 C_2 + a_3 C_3 + \dots$$

الشفرة المنظمة systematic code تظهر فيها الرسالة كجزء مميز من الكلمة المشفرة (الجزء الأول أو الجزء الأخير) . لذلك تكون الرموز الأولى من 1 إلى k فى الكلمة المشفرة هى نفس الرموز الرسالة الأصلية

$$c_i = d_i \text{ لقيم } i \text{ من } 1 \text{ إلى } k$$

تسمى باقى الرموز الزائدة التى عددها $n-k$ برموز الاختبار check bits وتحسب

$$c_i = p_{1i}d_1 + p_{2i}d_2 + \dots + p_{ki}d_k \text{ لقيم } i \text{ من } 1 \text{ إلى } n-k$$

حيث أن المعاملات p_{ij} تأخذ قيما ثنائية 0 أو 1 وعمليات الجمع ثنائية.

لذلك يمكن حساب الكلمة المشفرة بضرب الرسالة في مصفوفة G أى أن $C=DG$ و تتركب المصفوفة G من جزئين $G = [I_k P]$ حيث I_k هي المصفوفة الذاتية identity matrix من الرتبة k ، و P هي مصفوفة المعاملات وتسمى مصفوفة التكافؤ Parity matrix و أبعادها $k \times n-k$ وتصمم لتعطي الخواص المطلوبة.

$$P = \begin{bmatrix} p_{11} & p_{12} & \dots & p_{1,n-k} \\ p_{21} & p_{22} & \dots & p_{2,n-k} \\ \dots & \dots & \dots & \dots \\ p_{k,1} & p_{k,2} & \dots & p_{k,n-k} \end{bmatrix}$$

وتسمى المصفوفة G بمصفوفة التوليد generator matrix و أبعادها $k \times n$

مثال 2: مصفوفة التوليد لشفرة مجموعات (6,3) تعطى بـ

$$G = \begin{bmatrix} 1 & 0 & 0 & 0 & 1 & 1 \\ 0 & 1 & 0 & 1 & 0 & 1 \\ 0 & 0 & 1 & 1 & 1 & 0 \end{bmatrix}$$

احسب جميع الكلمات المشفرة ووزن كل منها (الوزن هو عدد الآحاد)

الحل يلاحظ أن $k=3$ و أن $n=6$ ويوجد ثمان رسائل ممكنة تعطى ثمان رسائل

مشفرة حسب الجدول الآتى

الوزن	الكلمة المشفرة C	الرسالة D
0	000000	000
3	001110	001
3	010101	010
4	011011	011
3	100011	100
4	101101	101
4	110110	110
3	111000	111

يزداد تعقيد المشفر كلما زادت n

تعرف مصفوفة اختبار التكافؤ H parity check matrix كما يلي $H = [P^T \ I_{n-k}]$

$$H = \begin{bmatrix} p_{11} & p_{21} & \dots & p_{k1} & 100\dots 00 \\ p_{12} & p_{22} & \dots & p_{k2} & 0100\dots 0 \\ \dots & \dots & \dots & \dots & \dots \\ p_{1,n-k} & p_{2,n-k} & \dots & p_{k,n-k} & 000\dots 1 \end{bmatrix}$$

يلاحظ أنه إذا كانت C كلمة مشفرة صحيحة يكون $CH^T = 0$

لذلك تستخدم H في الاستقبال لفك الشفرة.

أما إذا كانت R الكلمة المشفرة المستقبلية التي تحتوي على أخطاء نتيجة إضافة خطأ

$$S = RH^T = (C+E)H^T = CH^T + EH^T = EH^T \quad E \text{ يكون}$$

لذلك يكون $S=0$ إذا كانت R كلمة المشفرة ممكنة. أما إذا حدث خطأ في الرمز

رقم i من C تكون S الناتجة هي الصف رقم i من المصفوفة H^T و بذلك يمكن

تحديد مكان الخطأ الواحد في الكلمة المشفرة وتصحيحه ، فمثلا في المثال السابق

يفرض أن الخطأ في المكان الثاني يكون $E = [010000]$ ويكون $S = [101]$

$$H = \begin{bmatrix} 0 & 1 & 1 & 1 & 0 & 0 \\ 1 & 0 & 1 & 0 & 1 & 0 \\ 1 & 0 & 0 & 0 & 0 & 1 \end{bmatrix} \Rightarrow H^T = \begin{bmatrix} 0 & 1 & 1 \\ 1 & 0 & 1 \\ 1 & 1 & 0 \\ 1 & 0 & 0 \\ 0 & 1 & 0 \\ 0 & 0 & 1 \end{bmatrix}$$

بعد حساب S ومقارنتها بمصفوف H^T نجد أنها تطابق الصف الثاني، لذا يقرر جهاز الاستقبال وجود خطأ في الرمز الثاني.

من المثال السابق يتضح أن الشفرة يمكنها تصحيح خطأ واحد فقط مع اكتشاف

بعض الأخطاء الأخرى. وتعتمد مقدرة الشفرة على تصحيح وكشف الأخطاء

على المسافة الصغرى minimum distance بين الكلمات المشفرة حيث تعرف

المسافة بين كلمتين مشفرتين C_1 و C_2 بأنها عدد الأماكن التي فيها اختلاف بينهما، كذلك يعرف وزن الشفرة بأنه عدد الأماكن التي لا تحتوى على أصفار ، و فيما يلي نعرض بعض النظريات التي تحدد مقدرة الشفرات.

نظرية 1: المسافة الصغرى لشفرة مجموعات خطية هي أصغر وزن لكلمة مشفرة باستثناء الكلمة المكونة من أصفار فقط.

فمثلا في المثال السابق تكون هذه المسافة 3 حسب النظرية ، و بمقارنة أى كلمتين مشفرتين في الجدول بحساب المسافات بينهما نتأكد من ذلك.

لفك التشفير تقارن الكلمة المستقبلة مع الكلمات المشفرة الممكنة و يختار منها أقرب واحدة.

نظرية 2: اذا كانت المسافة الصغرى d_{min} يمكن للشفرة تصحيح أخطاء عددها حتى t حيث $t = \lfloor (d_{min}-1)/2 \rfloor$ واكتشاف أخطاء عددها يصل الى $d_{min}-1$ حيث $\lfloor x \rfloor$ ترمز الى أكبر عدد صحيح لا يزيد عن x

لذلك لتصميم شفرة لتصحيح خطأ واحد تختار صفوف المصفوفة H^T التي عددها n بحيث يختلف كل صف عن باقى الصفوف لتكون S مختلفة لحالات الخطأ الواحد المختلفة مع ملاحظة عدم استخدام صف كله أصفار ، كذلك يجب أن تكون الصفوف الأخيرة التي عددها $n-k$ المصفوفة الذاتية. بذلك تصمم المصفوفة H^T و منها يمكن استنتاج المصفوفة G لتوليد الشفرة.

مثال 3: بفرض أن $n-k=3$ تكون صفوف المصفوفة الذاتية 100 و 010 و 001 هي الصفوف الثلاثة الأخيرة من المصفوفة H^T ويحتوى كل منها على صفين ، وبإضافة الصفوف الأولى التي تحتوى على صفر واحد و هي 110 و 101 و 011 والصف الأخير يحتوى على 111 تتكون المصفوفة H^T و منها نوجد مصفوفة التوليد G

$$H^T = \begin{bmatrix} 1 & 1 & 0 \\ 1 & 0 & 1 \\ 0 & 1 & 1 \\ 1 & 1 & 1 \\ 1 & 0 & 0 \\ 0 & 1 & 0 \\ 0 & 0 & 1 \end{bmatrix} = \begin{bmatrix} P \\ I_3 \end{bmatrix} \Rightarrow G = [I_4 \quad P] = \begin{bmatrix} 1 & 0 & 0 & 0 & 1 & 1 & 0 \\ 0 & 1 & 0 & 0 & 1 & 0 & 1 \\ 0 & 0 & 1 & 0 & 0 & 1 & 1 \\ 0 & 0 & 0 & 1 & 1 & 1 & 1 \end{bmatrix}$$

المراجع

1. L. W. Couch, "Digital and Analog Communication Systems," Second Edition, Macmillan, 1987.
2. K. S. Shanmugum, "Digital and Analog Communication Systems," Wiley, 1979.
3. S. Haykin, "Communication Systems," 4th Edition, Wiley 2001.
4. R. E. Ziemer, and R. L. Peterson, "Digital Communication and Spread Spectrum Systems," Macmillan, 1985.
5. B. P. Lathi, "Modern Analog and Digital Communication Systems," Holt, Rinehart and Winston, 1983
6. S. Pasupathy, "Minimum Shift Keying, A Spectrally Efficient Modulation," IEEE Communications Magazine, July 1979.
7. A. Mehrotra, "Cellular Radio Performance Engineering," Artech House 1997.
8. C. Sundberg, "Continuous Phase Modulation, "IEEE Communications Magazine," April 1986.
9. S. Elnoubi, "Probability of Error Analysis of Partial Response Continuous Phase Modulation with Noncoherent Detection in Mobile Radio Channels", IEEE Transactions of Vehicular Technology, Feb. 1989, pp. 19-30.

ترجمة المصطلحات

Information source	مصدر المعلومات
analog	تشابيه
noise	الضوضاء
analog	تشابيه
discrete	مقطعة
source encoder	مشفر المصدر
(ASCII)	الشفرة الأمريكية العيارية لتبادل المعلومات
source decoder	جهاز فك شفرة المصدر
channel coder	مشفر القناة
modulator	المضمن
demodulator	الكاشف
Sampling Theorem	نظرية أخذ العينات
ideal sampling	الأخذ المثالي للعينات
Fourier transform	تحويل فوريير
Fourier series	سلسلة فوريير
bandwidth	نطاق تردد
overlapping	الانطواء
lowpass filter (LPF)	مرشح لأمرار الترددات المنخفضة
pulse amplitude modulation	التضمين بسعة النبضات
Spectrum	طيف

Pulse Code Modulation التضمين بتشفير النبضات
time division multiplexing التعددية بتقسيم الزمن
uniform quantization التقريب المنتظم
non-uniform quantization تقريب غير منتظم
companding عمليتا الضغط والبسط
time division التقسيم الزمني
word interleaving التركيب البيني للكلمات
frame إطار
Delta Modulation التضمين التفاضلي
Adaptive Delta Modulation التضمين التفاضلي الموائم
discrete adaptation التواءم المتدرج
Continuous slope Delta Modulation تضمين دلتا مستمر الميل .
Differential Pulse Code Modulation التضمين بتشفير تفاضل النبضات
linear predictor (LP) المستنتج الخطي
LP coefficients عوامل المستنتج الخطي .
Binary Line Coding التشفير الثنائي للخط
Unipolar أحادية القطبية
Non-return-to-zero الغير عائدة للصفر
Return to zero العائدة إلى الصفر
Polar القطبية
Bipolar ثنائية القطبية

الطور المفصوم Split Phase
التزامن الذاتي self synchronization
الشفافية transparency
الدالة التكرارية الذاتية autocorrelation function
طيف القدرة power spectrum
قرن التيار المتردد ac coupling
ثنائية القطبية عالية الكثافة High density bipolar
التشفير التفاضلي Differential coding
التضمن بالسعة المتعددة للنبضات M-ary Pulse Amplitude Modulation
محطات إعادة repeaters
المبدلات الرقمية digital switching
الحاسبات الإلكترونية computers
رعشة التزامن timing jitter
معدل احتمال الخطأ bit error rate
جودة عالية high fidelity
الخصوصية والسرية privacy .
التعددية multiplexing
التعددية الرقمية Digital multiplexing
فصل التعددات demultiplexing
الشبكة الرقمية للخدمات المتكاملة .Integrated Services Digital Networks
الترك البيني للرقم الثنائي bit interleaving

التركيب البيني للكلمات word interleaving
تشكيل النبضات Pulse Shaping
التداخل بين الرموز Intersymbol Interference
المعيار الأول لنيكويسٽ First Nyquist Criterion
جيب التمام المرتفع الكامل fully raised cosine
معامل انحدار rolloff factor
الثنائي المضاعف duobinary
الثنائي المضاعف المعدل modified duobinary
الالتفاف convolution
طرق التضمين الرقمي للموجة الحاملة Digital Carrier Modulation
التضمين الرقمي الثنائي Binary Digital Modulation
تبديل الفتح والقفل On Off Keying(OOK)
تبديل إزاحة السعة الثنائية Binary Amplitude Shift Keying
تبديل إزاحة الطور الثنائي Binary Phase Shift Keying
تبديل إزاحة التردد الثنائي Binary Frequency Shift Keying
تبديل الإزاحة الدنيا Minimum Shift Keying
تبديل إزاحة فرق الطور Differential Phase Shift Keying
الكاشف الأفضل optimum detector
طرق التضمين الرقمي المتعدد Multilevel Digital Modulation
تبديل الإزاحة للسعة المتعددة M-ary Amplitude Shift Keying
تبديل الإزاحة للطور المتعدد M-ary Phase Shift Keying

التضمين السعوى المتعامد Quadrature Amplitude Modulation
تبديل إزاحة الطور الرباعى المؤخرة Offset Quadrature Phase Shift Keying
ترشيح نطاق التردد bandpass filtering
التكبير اللاخطى nonlinear amplification
تبديل الإزاحة الدنيا Minimum Shift Keying
الكشف الغير متماسك noncoherent detection
الكشف المتماسك coherent detection
دائرة التمييز (مميز) discriminator
الكاشف التفاضلى differential detector
الكاشف التفاضلى أحادى التأخير one-bit differential detector
الكاشف التفاضلى ثنائى التأخير two-bit differential detector
تبديل إزاحة فرق الطور الرباعى Differential QPSK
تبديل الإزاحة الدنيا الجاوسية Gaussian Minimum Shift Keying
التضمين المستمر الطور جزئى الاستجابة
Partial Response Continuous Phase Modulation
جيب التمام المرتفع الطيفى spectrally raise cosine
تشفير مسبق precoding
نظم الاتصالات اللاسلكية الشخصية personal communication systems
المرشح الموائم matched filter
متباينة شوارتز Schwartz inequality
رابط correlator

memoryless عدم الذاكرة
entropy الانتروبيا
uncertainty عدم التأكد
prefix coding تشفير المقدمة
discrete memoryless channel القناة المقطعة عديمة الذاكرة
binary symmetric channel القناة الثنائية المتماثلة
mutual information المعلومات المتبادلة
information capacity سعة المعلومات
state diagram مخطط الحالة
tree diagram مخطط الشجرة
stationary مستقر
ergodic ارجى
weighted average متوسط موزون
algorithm خوارزم
error control تحكم فى الخطأ
parity codes شفرات التكافؤ
asynchronous transmission تراسل غير متزامن
character حرف خاص
block codes شفرات المجموعات
systematic code شفرات منظمة
generator matrix مصفوفة التوليد



رقم الايداع بدار الكتب و الوثائق القومية

٢٠٠٤/٤١٩٤

بتاريخ ٢٠٠٤/٢/١١



المركز الرئيسى : غبريال - إسكندرية
ت ٥٧٤٨٦١٨ - تليفاكس : ٥٧٤١٢٣٣
المطابع : منطقة مرغم الصناعية الكيلو ٢٥,٥
طريق مصر إسكندرية الصحراوى
بحرى الطريق ش مسجد الإحسان
